

GLO-4001/7021 INTRODUCTION À LA ROBOTIQUE MOBILE

Cartes + Planification

Cartes

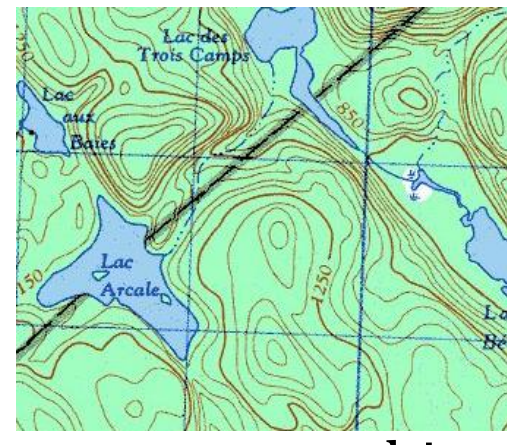
Représentation du monde : carte

- Notre robot accumule de l'information sur le monde : **connaissance**
- Une carte permettra de raisonner sur le monde
- Plusieurs types possibles de représentation de cette **connaissance**
- Problème fondamental en intelligence artificielle
 - représentation des connaissances
- Compromis entre taille stockage, facilité d'usage, objectifs à accomplir



Représentation universelle

- Pas de représentation universelle possible
- Argument pour les architectures réactives :
 - « le monde est son meilleur modèle »
 - aucune carte utilisée
 - exemple : algorithmes bug (à venir)
- Type de la carte dépendra de la tâche/capteurs



carte topographique



carte routière



Cartes pour Google car

Utilise plusieurs cartes:

- 1 carte de la réflectance laser des surface (texture model) pour localisation par filtre à particule via corrélation d'image infrarouge (précision 11 cm)
- 1 carte **d'élévation** (altitude) pour la forme du monde (sert à identifier les obstacles dynamiques qui « ressortent » du terrain
- 1 carte d'information tactique (intersection, feux de circulation, voies sur l'autoroute, passage piéton, etc..)

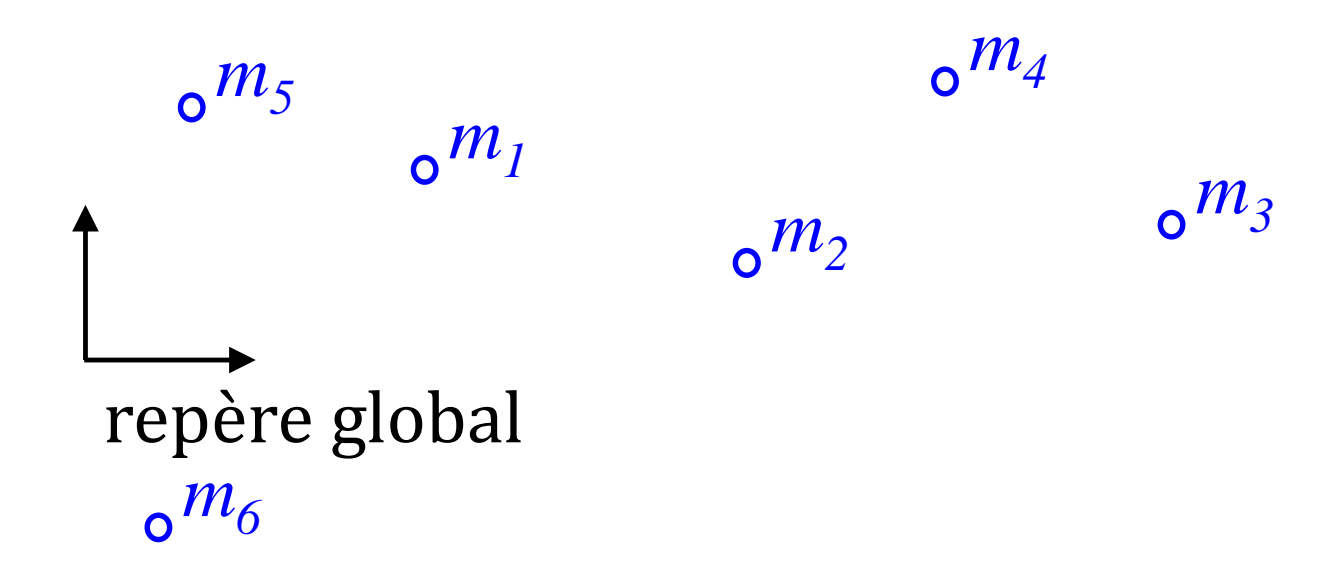




Types de cartes en robotique mobile

Métrique

- décrire un environnement avec un système de coordonnées absolu
- notion de distance calculable entre tous les points





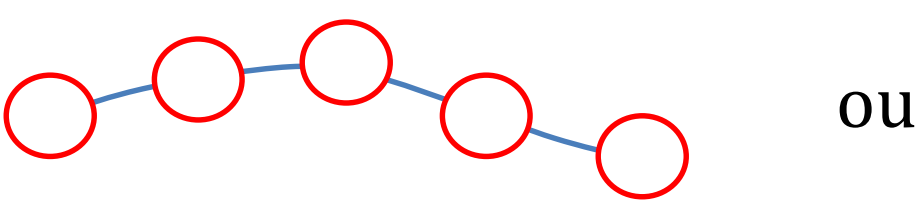
Types de cartes en robotique mobile

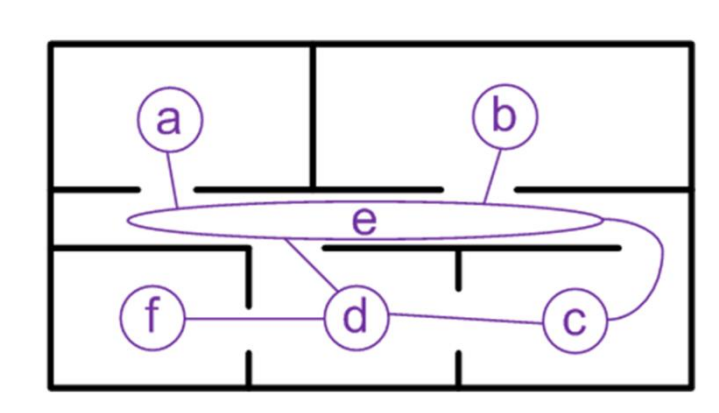
Métrique

- décrire un environnement avec un système de coordonnées absolu
- notion de distance calculable entre tous les points

Topologique

- graphe (nœud=endroit, arêtes=connexion)
- évacue beaucoup d'information (distance)
- représentation des relations locales entre les endroits







Types de cartes en robotique mobile

Métrique

- décrire un environnement avec un système de coordonnées absolu
- notion de distance calculable entre tous les points

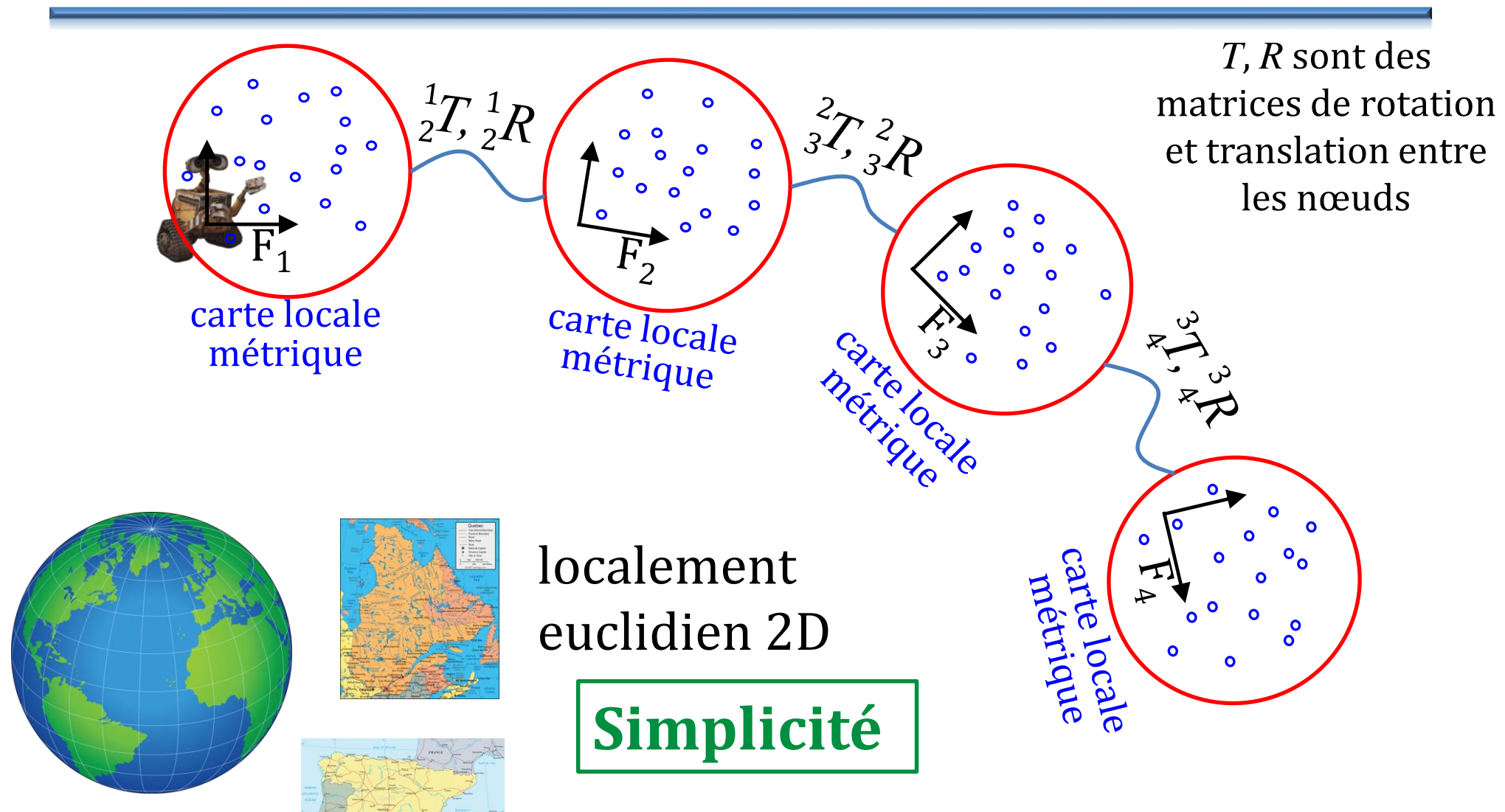
Topologique

- graphe (nœud=endroit, arêtes=connexion)
- évacue beaucoup d'information (distance)
- représentation des relations locales entre les endroits

Topométrique

- graphe, carte métrique à chaque nœud
- arêtes peuvent contenir une notion de distance +

Exemple carte topométrique



(manifold dans 3D)

Local Metrical and Global Topological Maps in the Hybrid Spatial Semantic Hierarchy, B. Kuipers, et al., *ICRA* 2004. 11

Caractéristiques des cartes (2)

Continue

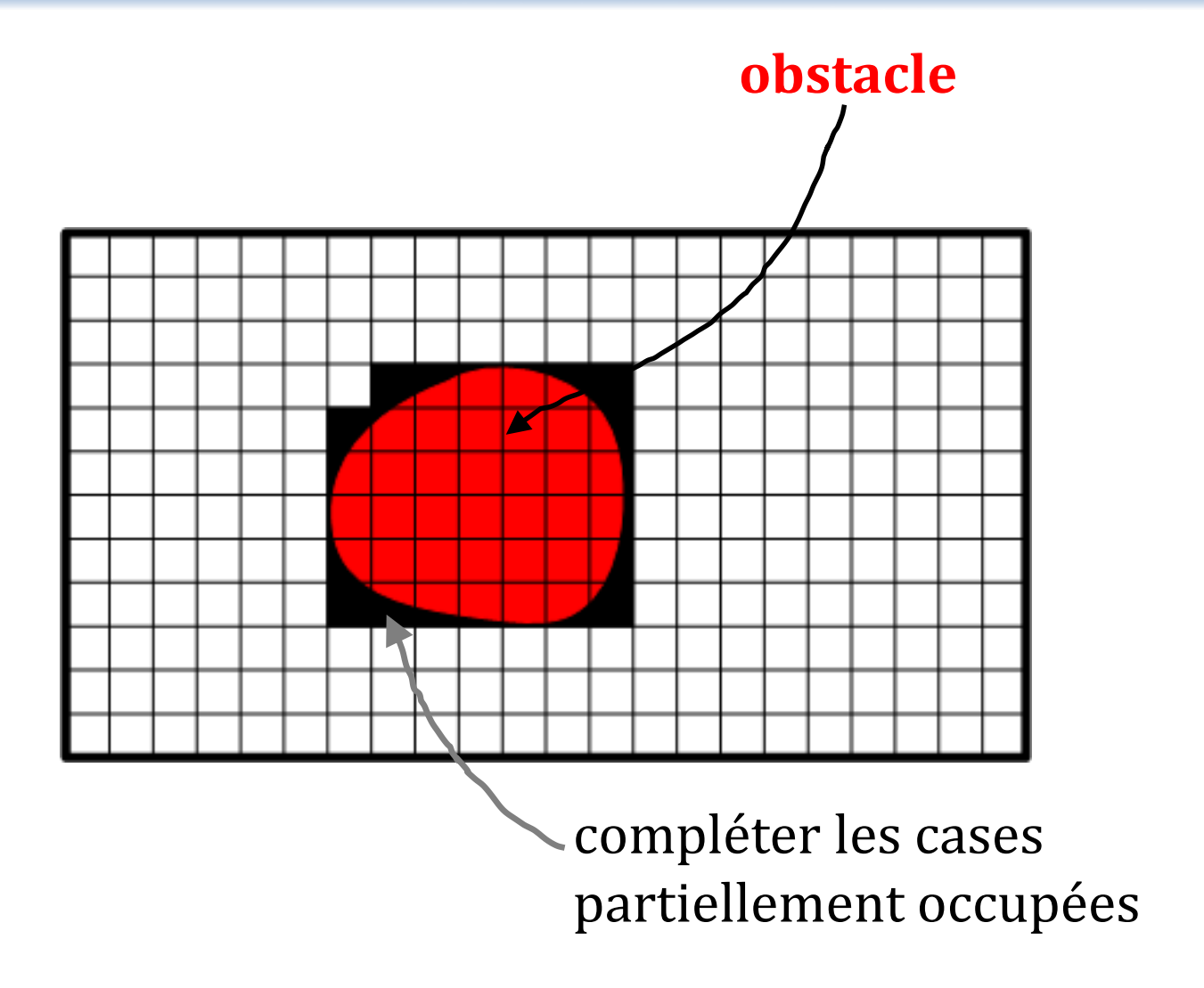
- positions sont des réels
 - une lampe à (-1.45534, +5.899485)
 - impact laser sur mur à (+2.323, +1.234)

Discrète

- discrétiser le monde en case de taille fixe
- valeur binaire : 0= libre 1= obstacle
- valeur continue
 - [0, 1] (probabilité obstacle)
 - $[0, \infty]$ (cote obstacle)
 - $[-\infty,\infty]$ log(cote)
- e.g. grilles d'occupation (occupancy grids)



Cartes: grillage uniforme





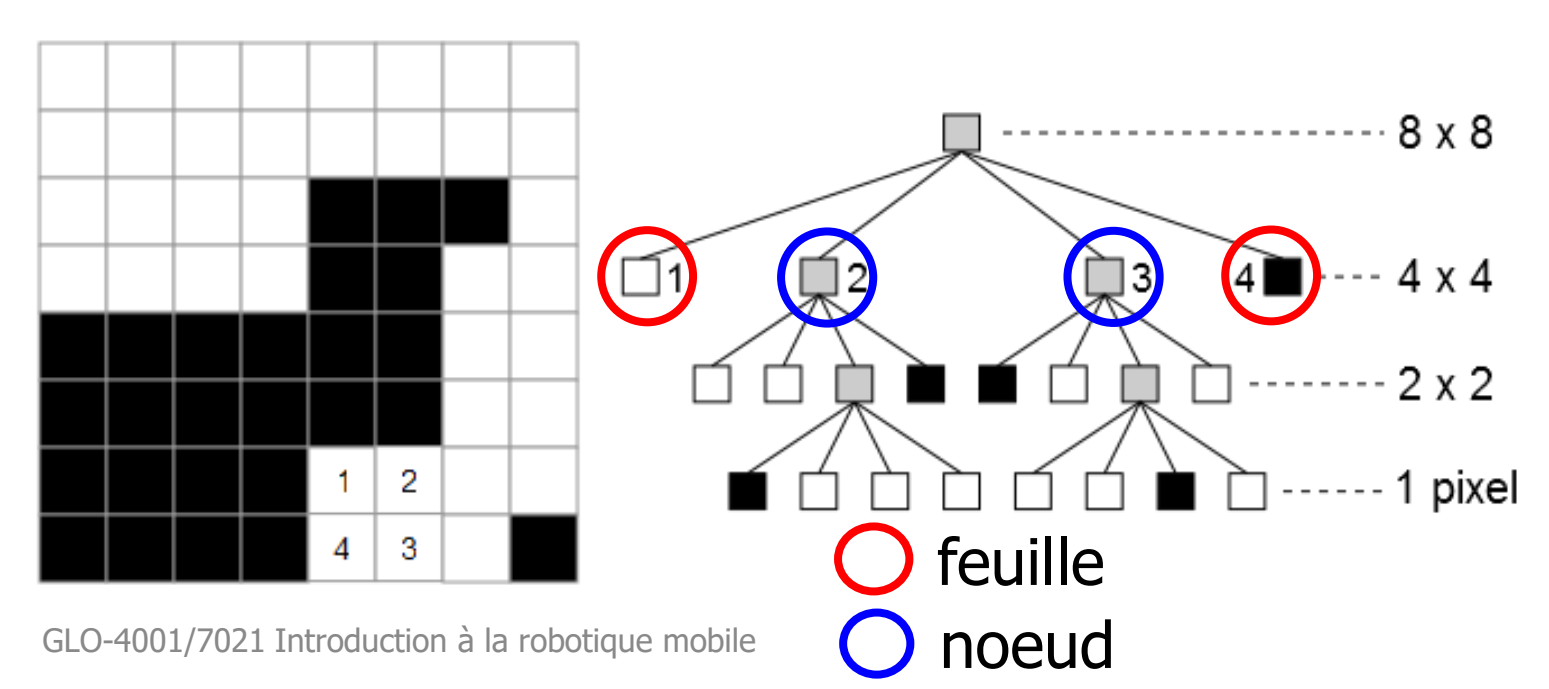
Cartes: grille uniforme

- Décide de l'intervalle échantillonnage, e.g. 1 cm
- 2D : pièce de 10 *m* x 10 *m*
 - $-1000 \times 1000 = 1000000$ « pixels »
- 3D : pièce de 10 *m* x 10 *m* x 3 *m*
 - $-1000 \times 1000 \times 300 = 300\,000\,000 \text{ woxels}$
 - (-) Espace de stockage
 - (-) Erreur de discrétisation
 - (+) Temps d'accès rapide



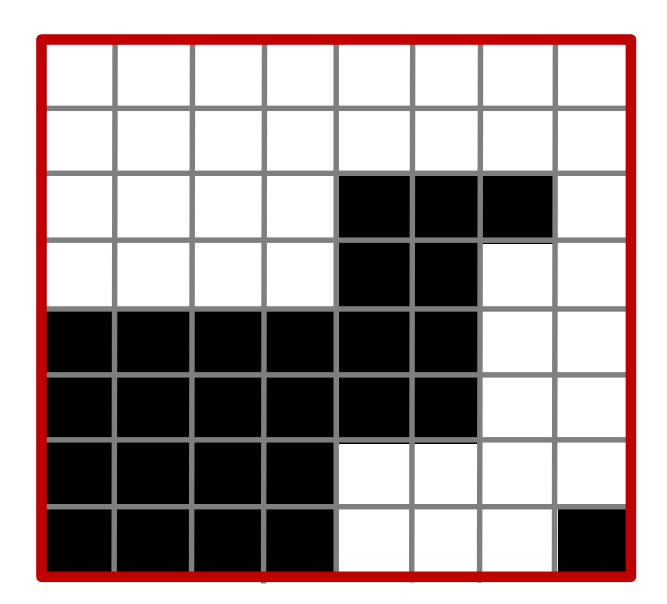
Cartes: échantillonnage Quadtree

- Structure de données en arbre
- Compression de l'information
- Par contre, structure de l'arbre change beaucoup pour petits changements d'image





feuille O vide
nœud en partie plein
feuille plein







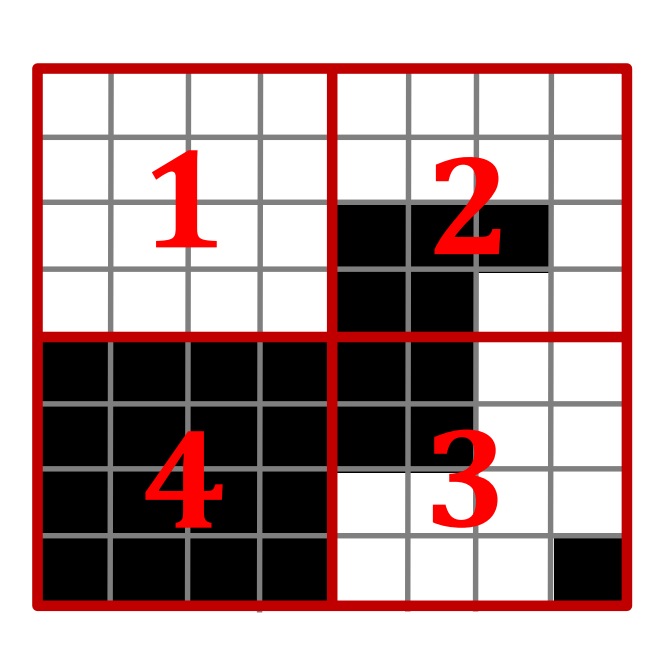
feuille nœud feuille

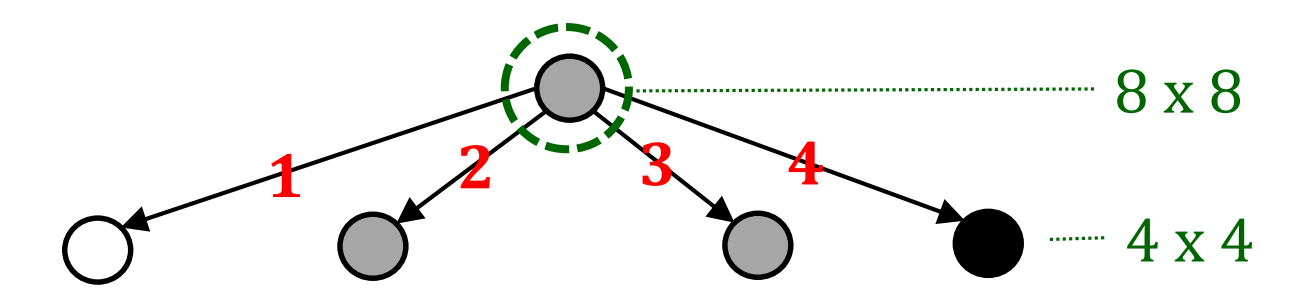




en partie plein

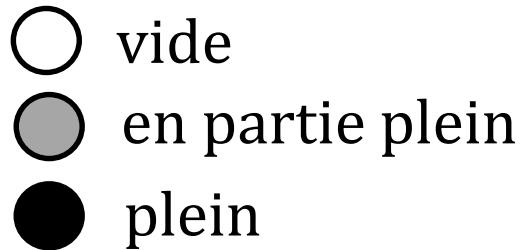
plein

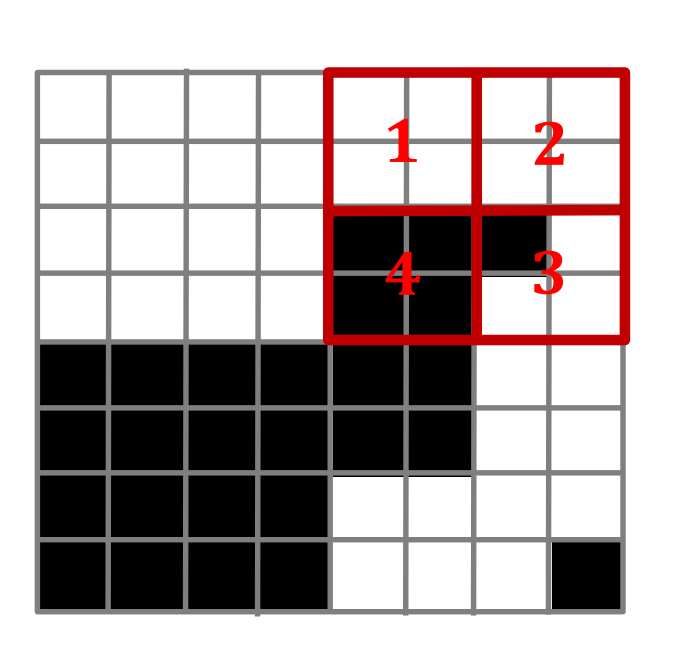


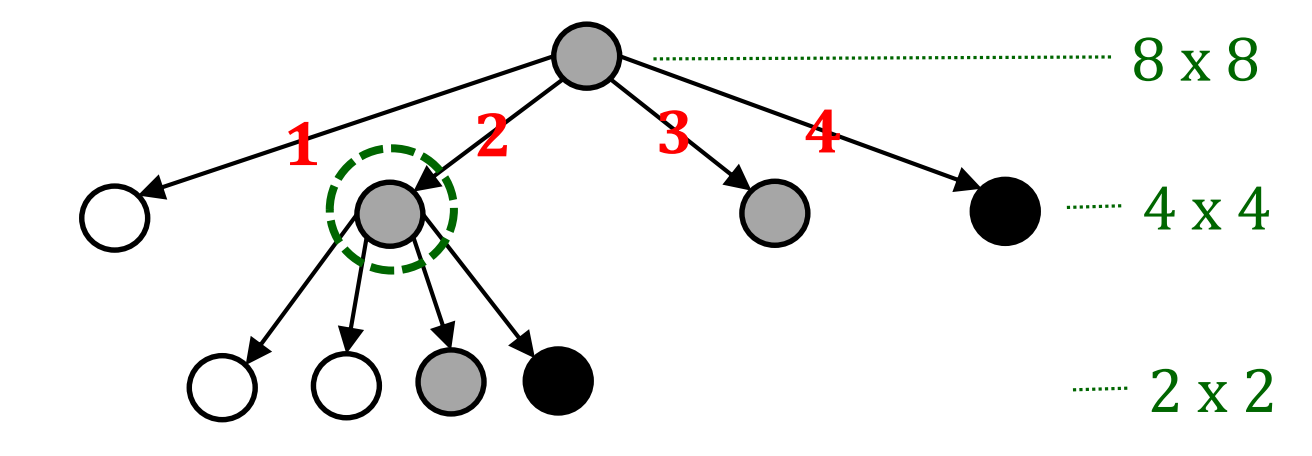




feuille C nœud feuille

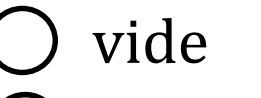






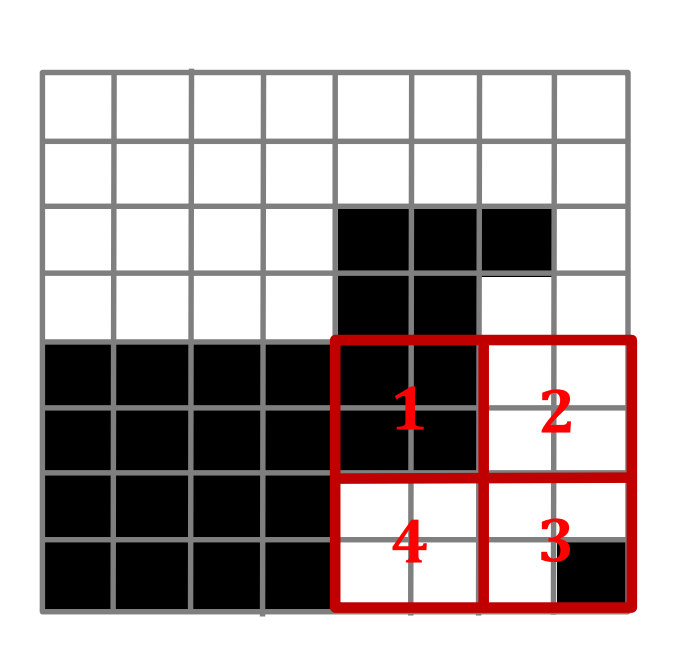


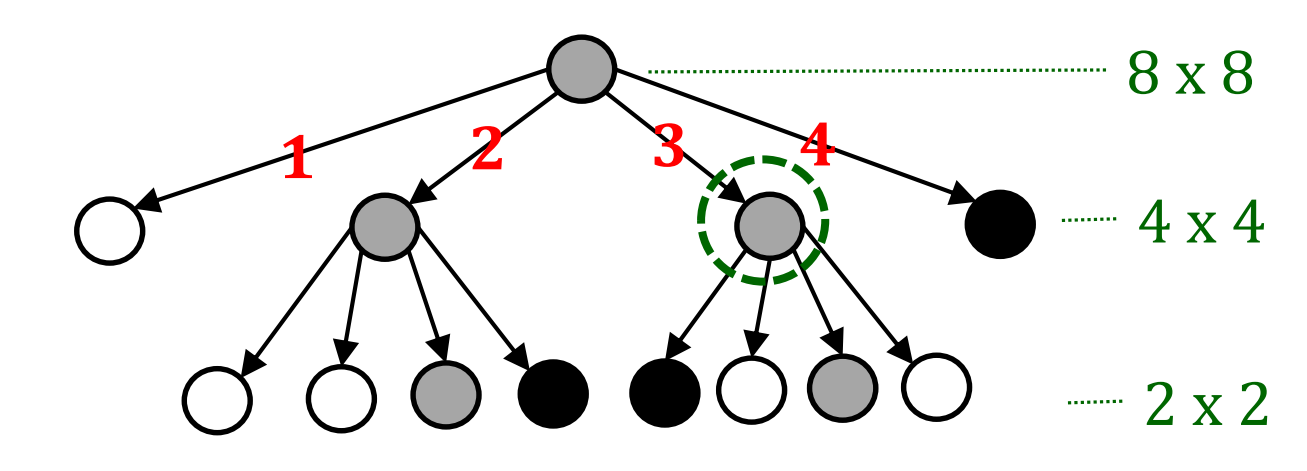
feuille nœud feuille



en partie plein

plein







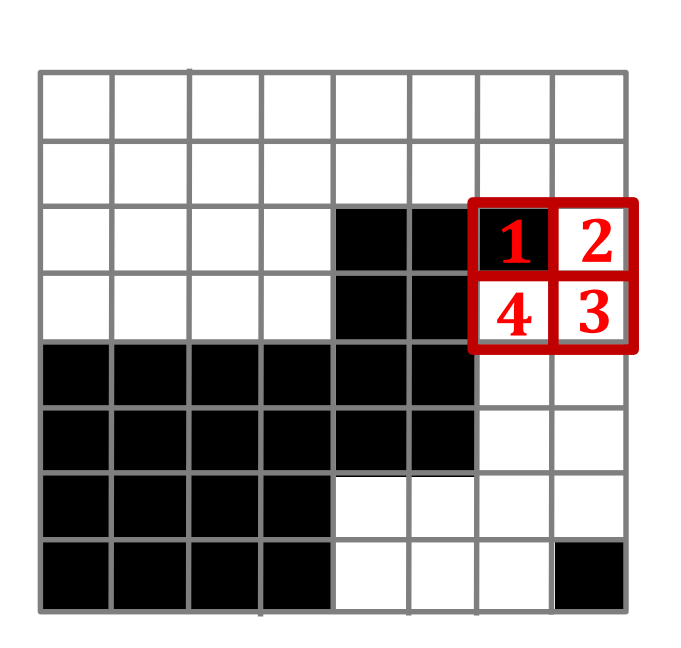
feuille nœud feuille

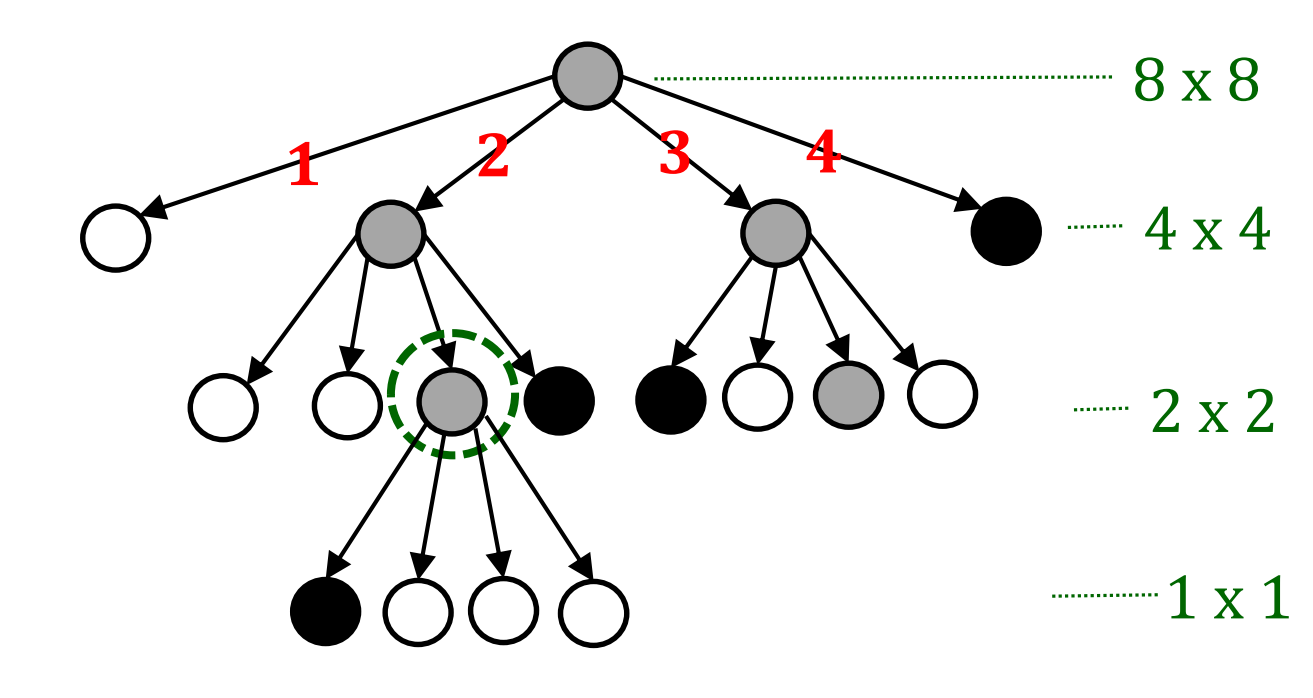




en partie plein

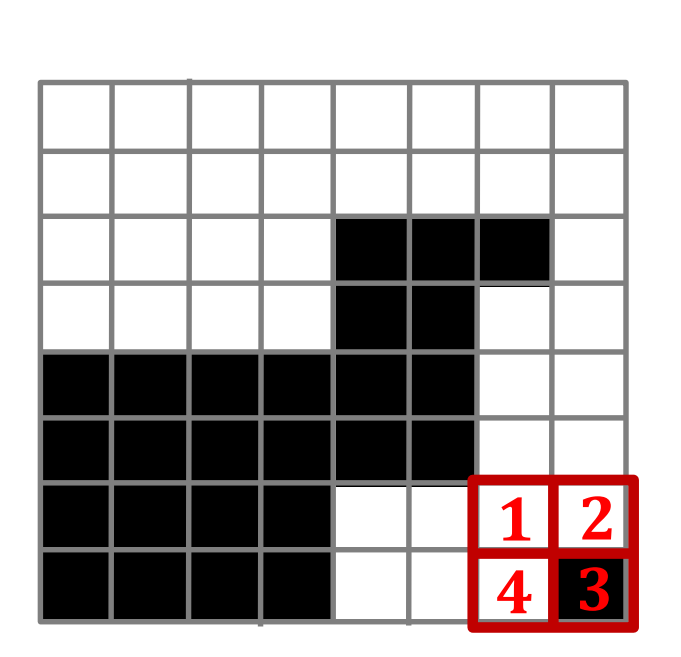
plein

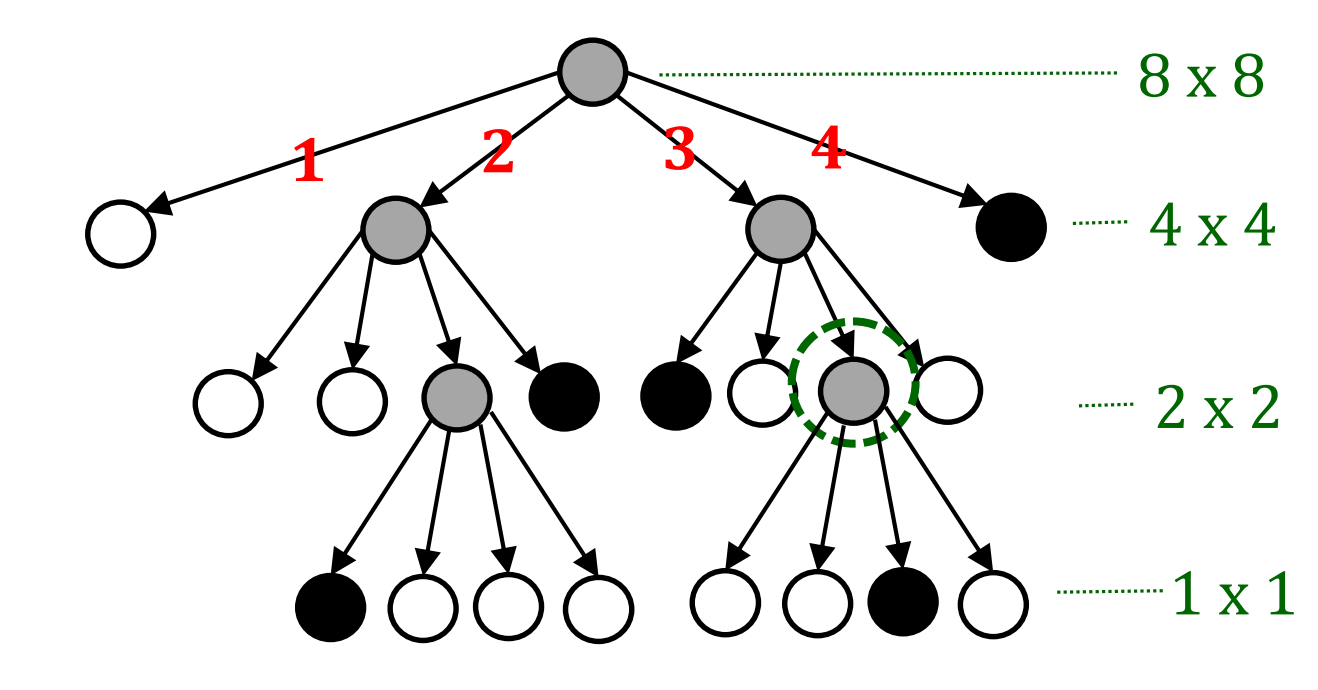






feuille ovide
nœud en partie plein
feuille plein

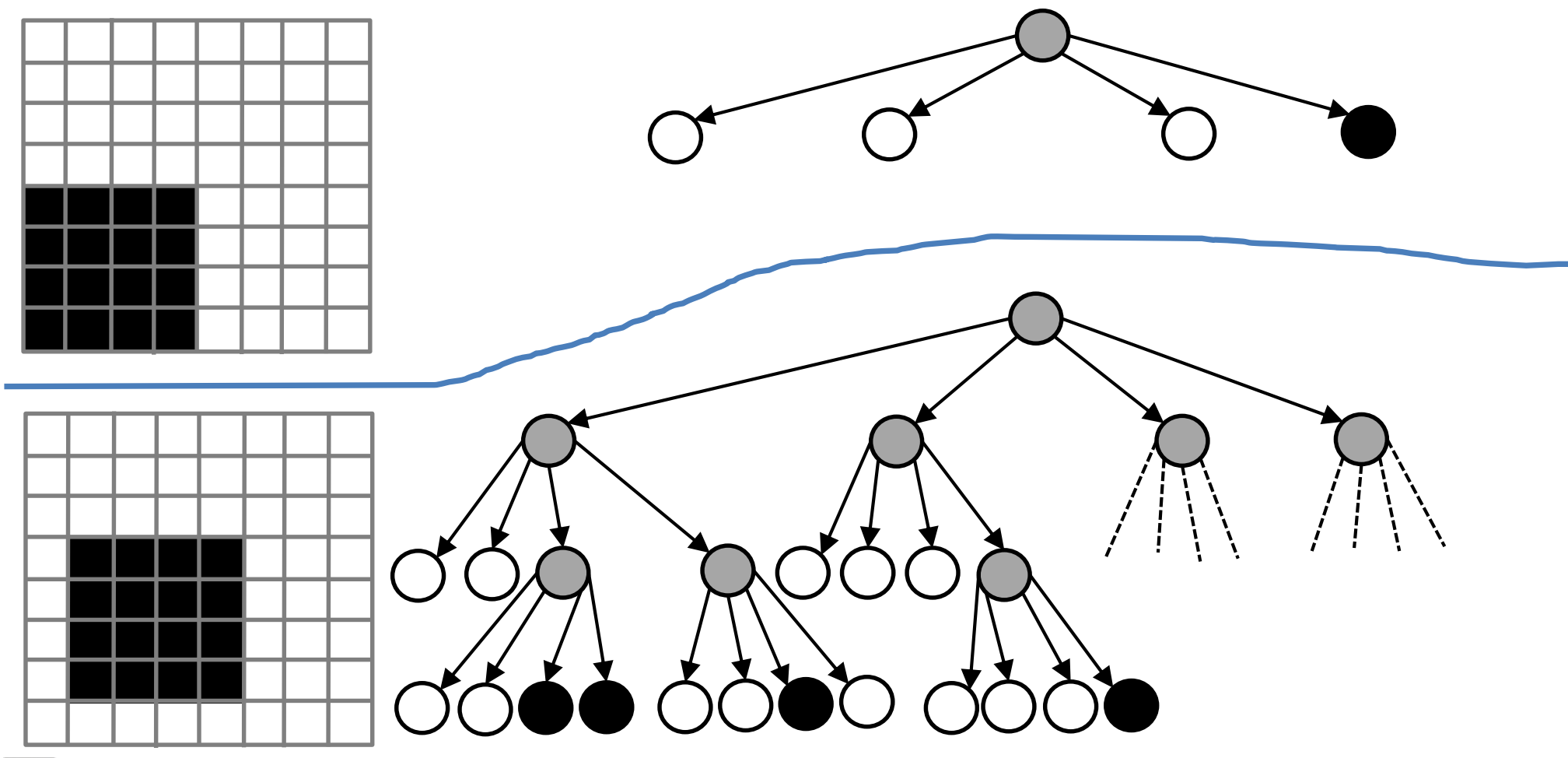






Quadtree : instabilité

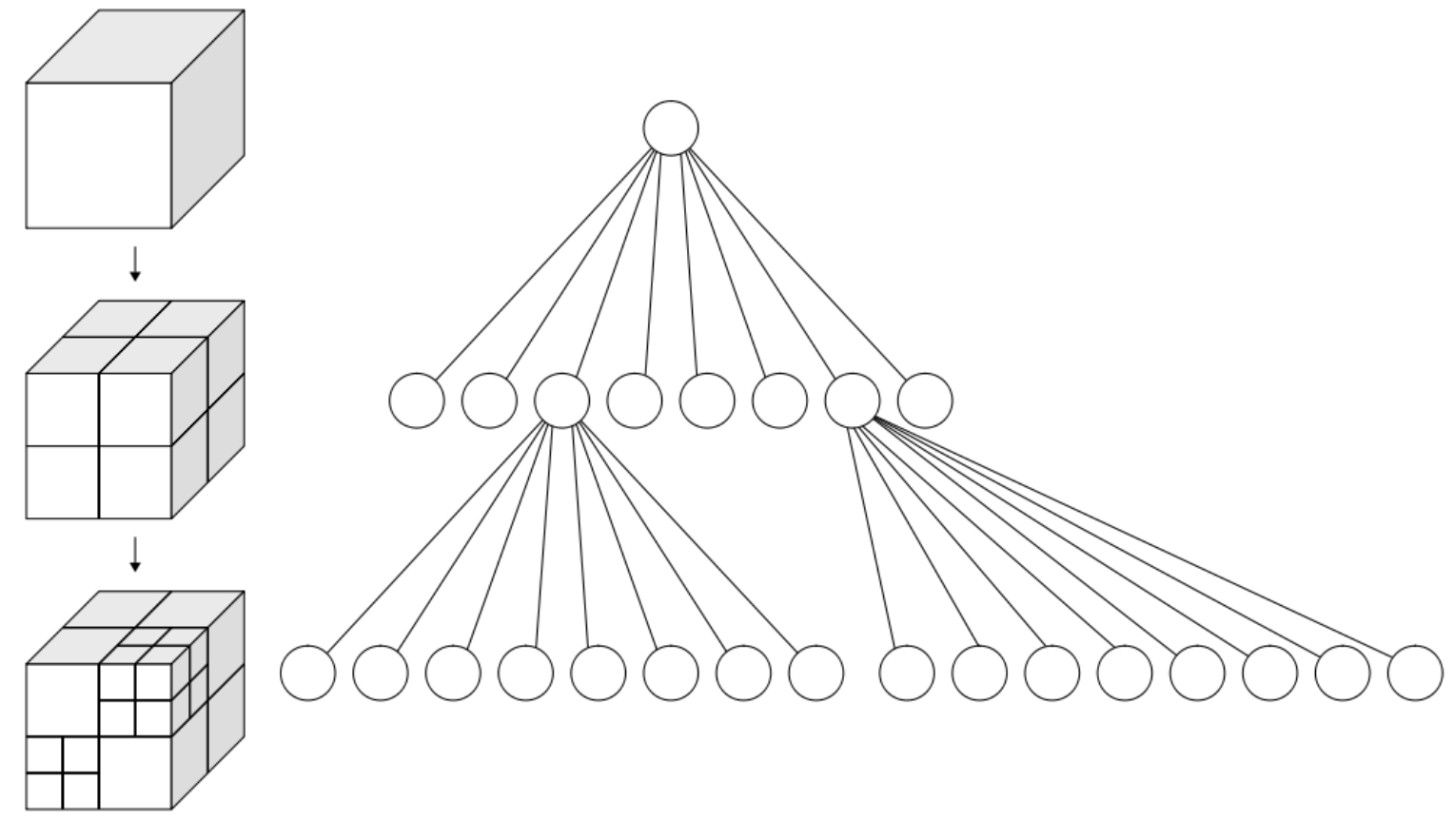
• Petit changement à l'entrée ≠ petit changement à la sortie





Octree

• Pour les représentations en 3D

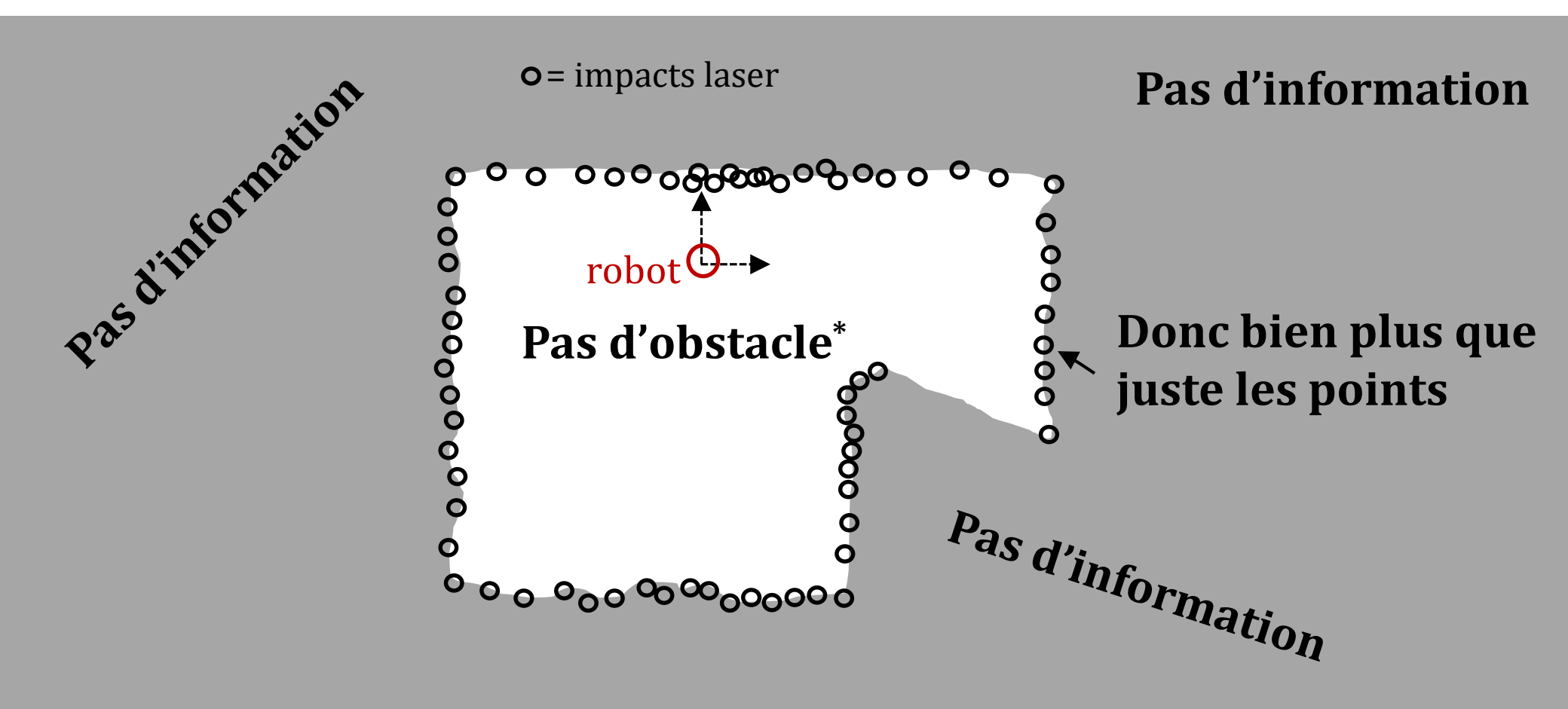




Construction d'une carte de type grille d'occupation (occupancy grid)

Grille d'occupation : intuition

Quelles informations vous avez, avec ces mesures laser?



^{*}En supposant que les obstacles soient plus larges que l'espace entre les faisceaux

Gérer l'information : grille d'occupation

- Carte du monde divisée en carrés de tailles égales (10x10 cm)
- Chaque case de la grille encode la probabilité qu'un obstacle y soit présent :
 - -p(c)=0 si libre (certain)
 - -p(c)=0.5 si on ne connait rien
 - -p(c)=1.0 si obstacle (certain)
- On connaît parfaitement la pose x_t du robot¹
- Au début, toutes les cases sont à p(c) = 0.5 (environnement inconnu)
- Mesure z_t du capteur indique présence/absence d'obstacle, en probabilité, via l'inverse de la fonction du capteur



Création de la carte d'occupation m

• L'on cherche carte m composée de cases c_i contenant un obstacle $\sqrt{\text{(notez l'absence des commandes } u_{1:t)}}$

$$p(m | x_{1:t}, z_{1:t}) | où m = \{c_1, ..., c_N\}$$

• En considérant les cases comme indépendantes¹, on peut simplifier le problème en factorisant selon c_i : $p(c_1,c_2|A)=p(c_1|A)p(c_2|A)$

$$p(m \mid x_{1:t}, z_{1:t}) = \prod_{i=1}^{N} p(c_i \mid x_{1:t}, z_{1:t})$$



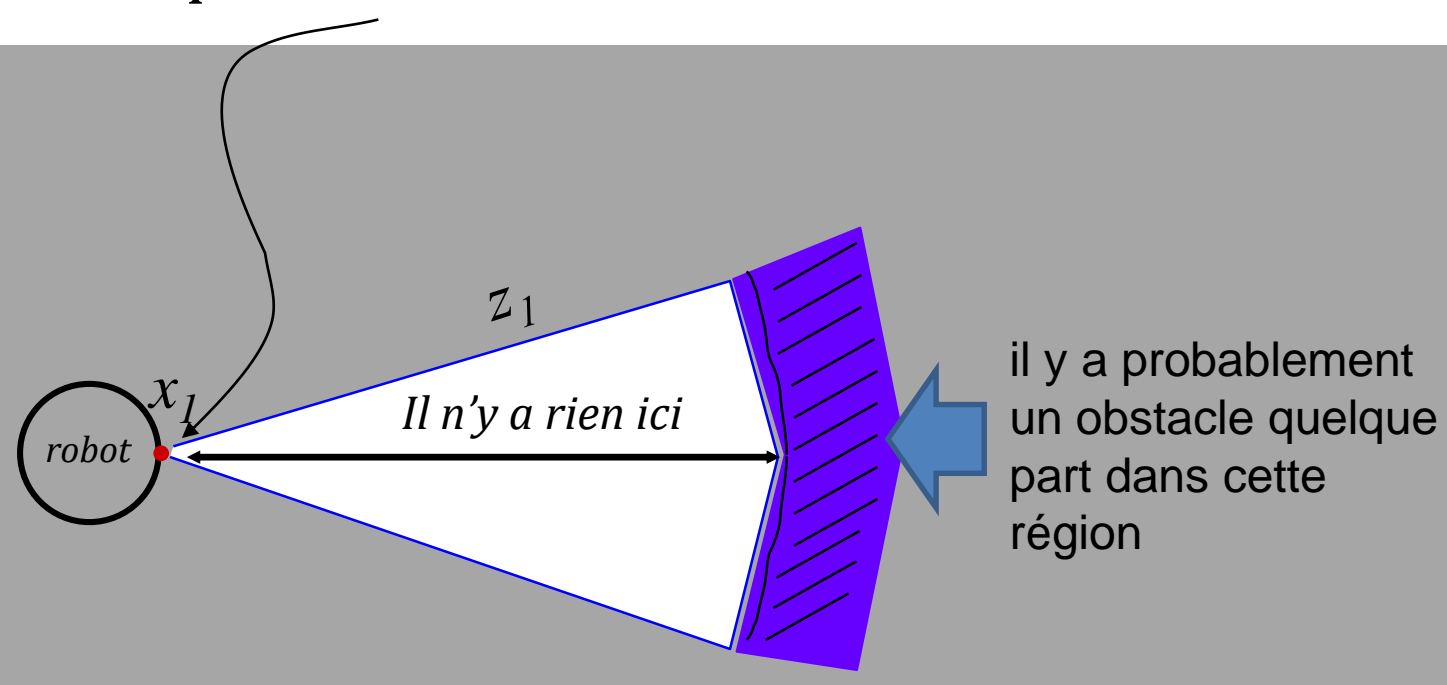
Création de la carte d'occupation m

- Comme les cases c_i sont indépendantes, incorporer une nouvelle donnée $\{x_t, z_t\}$ consistera à mettre à jour de façon individuelle les cases c_i affectées
- Simplifie/accélère grandement le problème...
- ... mais au prix d'une certaine perte d'exactitude (corrélation spatiale non-respectée)
- Quelles sont les cases c_i affectées?
 - dépend (du modèle inverse) du capteur



Grille d'occupation avec sonar

Si un sonar indique obstacle à 4 mètres?

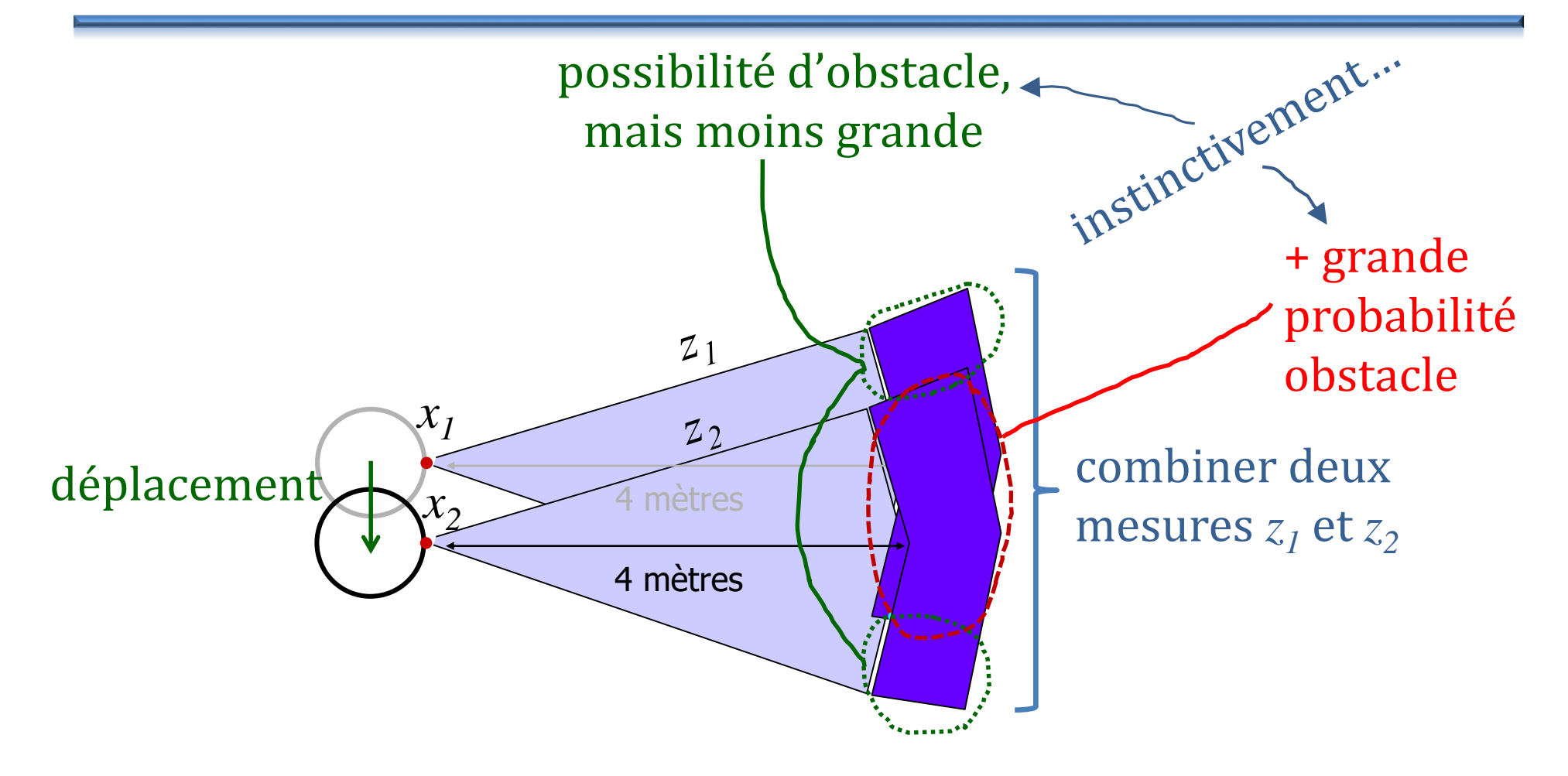


Rappel : sonar émet en forme de cône

Carte locale

vide
pas d'information
obstacle

Grille d'occupation : accumulation d'évidences



Comment combiner ces informations de manière fondée et efficace?



Combinaison d'évidences sonar

• Combiner les cotes:
$$cote(p) = \frac{p}{(1-p)} = \frac{p}{\overline{p}}$$
 p ne s'est pas produit

• Si p=75% chance de gagner, la cote sera :

$$\frac{0.75}{(1-0.75)} = \frac{0.75}{0.25} = 3$$

- Chacune des cases c_i contiendra la cote (ou log(cote) qui encode la probabilité de présence d'un obstacle.
- Pourquoi les cotes? pour faciliter les calculs¹...



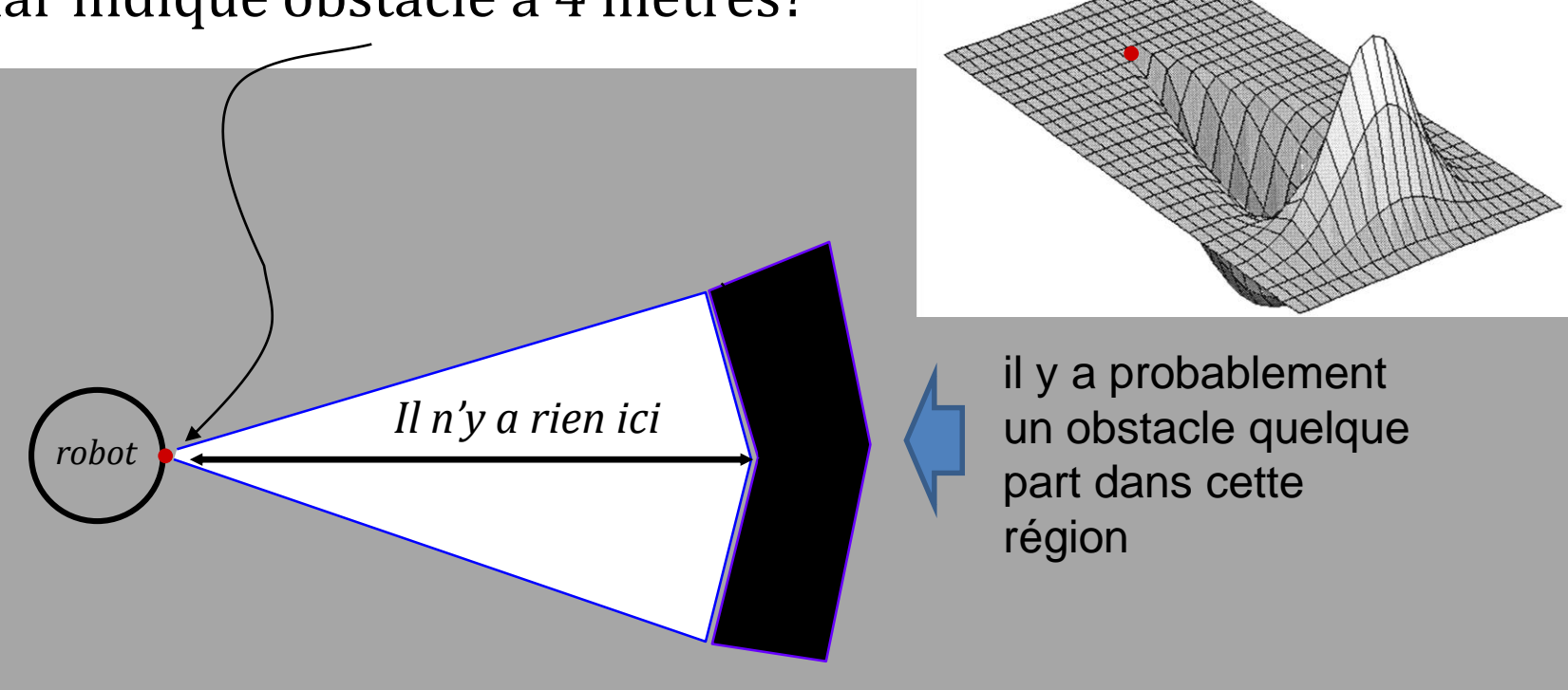
Algorithme grille d'occupation

```
occupancy_grid_mapping(\{C_{i,t-1}\}, X_t, Z_t)
    for all cells m; in map do
         if m_i is in perceptual field of Z_f then
           c_{i,t} = c_{i,t-1} \times \text{cote\_sensor}(m_i, x_t, z_t)
         else
                                        Inverse du modèle du capteur
           c_{i,t} = c_{i,t-1}
         endif
    endfor
    return \{c_{i,t}\}
Carte de départ est le prior c_{i,0} = \frac{p(libre)}{p(occup\acute{e})}
                                                            (souvent 1)
```

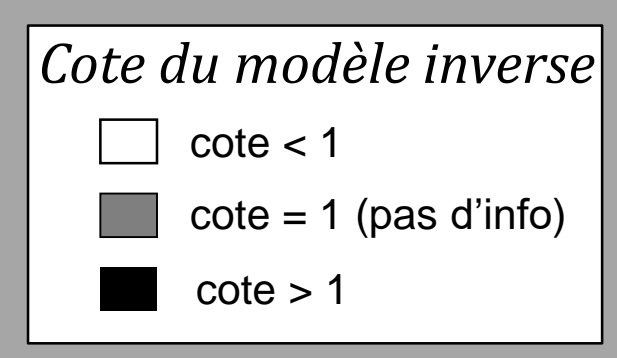


Modèle inverse du capteur pour c: p(c/z,x)

Si un sonar indique obstacle à 4 mètres?



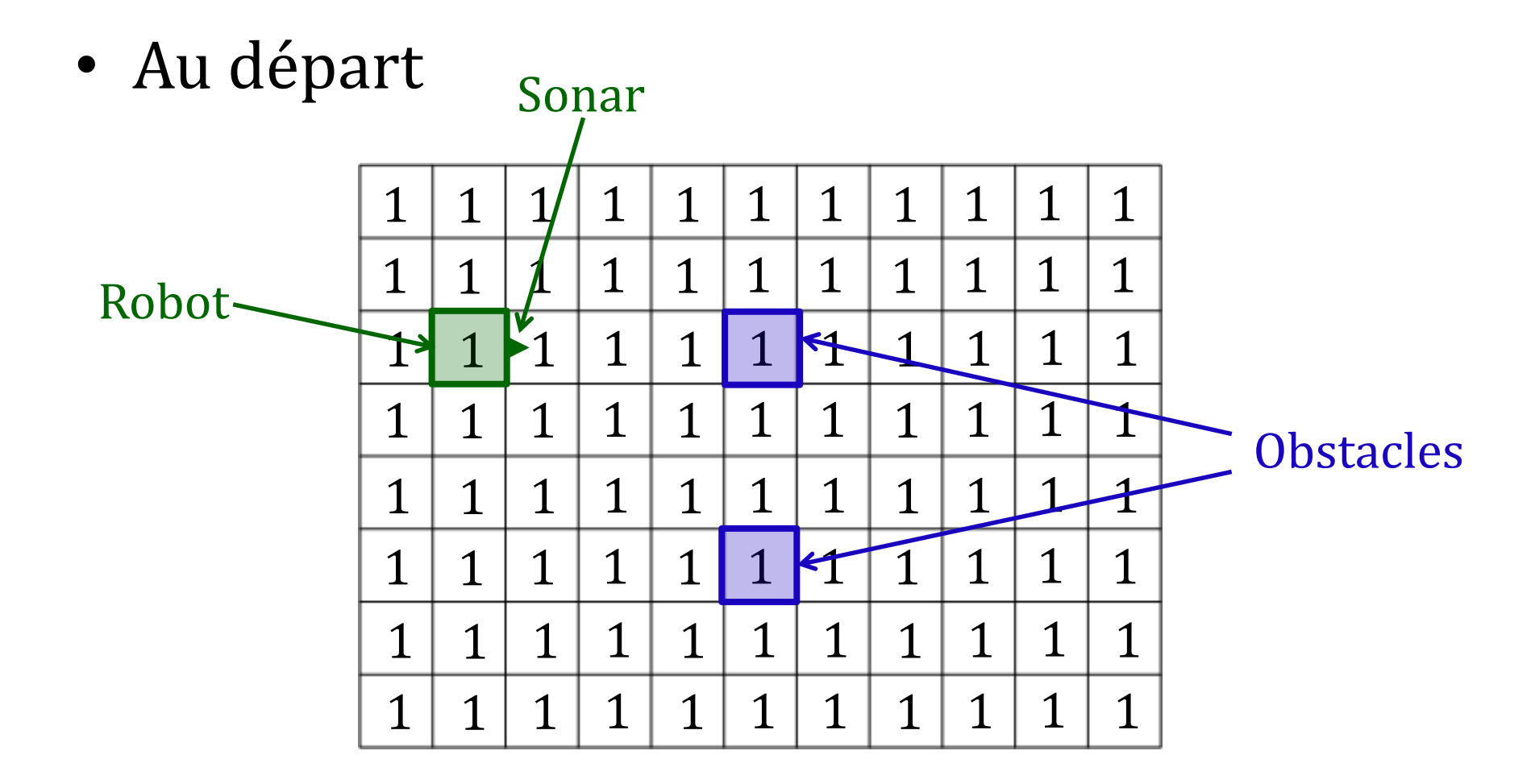
Rappel : sonar émet en forme de cône



Fonction du capteur sonar pour z = 4 m

À l'intérieur du cône de sonar







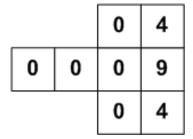
• Première mesure $Z_1 = 4 m$

1	1	1	1	1	1	1	1	1	1	1
1	1	1	1	1	1	1	1	1	1	1
1	1	-1	1	1	1	1	1	1	1	1
1	1	1	1	1	1	1	1	1	1	1
1	1	1	1	1	1	1	1	1	1	1
1	1	1	1	1	1	1	1	1	1	1
1	1	1	1	1	1	1	1	1	1	1
1	1	1	1	1	1	1	1	1	1	1

cote_sensor(z=4)

			0	4
0	0	0	0	9
			0	4

cote_sensor(z=3)



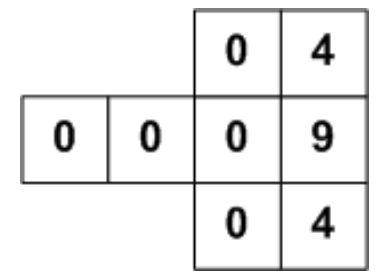
• Première mesure $Z_1 = 4 m$

1	1	1	1	1	1	1	1	1	1	1
1	1	1	1	0	4	1	1	1	1	1
1	0	-0	0	0	9	1	1	1	1	1
1	1	1	1	0	4	1	1	1	1	1
1	1	1	1	1	1	1	1	1	1	1
1	1	1	1	1	1	1	1	1	1	1
1	1	1	1	1	1	1	1	1	1	1
1	1	1	1	1	1	1	1	1	1	1

cote_sensor(z=4)

			0	4
0	0	0	0	9
			0	4

cote_sensor(z=3)



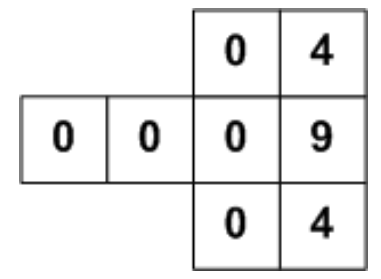
Déplacement

1	1	1	1	1	1	1	1	1	1	1
1	1	1	1	0	4	1	1	1	1	1
1	0	0	0	0	9	1	1	1	1	1
1	1	-1	1	0	4	1	1	1	1	1
1	1	1	1	1	1	1	1	1	1	1
1	1	1	1	1	1	1	1	1	1	1
1	1	1	1	1	1	1	1	1	1	1
1	1	1	1	1	1	1	1	1	1	1

cote_sensor(z=4)

			0	4
0	0	0	0	9
			0	4

cote_sensor(z=3)



• Mesure $Z_2 = 4 m$

1	1	1	1	1	1	1	1	1	1	1
1	1	1	1	0	4	1	1	1	1	1
1	0	0	0	0	9	1	1	1	1	1
1	1	-1	1	0	4	1	1	1	1	1
1	1	1	1	1	1	1	1	1	1	1
1	1	1	1	1	1	1	1			1
1	1 1	1	1 1 1	1	1			1		1

cote_sensor(z=4)

			0	4
0	0	0	0	9
			0	4

		0	4
0	0	0	9
		0	4

• Mesure $Z_2 = 4 m$

1	1	1	1	1	1	1	1	1	1	1
1	1	1	1	0	4	1		1	1	1
1	0	0	0	0	36	1	1	1	1	1
1	0	-0	0	0	36	1	1	1	1	1
1	1	1	1	0	4			1	1	1
1	1	1	1	1	1	1	1	1	1	1
1	1	1	1	1	1	1	1	1	1	1
1	1	1	1	1	1	1	1	1	1	1

cote_sensor(z=4)

			0	4
0	0	0	0	9
			0	4

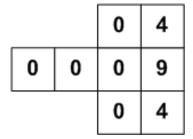
		0	4
0	0	0	9
		0	4

Déplacement

1	1	1	1	1	1	1	1	1	1	1
1	1	1	1	0	4	1	1	1	1	1
1	0	0	0	0	36	1	1	1	1	1
1	0	0	0	0	36	1	1	1	1	1
1	1	-1	1	0	4	1	1	1	1	1
1	1		1	1	1	1	1	1	1	1
1	1	1	1	1	1	1	1	1	1	1
1	1	1	1	1	1	1	1	1	1	1

cote_sensor(z=4)

			0	4
0	0	0	0	9
			0	4



• Mesure $Z_3 = 4 m$

1	1	1	1	1	1	1	1	1	1	1
1	1	1	1	0	4	1	1	1	1	1
1	0	0	0	0	36	1	1	1	1	1
1	0	0	0	0	36	1	1	1	1	1
1	1	-1	1	0	4	1	1	1	1	1
1	1	1	1	1	1					1
1	1	1	1	1	1	1	1	1	1	1
1	1	1	1	1	1	1	1	1	1	1

cote_sensor(z=4)

			0	4
0	0	0	0	9
			0	4

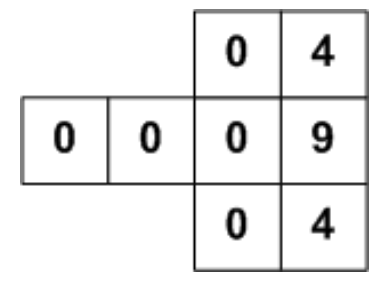
		0	4
0	0	0	9
		0	4

• Mesure $Z_3 = 4 m$

1	1	1	1	1	1	1	1	1	1	1
1	1	1	1	0	4	1	1	1	1	1
1	0	0	0	0	36	1	1	1	1	1
1	0	0	0	0	144	1	1	1	1	1
1	0	-0	0	0	36	1	1	1	1	1
1	1	1	1	0	4	1	1	1	1	1
1	1	1	1	1	1	1	1	1	1	1
1	1	1	1	1	1	1	1	1	1	1

cote_sensor(z=4)

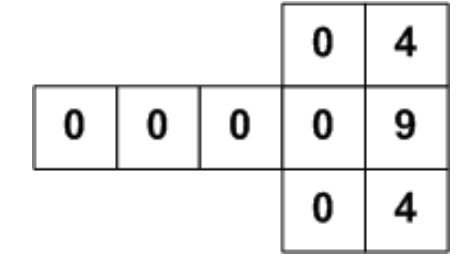
			0	4
0	0	0	0	9
			0	4

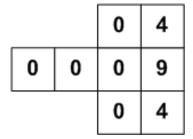


Long déplacement...

1	1	1	1	1	1	1	1	1	1	1
1	1	1	1	0	4	1	1	1	1	1
1	0	0	0	0	36	1	1	1	1	1
1	0	0	0	0	144	1	1	1	1	1
1	0	0	0	Q	36	1	1	1	1	1
1	1	1	1	0	4	1	1	1	1	1
1	1	1	1	1	1	1	1	1	1	1
1	1	1	1	1	1	1	1	1	1	1

cote_sensor(z=4)



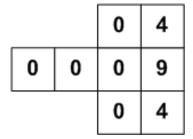


• Mesure $Z_4=3m$

1	1	1	1	1	1	1	1	1	1	1
1	1	1	1	0	4	1	1	1	1	1
1	0	0	0	0	36	1	1	1	1	1
1	0	0	0	0	144	1	1	1	1	1
1	0	0	0	Q	36	1	1	1	1	1
1	1	1	1	0	4	1	1	1	1	1
1	1	1	1	1	1	1	1	1	1	1
1	1	1	1	1	1	1	1	1	1	1

cote_sensor(z=4)

			0	4
0	0	0	0	9
			0	4

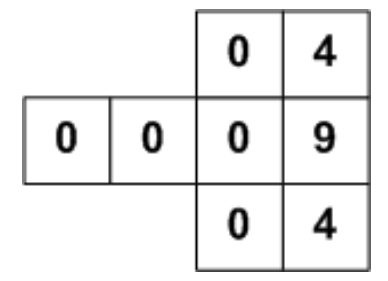


• Mesure $Z_4=3m$

1	1	1	1	1	1	1	1	1	1	1
1	1	1	1	0	4	1	1	1	1	1
1	0	0	0	0	144	1	1	1	1	1
1	0	0	0	0	0	1	1	1	1	1
1	0	0	0	Q	36	1	1	1	1	1
1	1	1	1	0	4	1	1	1	1	1
1	1	1	1	1	1	1	1	1	1	1
1	1	1	1	1	1	1	1	1	1	1

cote_sensor(z=4)

			0	4
0	0	0	0	9
			0	4



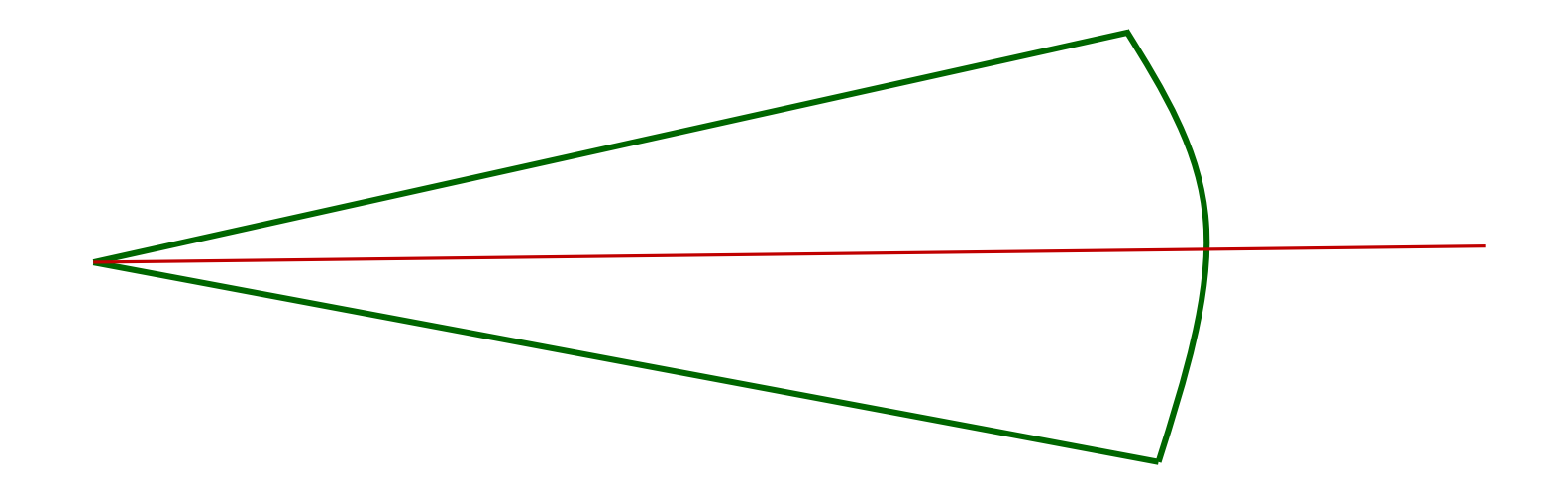
Notes sur l'exemple précédent

- Mauvaise idée d'avoir des cotes de 0 pour le capteur. Préférable d'avoir des valeurs faibles mais non nulles pour tenir compte des erreurs possibles
- Importance de la trajectoire dans la construction
- Peut utiliser le log des cotes :
 - passe de multiplications à des additions
 - va aller de -∞ à +∞ (0 = aucune connaissance)
 - meilleure stabilité numérique



Avec laser 2D?

• Un peu plus compliqué, car le « cône » du laser est beaucoup plus étroit...

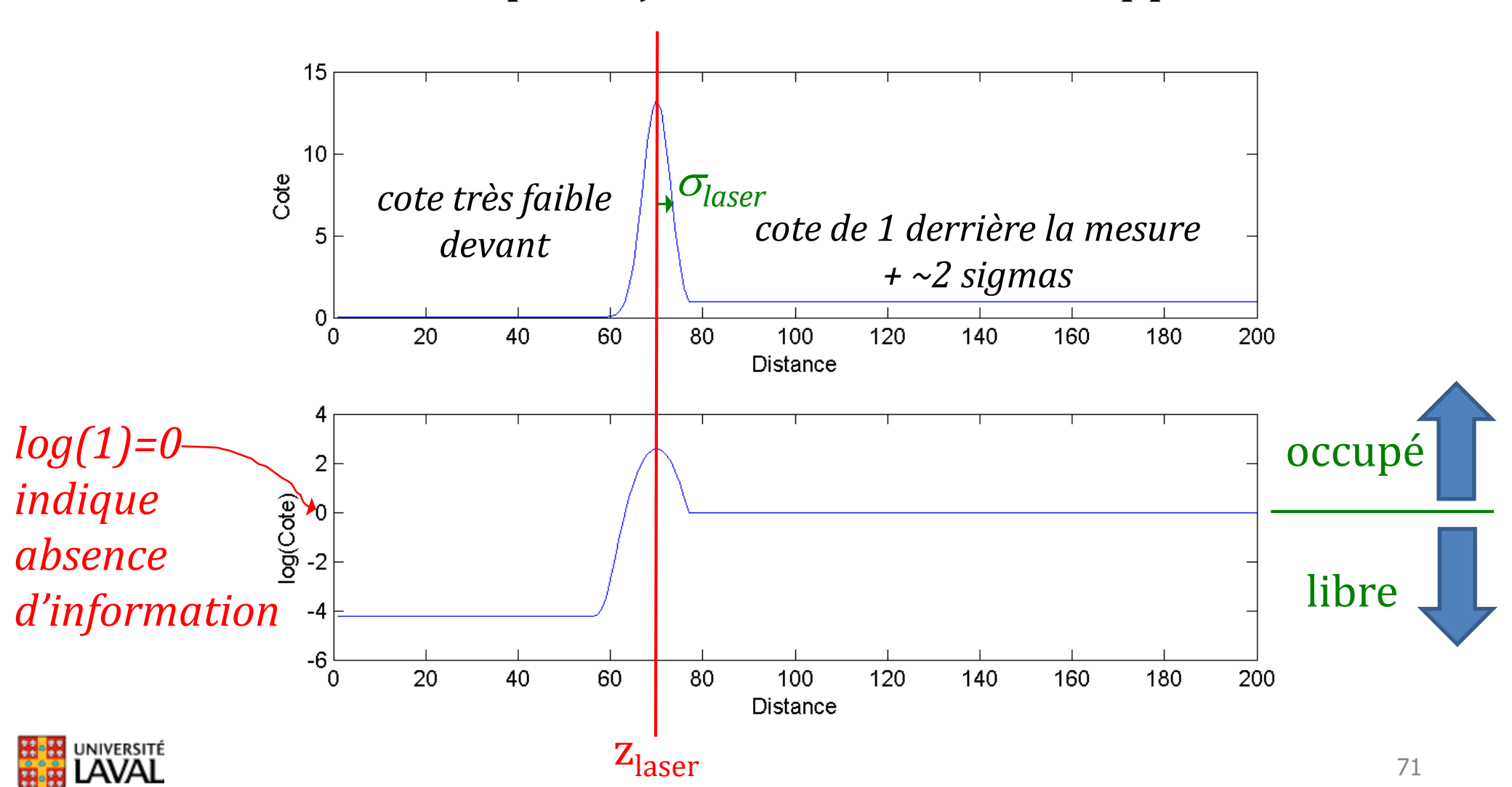


• Il ne mettra pas à jour beaucoup de cases...

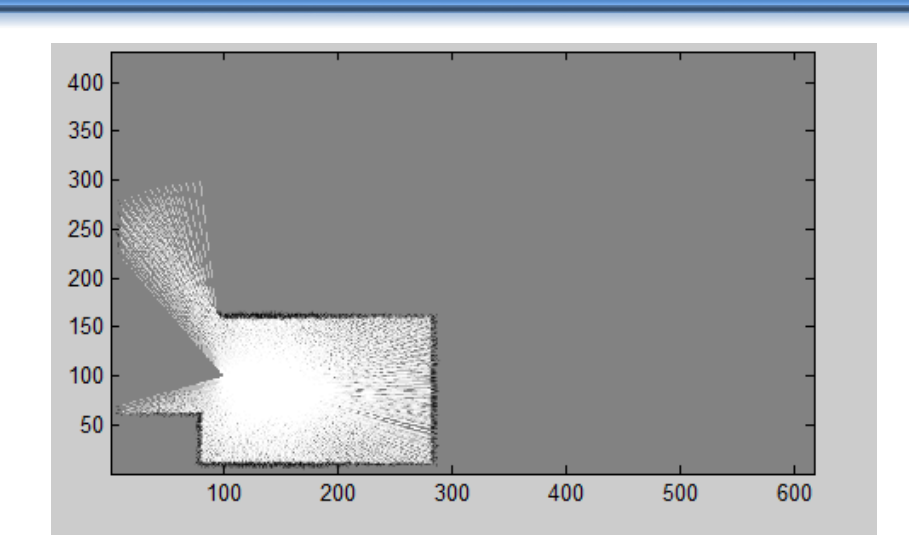


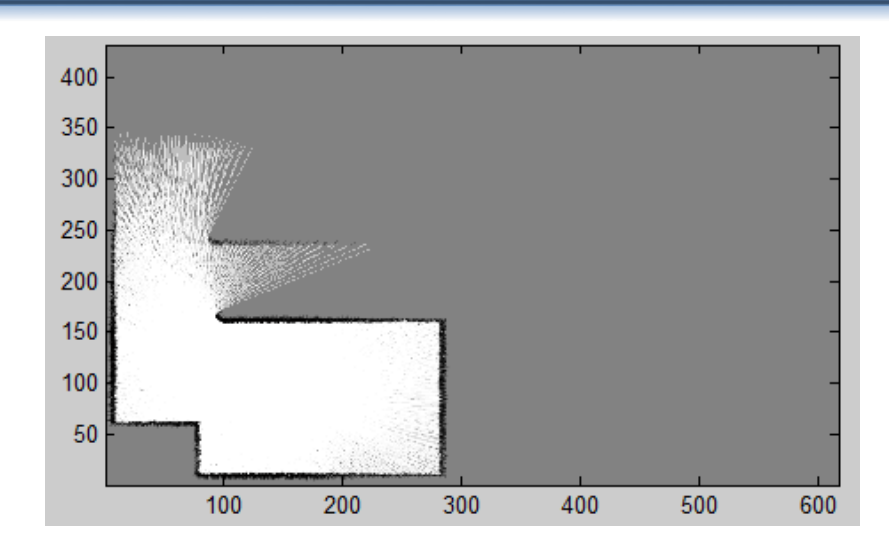
Exemple matlab GridMap.zip

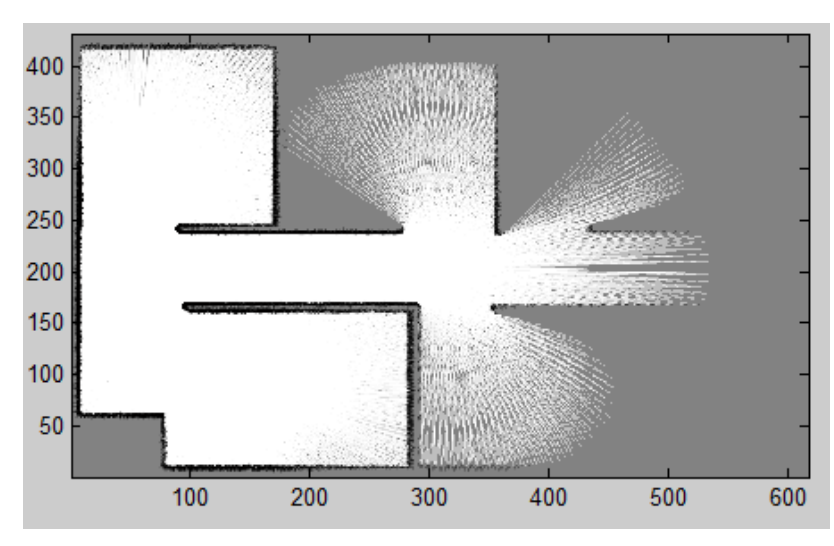
Pour les cotes du capteur, j'ai utilisé un modèle approximatif

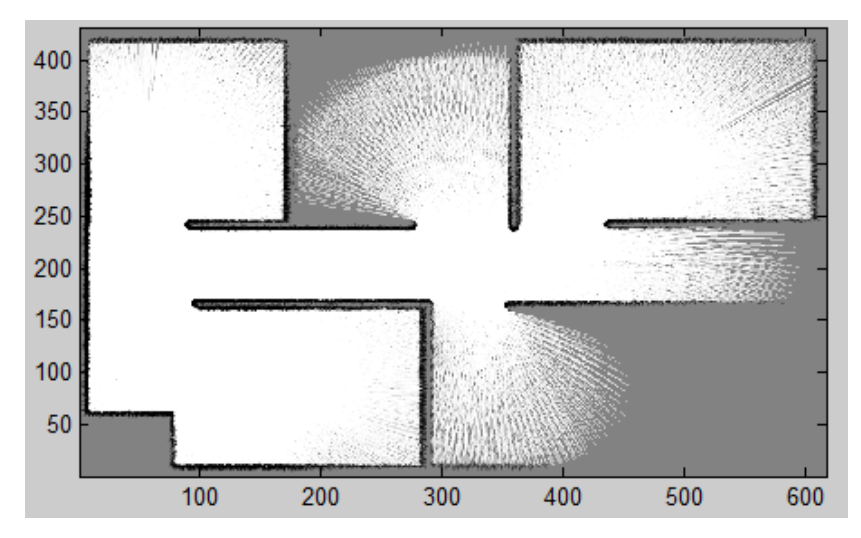


Exemple matlab GridMap.zip











Pourquoi faire grille occupation?

- Pour planifier!
 - explorer les endroits inconnus
 - savoir où sont les endroits libres sur la carte
- Pour la localisation!
 - possible, si la carte a été construite de manière fiable
 - avec des scan laser :
 http://wiki.ros.org/gmapping

G. Grisetti, C. Stachniss, and W. Burgard: Improved Techniques for Grid Mapping with Rao-Blackwellized Particle Filters, *IEEE Transactions on Robotics*, Volume 23, pp. 34-46, 2007.

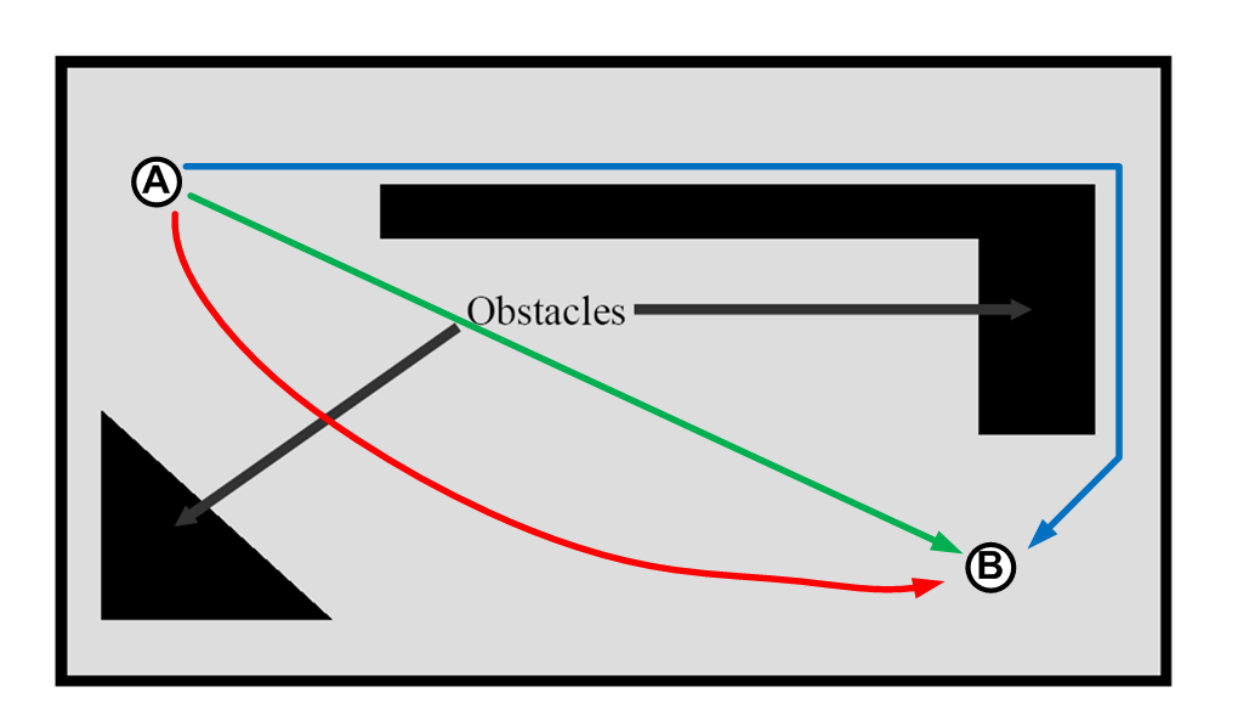


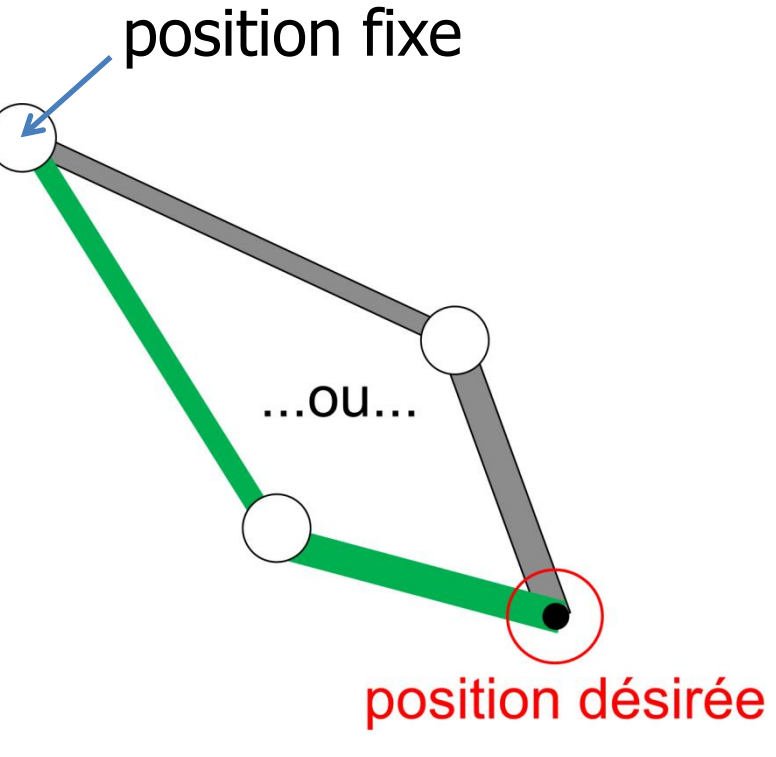
Planification

Planification: mal posé

Déplacer un robot de A vers B

Positionner l'extrémité d'un bras







Espace de configuration

- Représentation abstraite d'un problème de planification
- Employer des algorithmes de recherches génériques pour :
 - robot 2D glisse en x, y
 - robot conduite différentielle
 - bras articulé
 - robot humanoïde avec 30 joints
 - etc.

Algorithmes standards de recherche de solution



Espace de config.

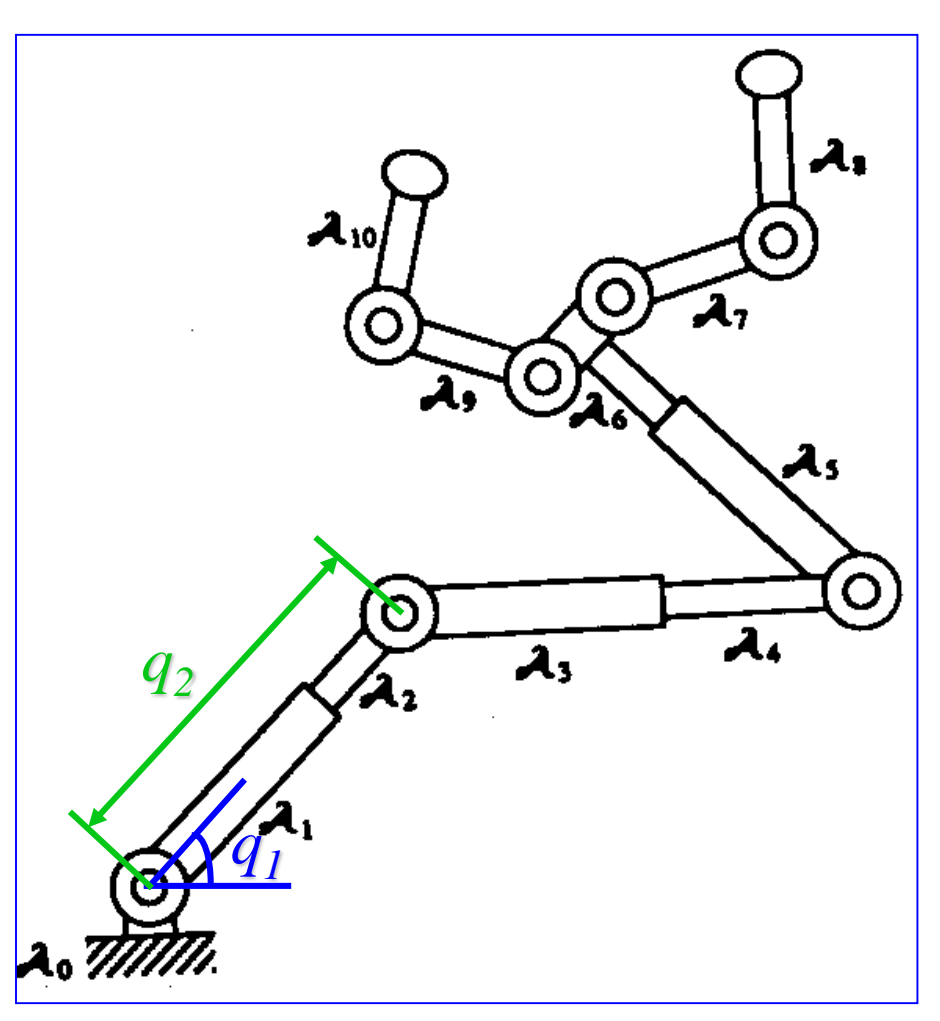


Abstraction





Exemple configuration (bras articulé)



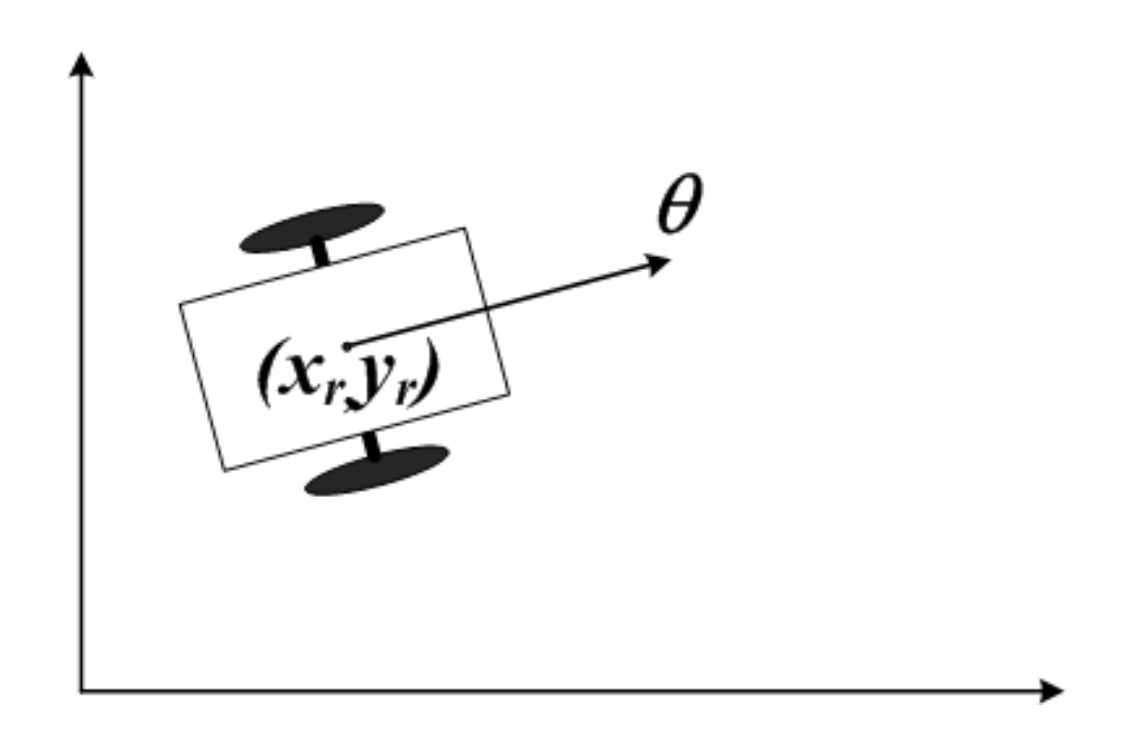
- La configuration d'un bras est l'ensemble des angles θ_i et étirements d_i .
- Pour un robot articulé complexe de 10 actionneurs :

$$|\vec{q} = (q_1, q_2, \dots, q_{10})|$$



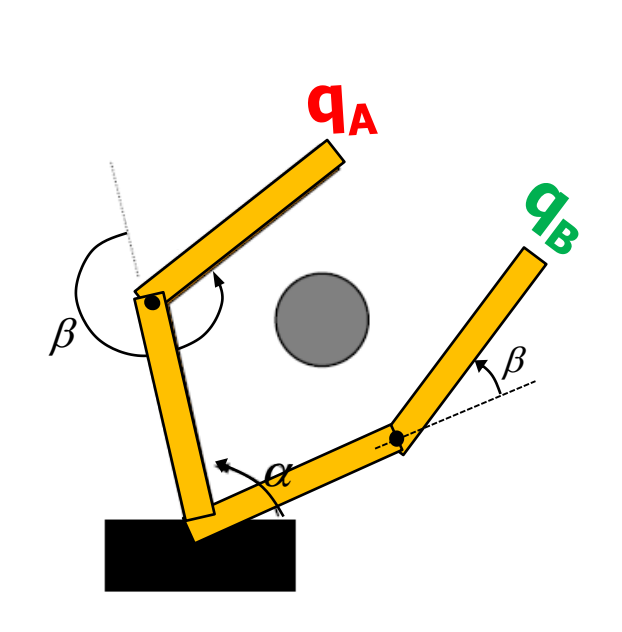
Exemple configuration (robot mobile)

- Espace de travail en 2D
- Configuration: $\vec{q} = (x_r, y_r, \theta)$

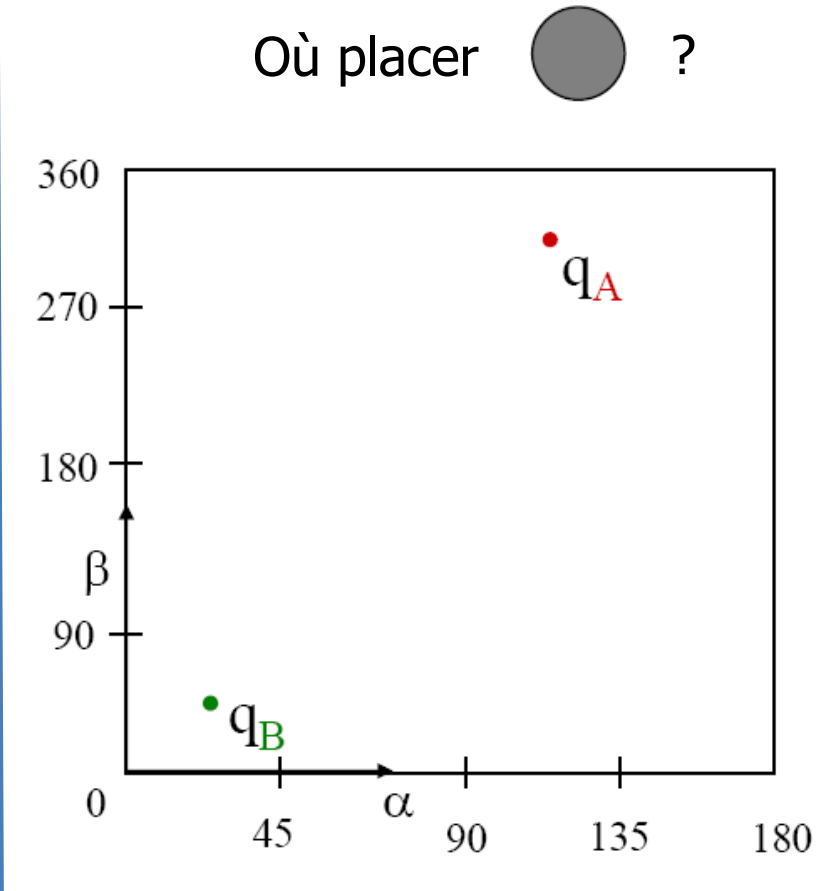




Obstacle dans l'espace de travail



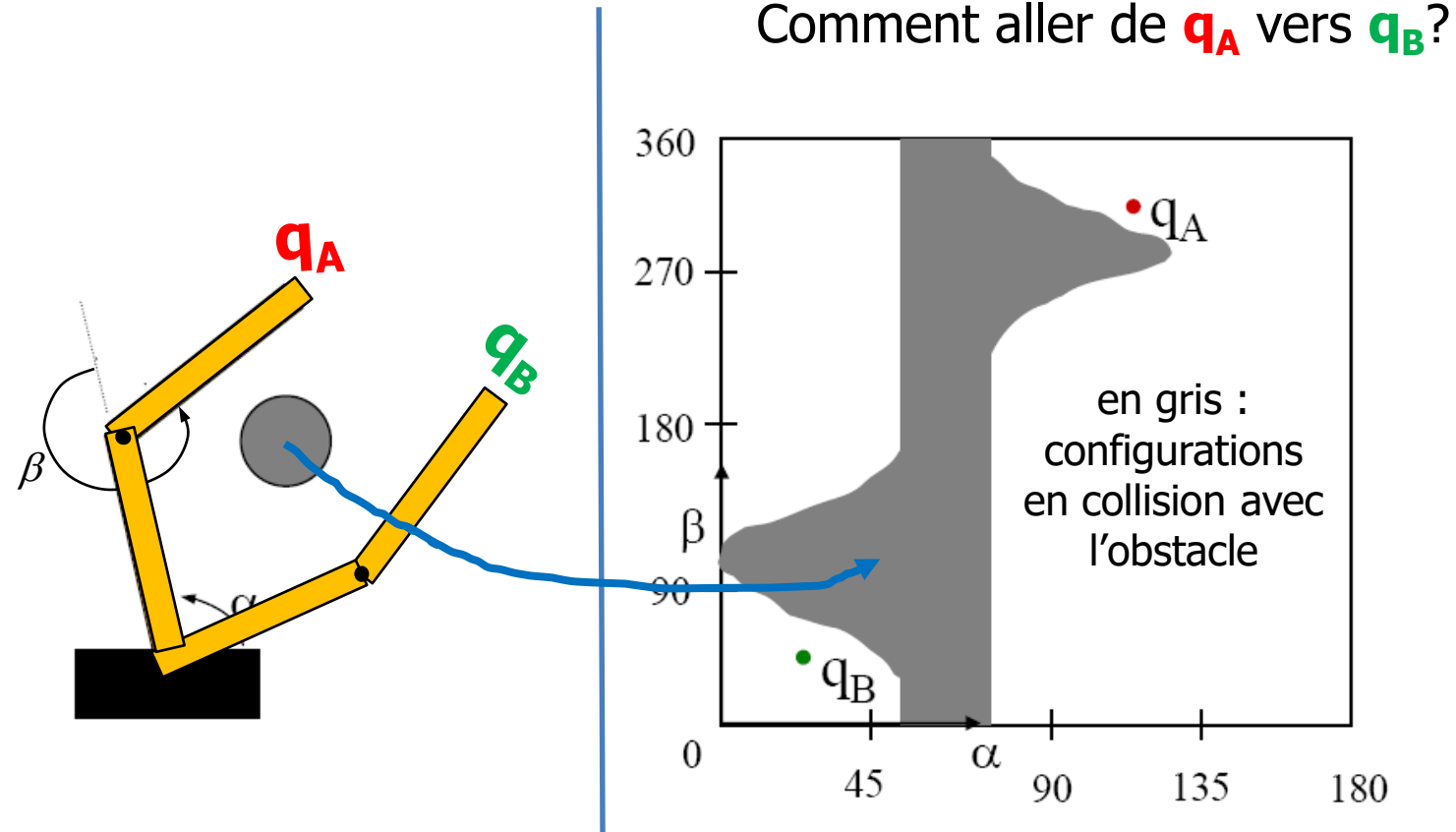
Un obstacle dans l'espace de travail



Espace de configuration



Obstacle dans l'espace des configurations



Un obstacle dans l'espace de travail

Espace de configuration



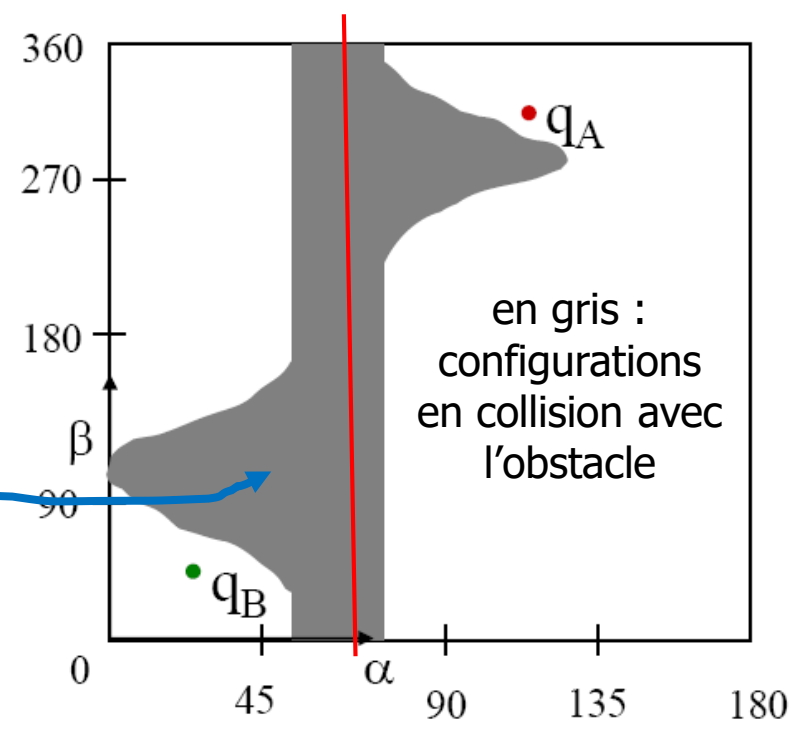
Obstacle dans l'espace des configurations

dès que α = 60°, on a collision, peu importe β

 $\begin{array}{c}
360 \\
270 \\
8 \\
180 \\
\beta \\
90
\end{array}$

Un obstacle dans l'espace de travail

Comment aller de q_{Δ} vers q_{R} ?



Espace de configuration

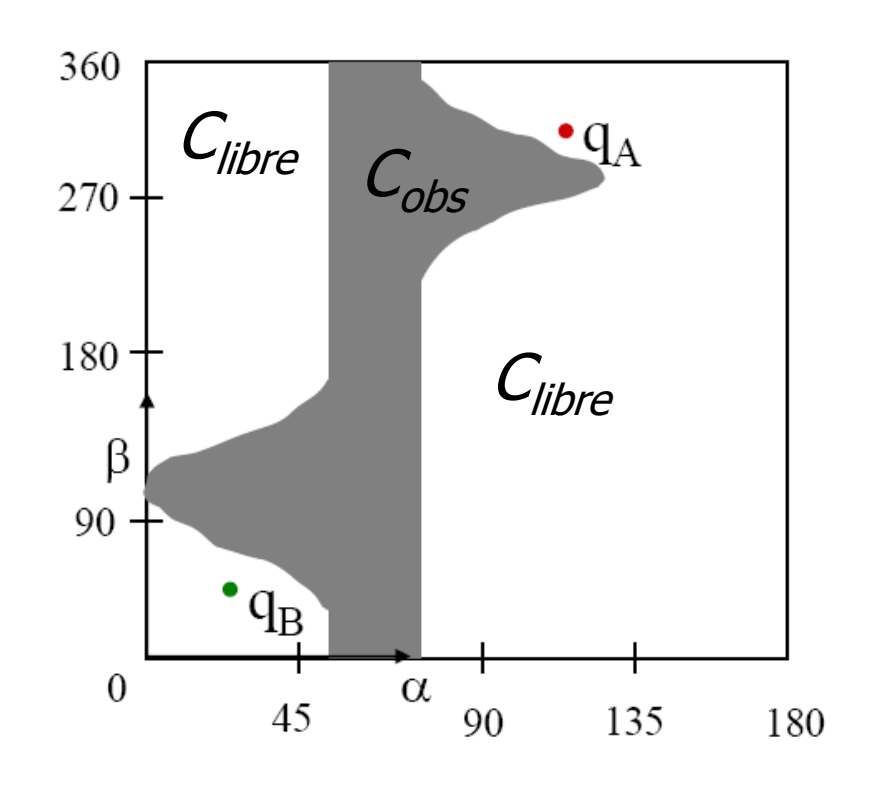


Espace des configurations : terminologie

L'espace des configurations C est composé :

- espace libre C_{libre}
- espace des obstacles C_{obs}

$$C = C_{libre} + C_{obs}$$



Espace de configuration



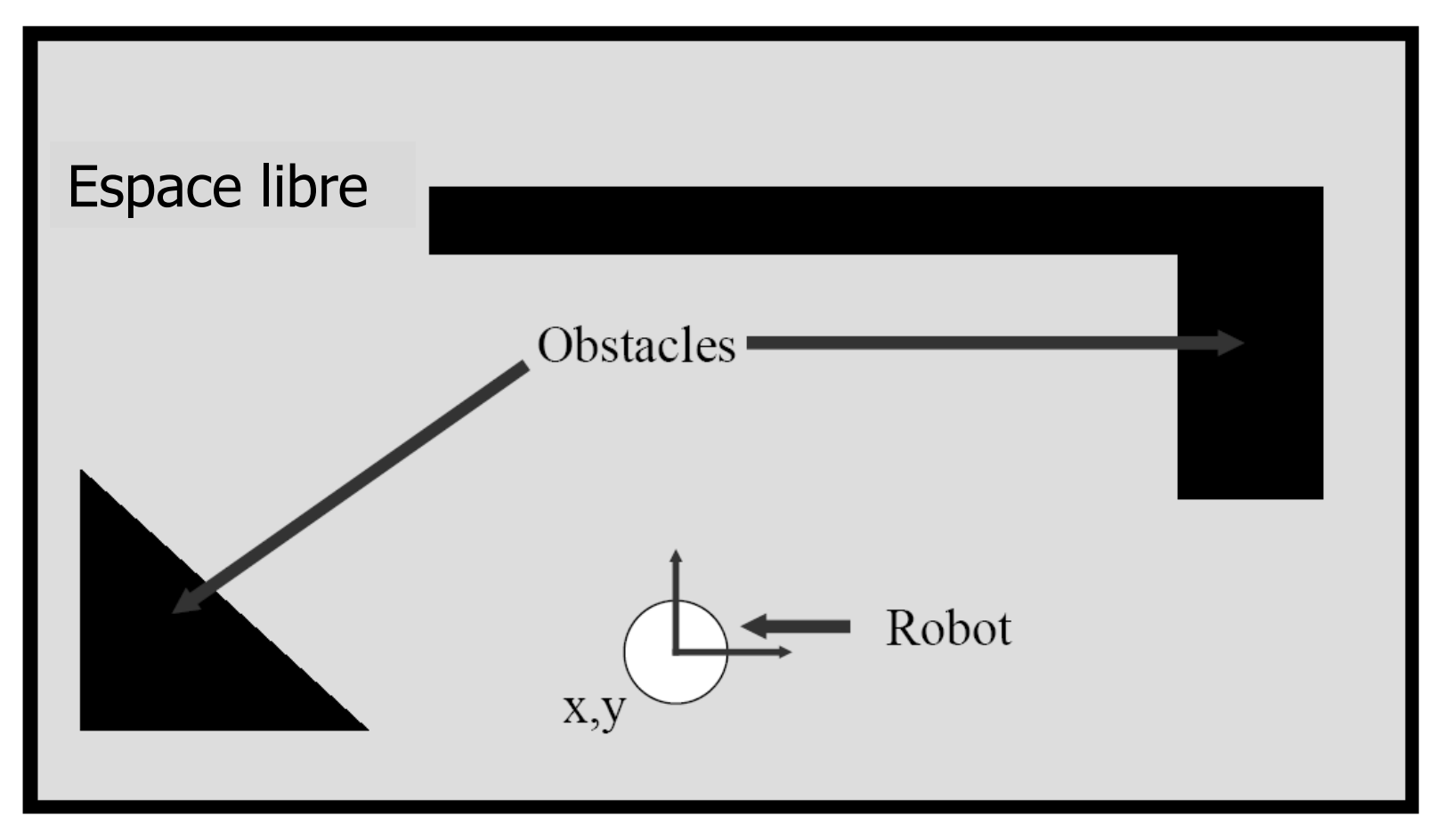
Obstacle dans l'espace des configurations

construction de l'espace des configurations avec obstacles



Espace de configuration C

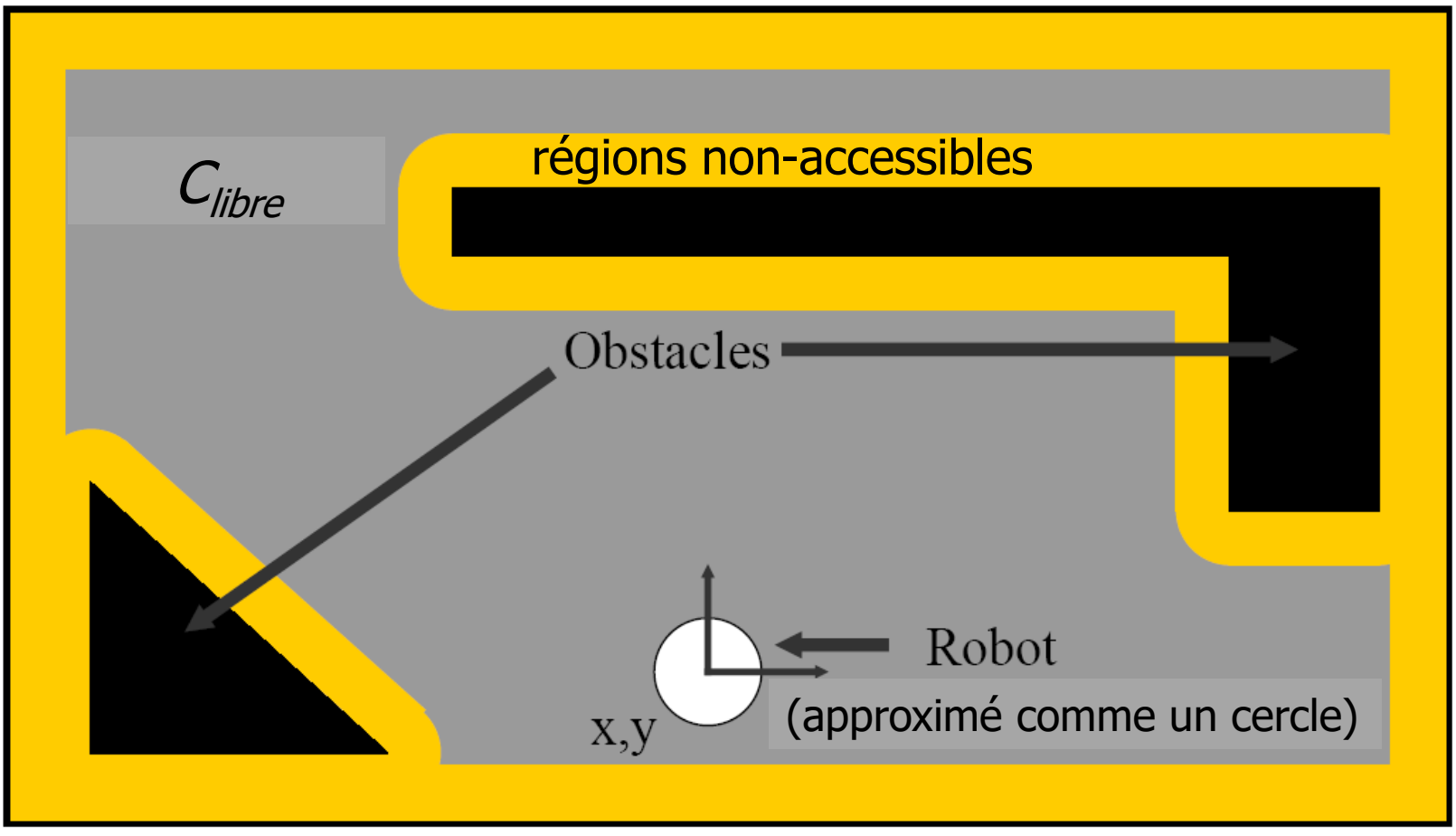
Pour un robot circulaire se déplaçant en x-y





Espace de configuration C

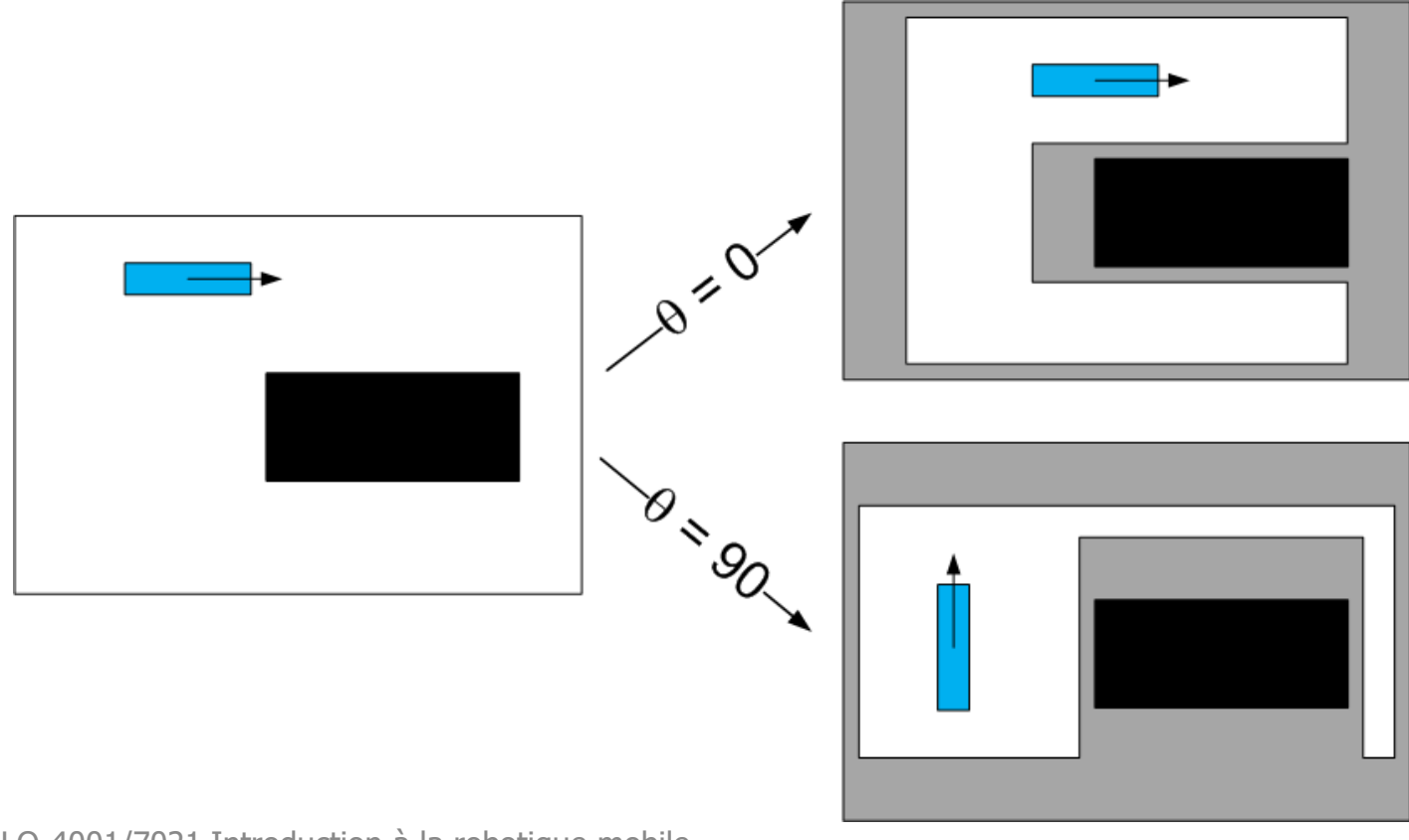
• Le centre du robot ne peut être que dans le gris





Espace de configuration C

• Pour un robot se déplaçant en conduite différentielle : (x, y, θ) (3 dimensions)





Planification de trajectoire : abstraction

- …aussi appelé « piano mover's problem »
- On a:
 - espace de travail ${\pmb W}$ en ${\mathbb R}^2$ ou ${\mathbb R}^3$
 - régions d'obstacles O
 - un robot R avec géométrie dans W
 - espace configuration C (avec $C = C_{libre} + C_{obs}$)
 - configuration initiale $q_1 \in \mathcal{C}_{libre}$
 - configuration finale $q_2 \in C_{libre}$
- Trouver une trajectoire τ continue dans C_{libre} entre q_1 et q_2 .



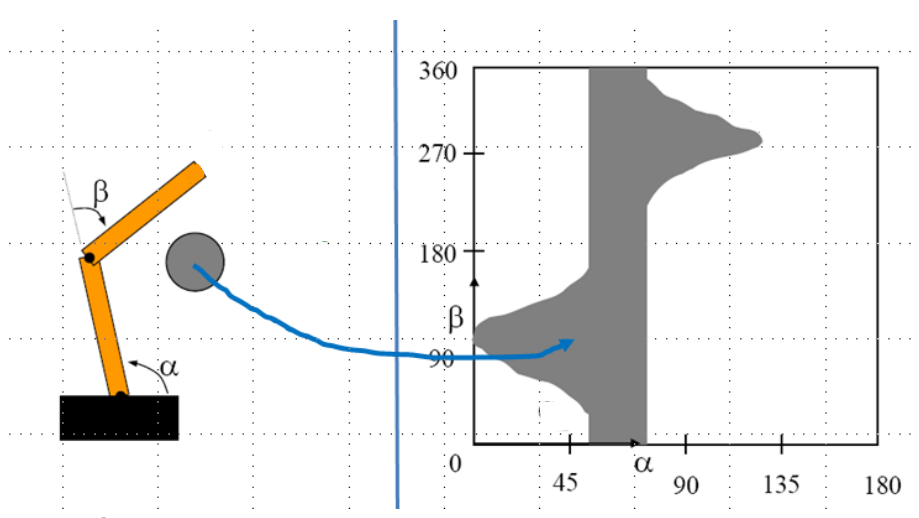
« monde physique »

Planification de trajectoire : abstraction

- …aussi appelé « piano mover's problem »
- On a:
 - espace de travail $oldsymbol{W}$ en \mathbb{R}^2 ou \mathbb{R}^3
 - régions d'obstacles **0**
 - un robot $oldsymbol{R}$ avec géométrie dans $oldsymbol{W}$

- espace configuration C (avec $C = C_{libre} + C_{obs}$)

calcul de C_{obs} n'est pas facile





Planification de trajectoire : abstraction

- …aussi appelé « piano mover's problem »
- On a:
 - espace de travail $extbf{\emph{W}}$ en \mathbb{R}^2 ou \mathbb{R}^3
 - régions d'obstacles **0**
 - un robot $oldsymbol{R}$ avec géométrie dans $oldsymbol{W}$



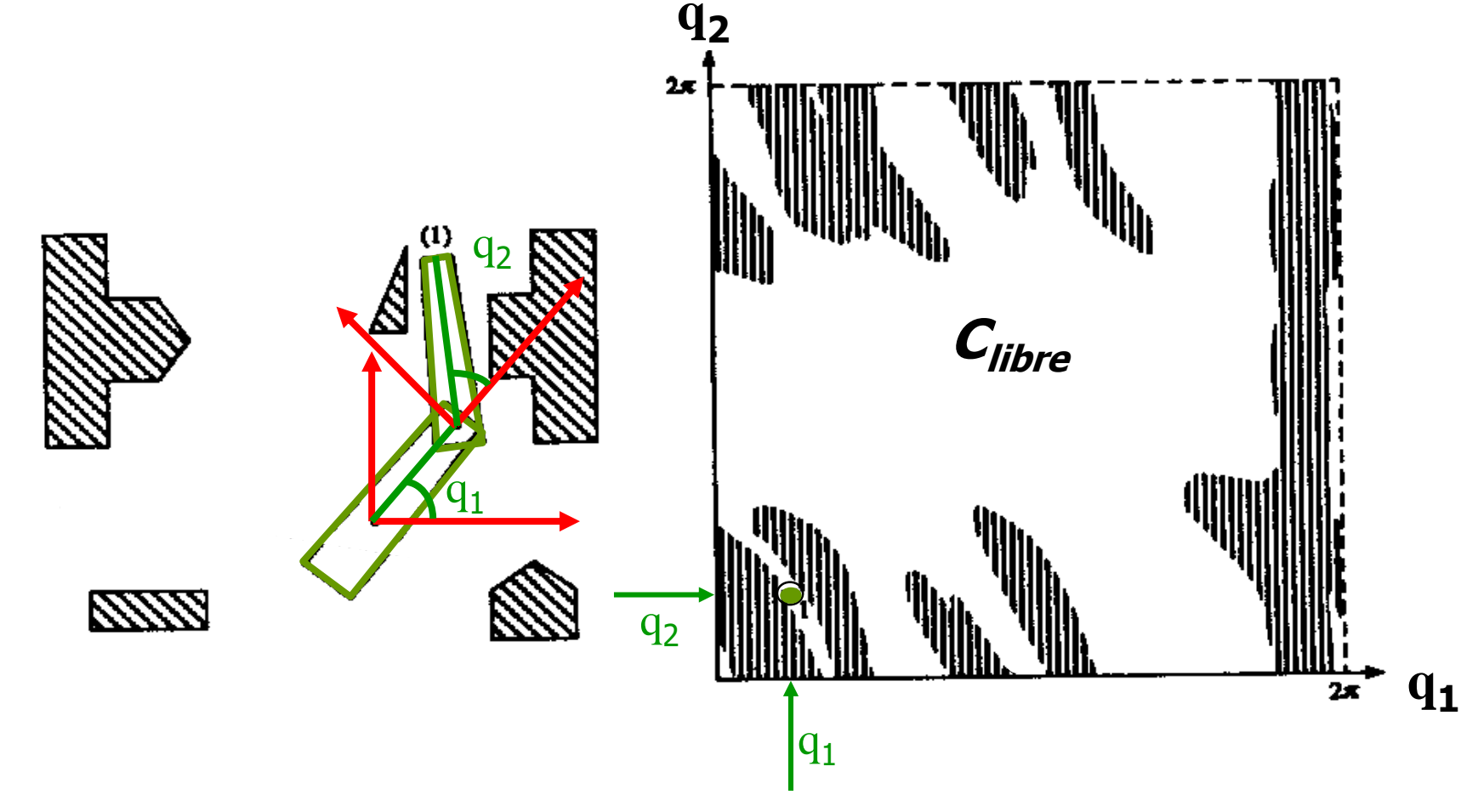
- configuration initiale $q_1 \in \mathcal{C}_{libre}$
- configuration finale $q_2 \in C_{libre}$
- Trouver une trajectoire τ continue dans C_{libre} entre q_1 et q_2 . calcul exact approximativement exponentiel en dimension de q



calcul de **C**_{obs} n'est pas facile

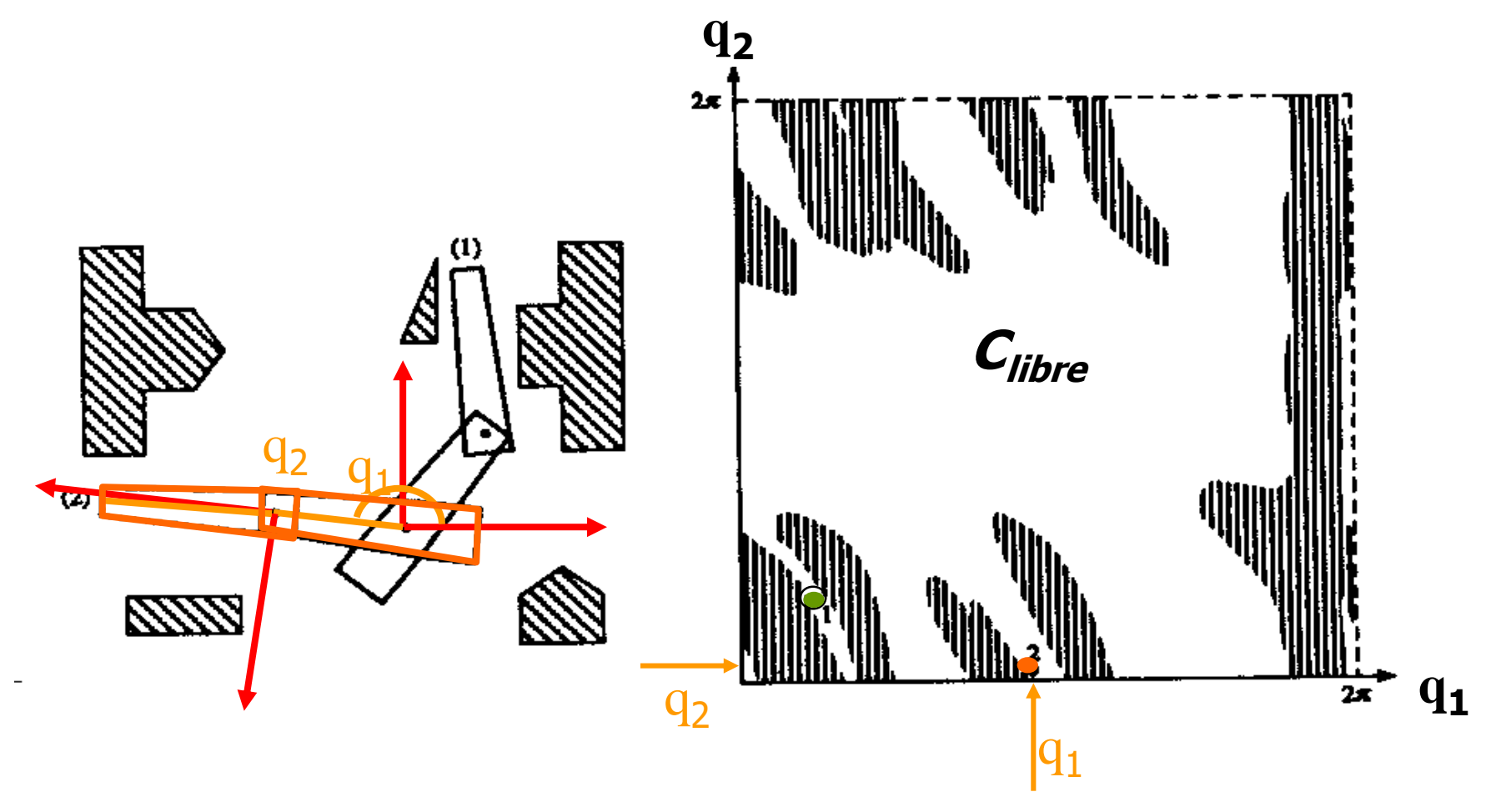
Espace de configuration : position 1

• Pour un bras avec 2 joints rotatifs q₁ et q₂





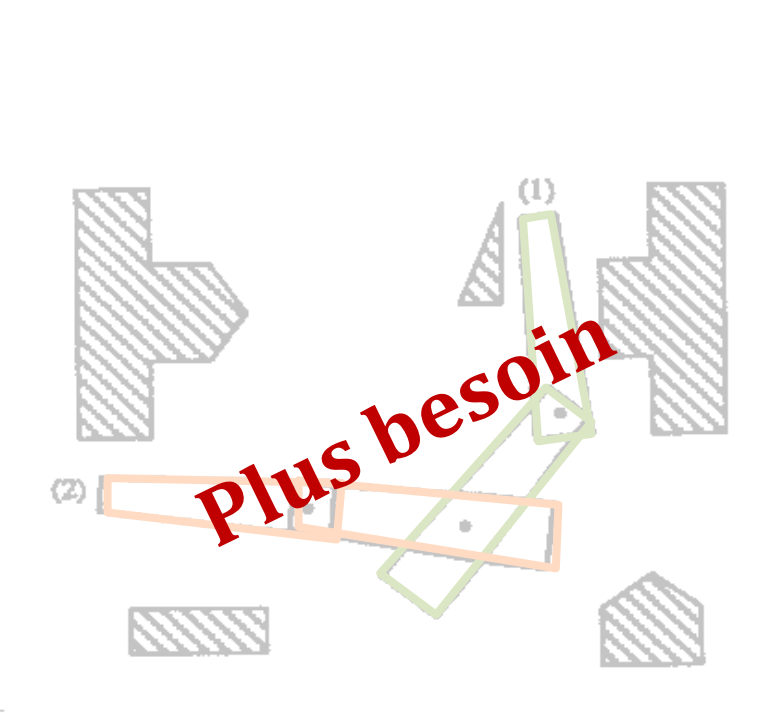
Espace de configuration : position 2

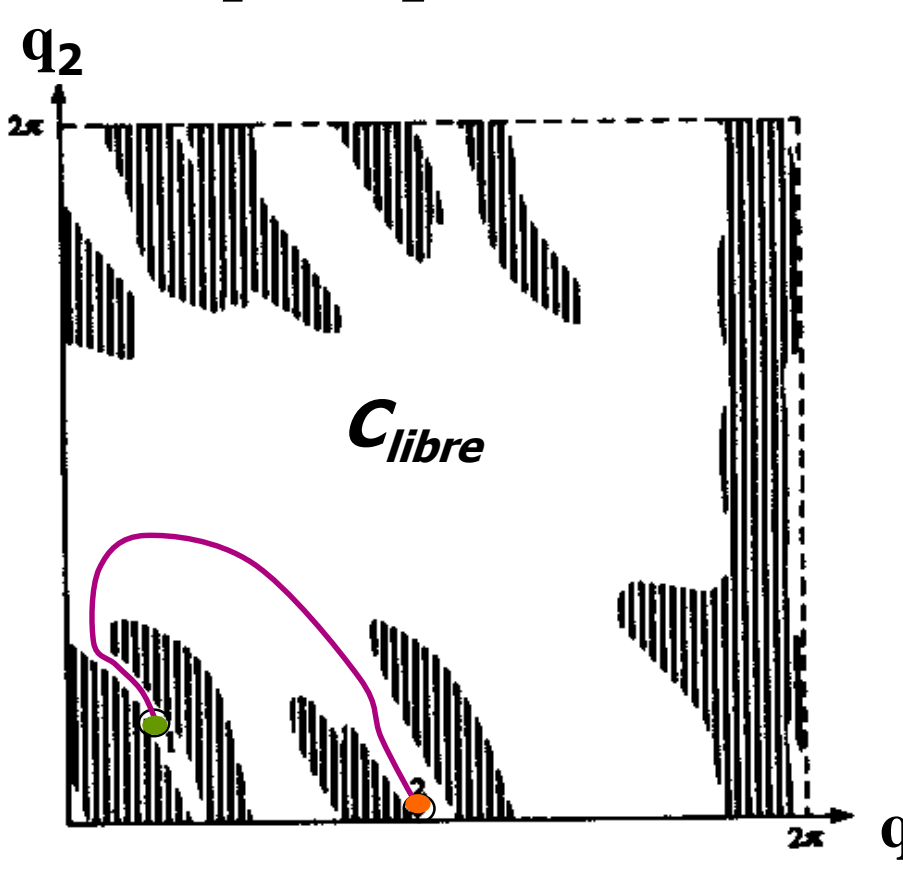




Espace de configuration

• Trajectoire possible entre q_1 et q_2 ? oui!

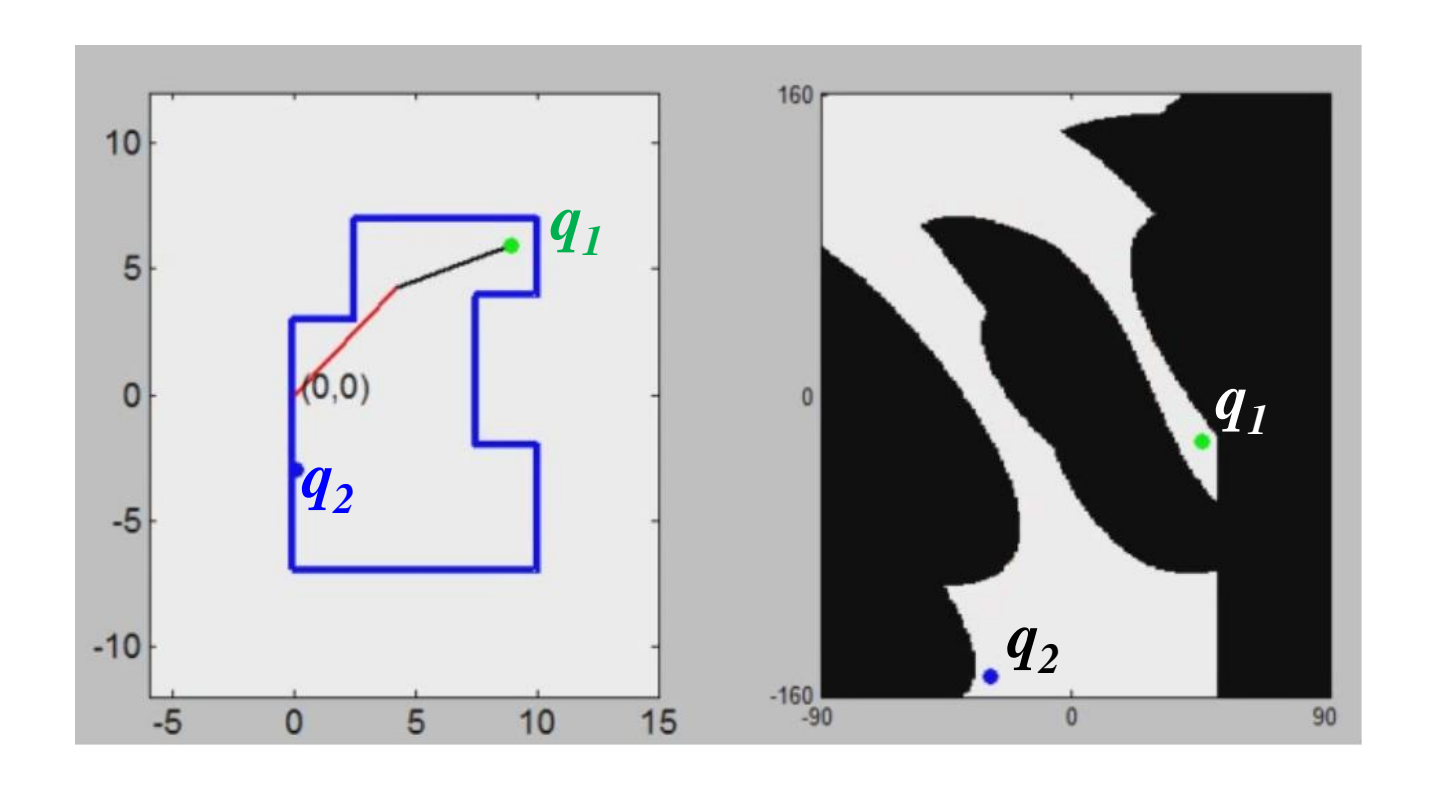






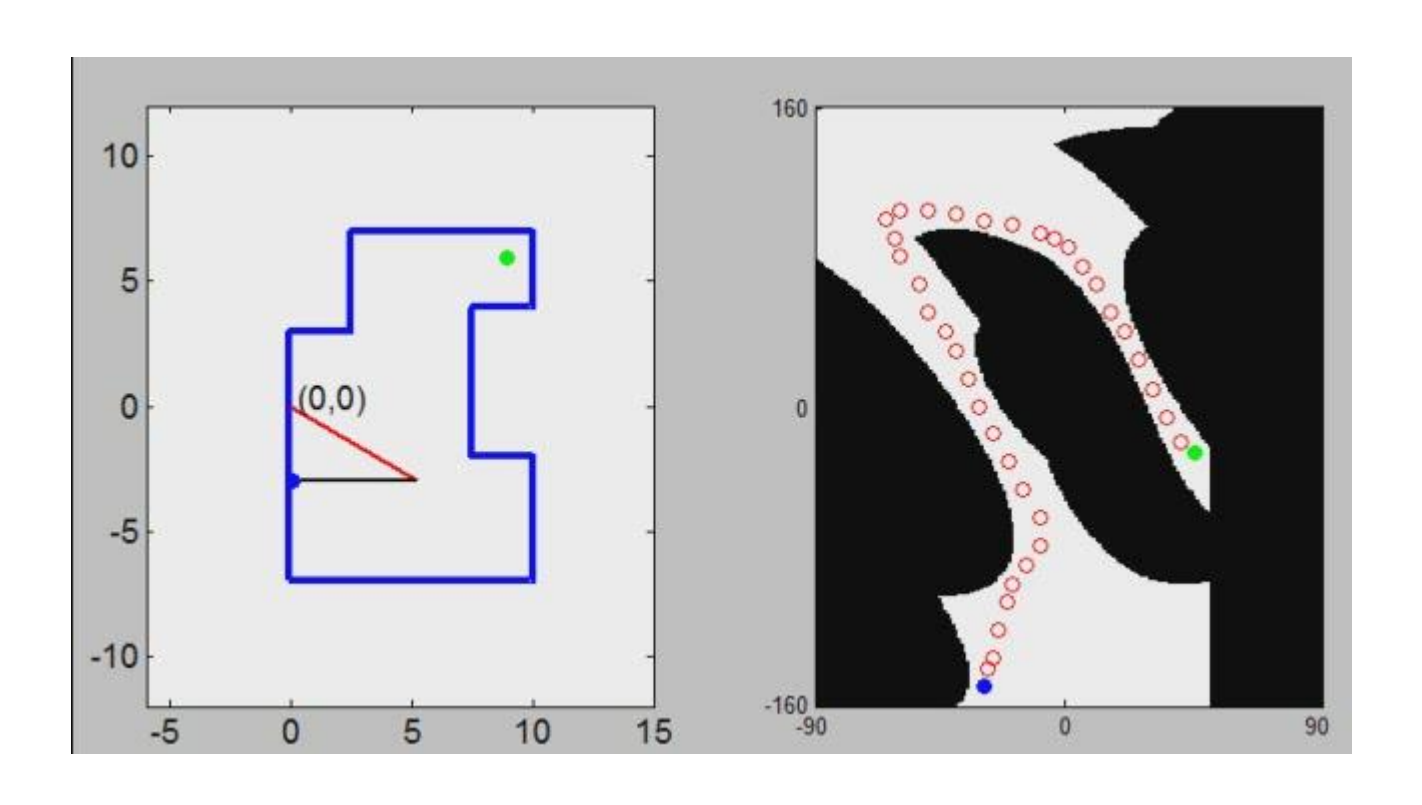
Exemple: bras robotisé

On veut déplacer le bout du bras (end effector) de q_1 à q_2 .





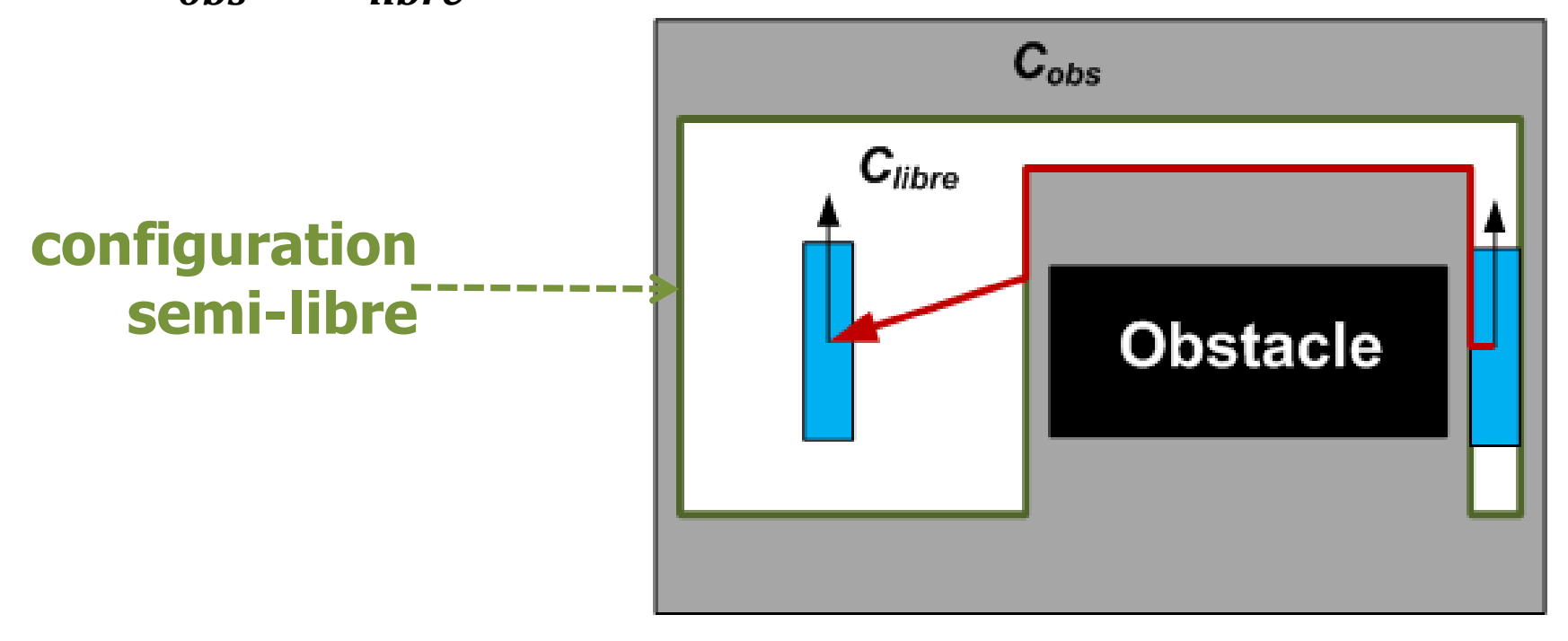
Exemple: bras robotisé





Configuration semi-libre

- Une configuration est <u>semi-libre</u> si le robot touche un obstacle, sans le pénétrer.
- Les configurations semi-libres sont à la bordure entre C_{obs} et C_{libre} .

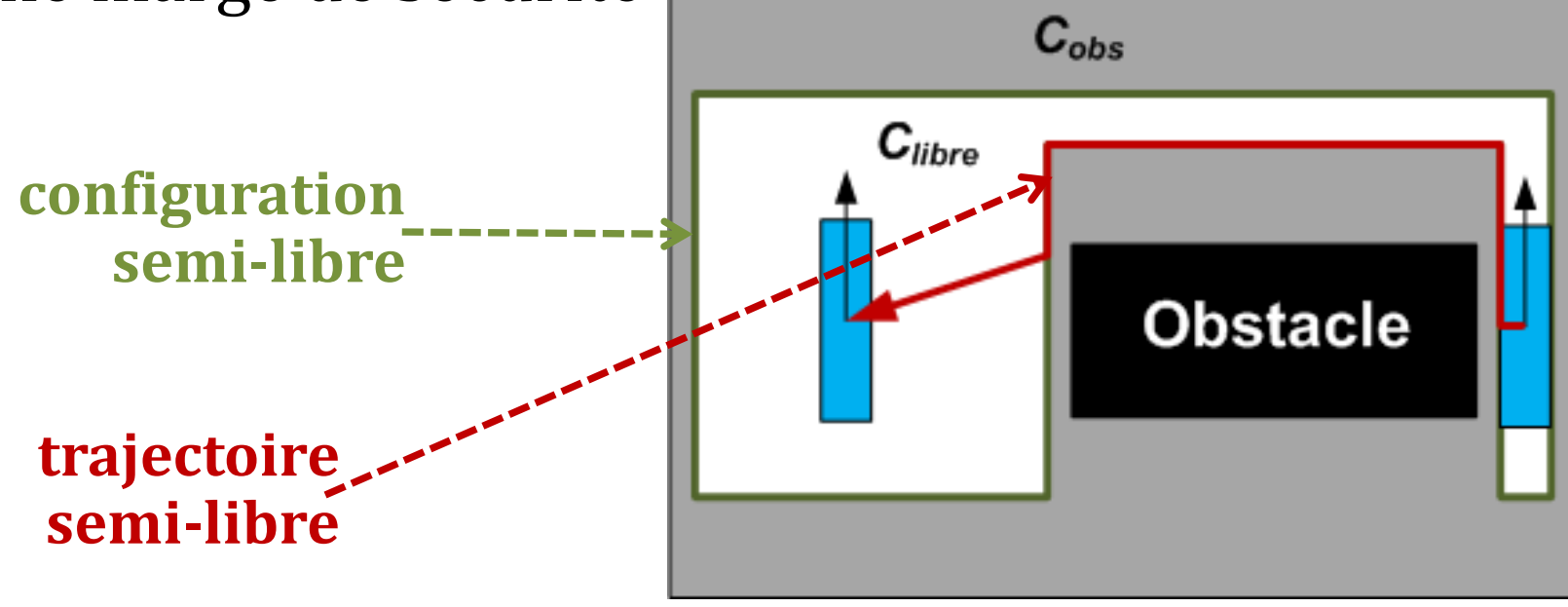




Trajectoire semi-libre

- Trajectoire est <u>libre</u> si entièrement dans C_{libre} .
- Trajectoire est <u>semi-libre</u> si elle contient au moins une configuration semi-libre.
- On cherche, en général, à éviter ces configurations :

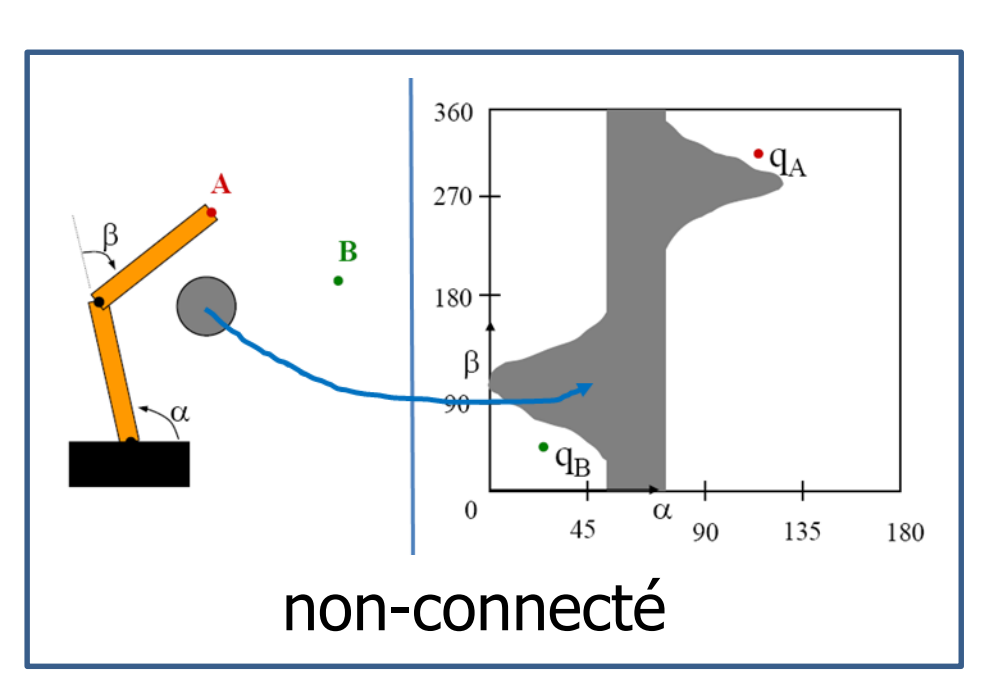
aucune marge de sécurité

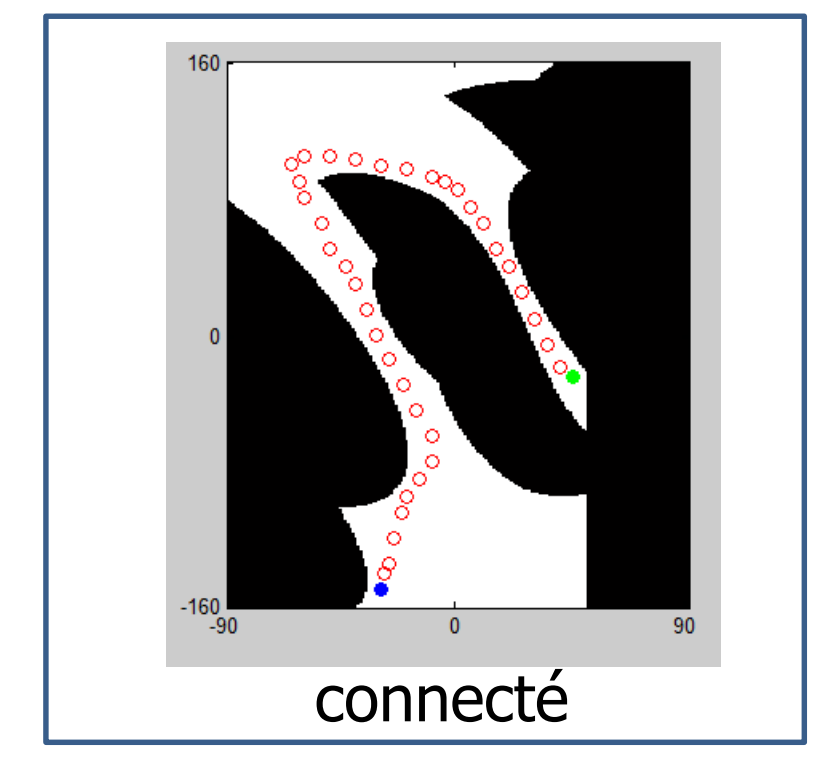




Connectivité de l'espace-C

• L'espace de configuration \mathbf{C} est <u>connecté</u> s'il existe une trajectoire entre n'importe quelle paire de configuration q_1 et q_2 dans \mathbf{C}_{libre} .







Planification de mouvements

• Cherche à trouver une trajectoire dans l'espace des configurations, sans collision $\rightarrow C_{libre}$

Méthodes déterministes

 à chaque fois, l'algorithme retourne la même réponse

Probabilistes

- fonctionne par échantillonnage au hasard
- ne trouve pas toujours la même trajectoire



Méthodes Déterministes

- Par discrétisation :
 - Graphe des visibilités
 - Décomposition cellulaire verticale
 - Diagrammes de Voronoï
- Algorithmes bug0, bug1 et bug2
- Champs de potentiels
- Propagation de front d'ondes



Solutions exactes vs approximatives

- Un algorithme **exact**:
 - trouvera une solution si elle existe
 - → algorithme complet
 - temps de calcul trop important pour des problèmes intéressants (e.g. humanoïdes à 30 joints).
- Un algorithme approximatif:
 - n'assure pas de trouver la solution...
 - ...mais est plus rapide.
 - − *e.g.* grille discrète des configurations
 - (angle multiples de 5°, par exemple)



Discrétisation de l'espace

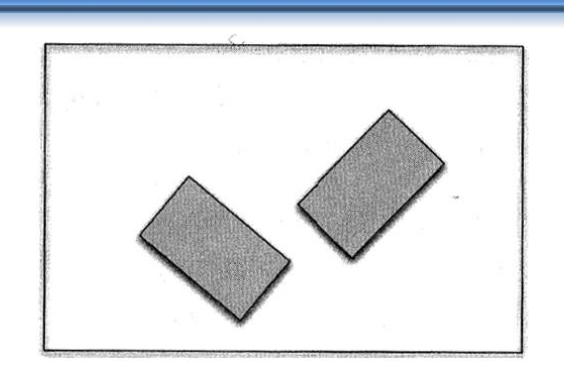
Représentation continue

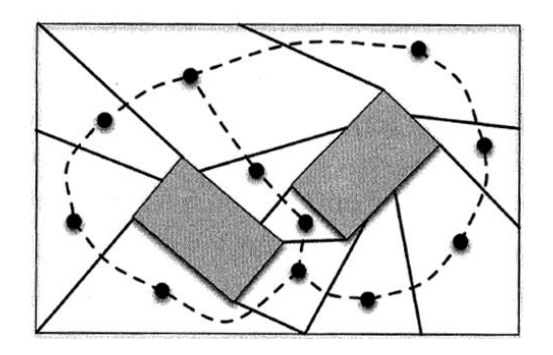
(espace des configurations)



Recherche dans graphe

(blind, best-first, A*)



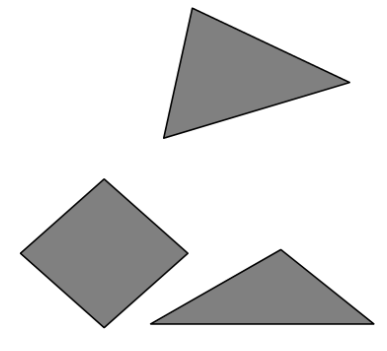




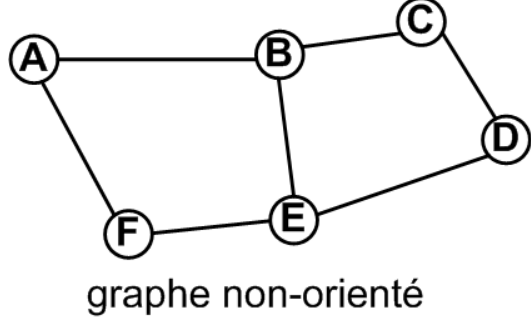


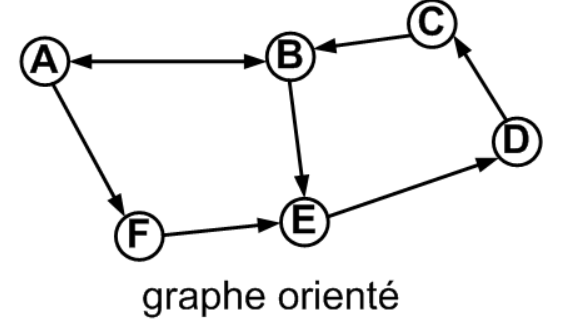
Graphe des visibilités

- Vous avez une carte géométrique connue
- Obstacles sont des polygones



• Utilise graphe G = (E,V) non-orienté comme représentation



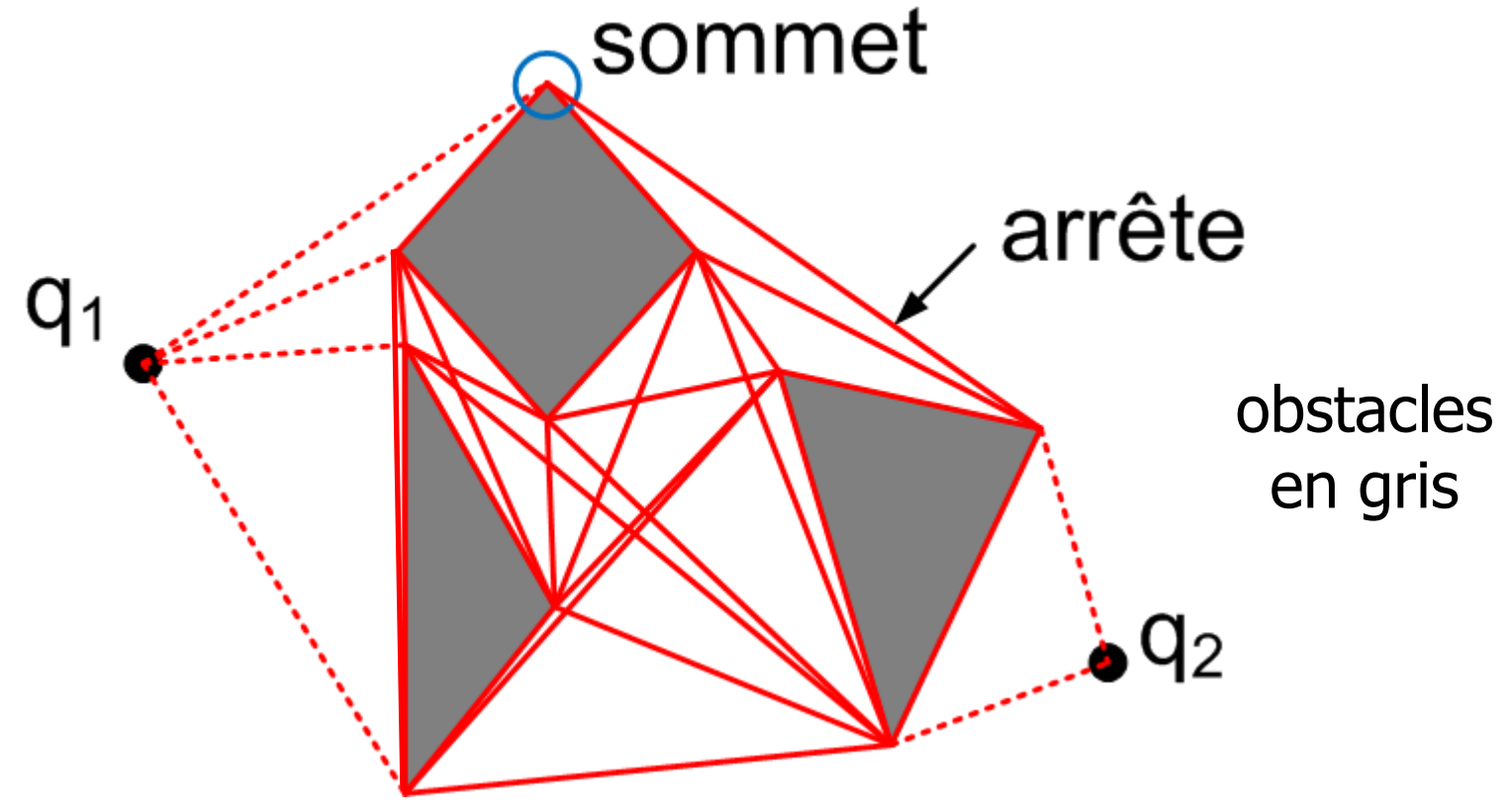


- Algorithme complet*
- Approprié pour monde 2D
- Approche par « carte routière » : roadmap



Discrétisation : graphe des visibilités

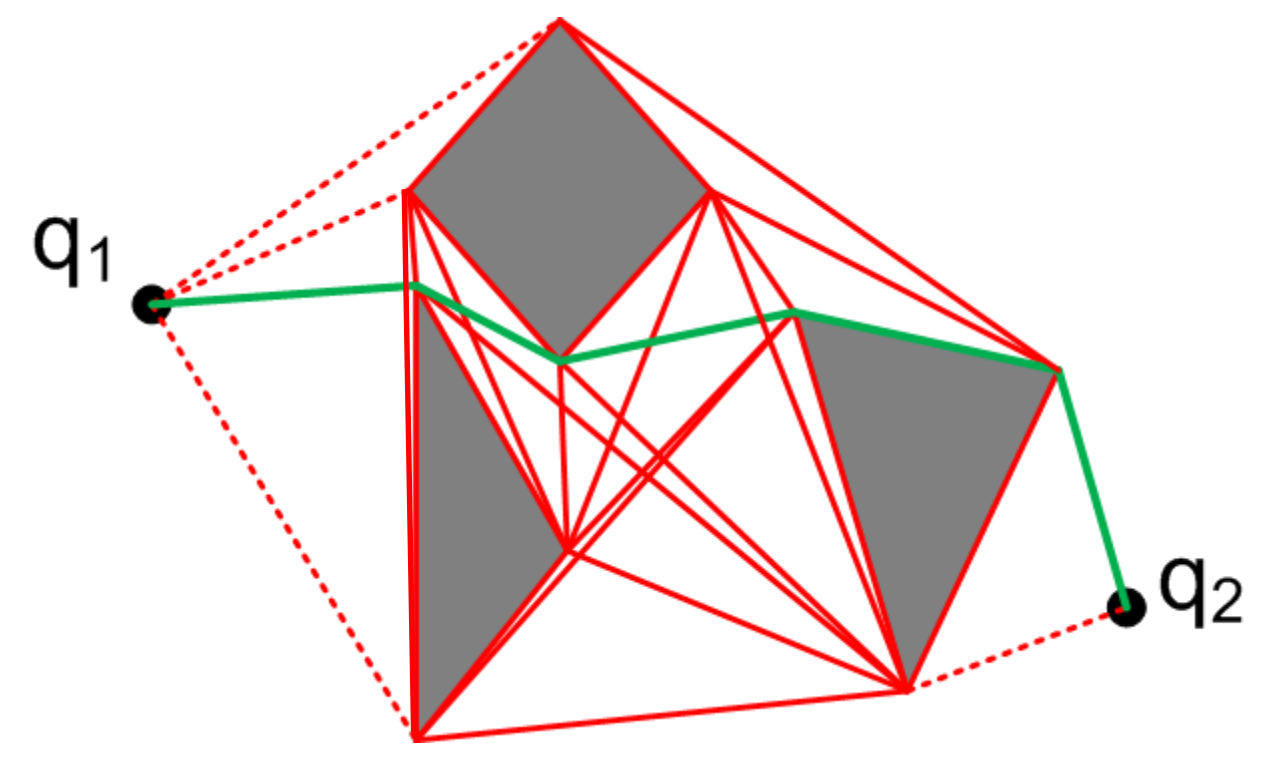
• Les sommets V des obstacles qui sont mutuellement visibles sont connecté ensemble par une arrête E.





Planification : graphe des visibilités

- Planification : recherche le chemin le plus court dans graphe G entre q_1 et q_2 .
- Algorithme de *Dijkstra* : complexité O(|E| + |V| log |V|)

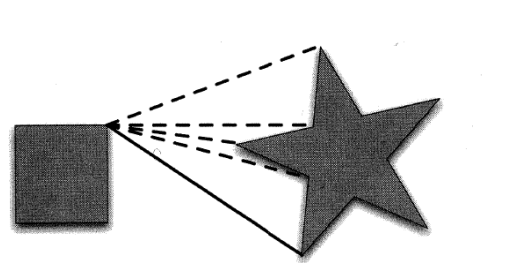




Graphe des visibilité réduites

• Une ligne passant par deux sommets $V_1 \in A$ et $V_2 \in B$ est dite tangente si elle <u>ne passe pas</u> à l'intérieur d'un des deux obstacles A ou B.

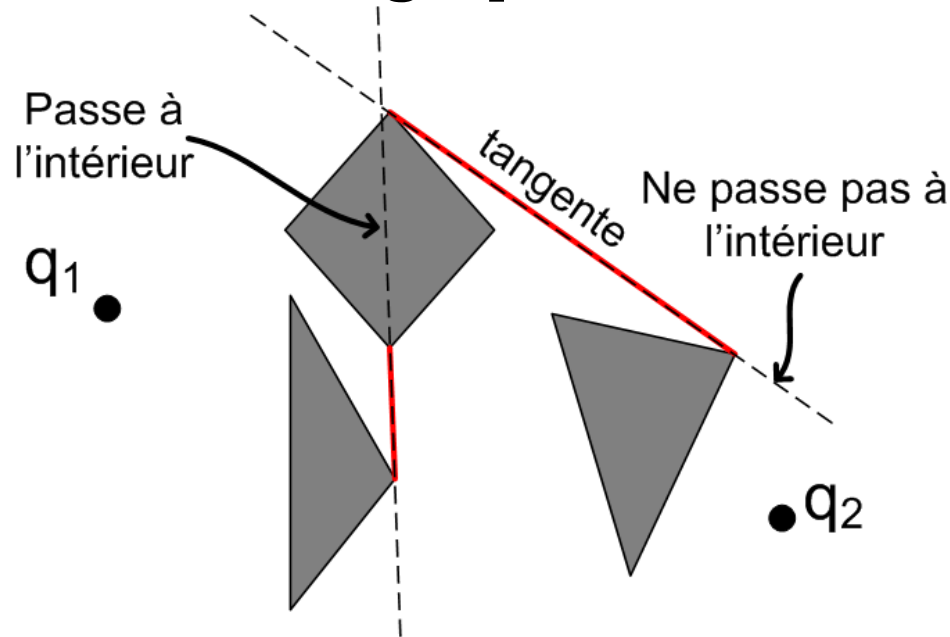
• Vient réduire le nombre d'arrête *E* dans graphe *G*.



(a) Co-tangent lines from one vertex

Co-tangent lines between two objects

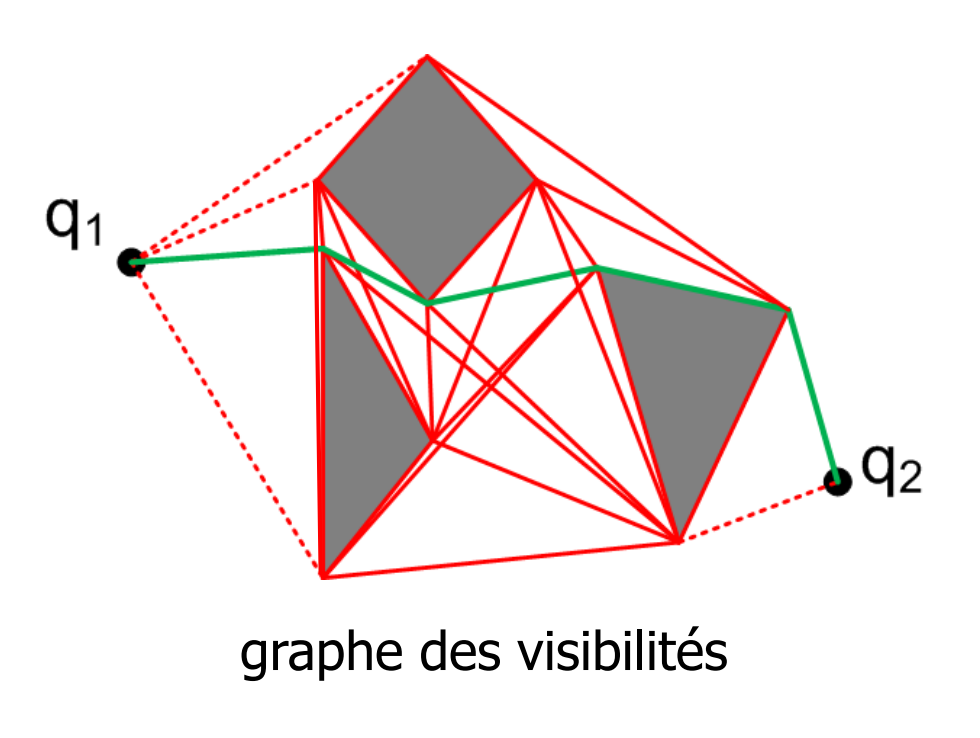
Au maximum, 4 tangentes par paire d'obstacles

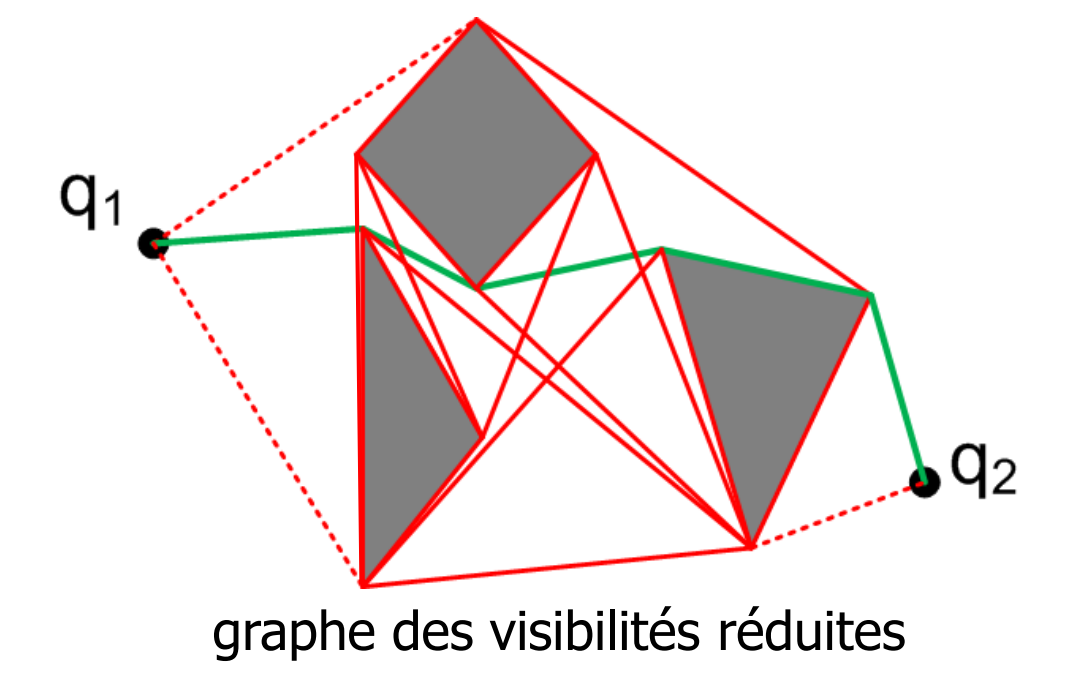




Graphe des visibilité réduites

- Graphe plus simple = recherche plus rapide
- Donne toujours la solution la plus courte







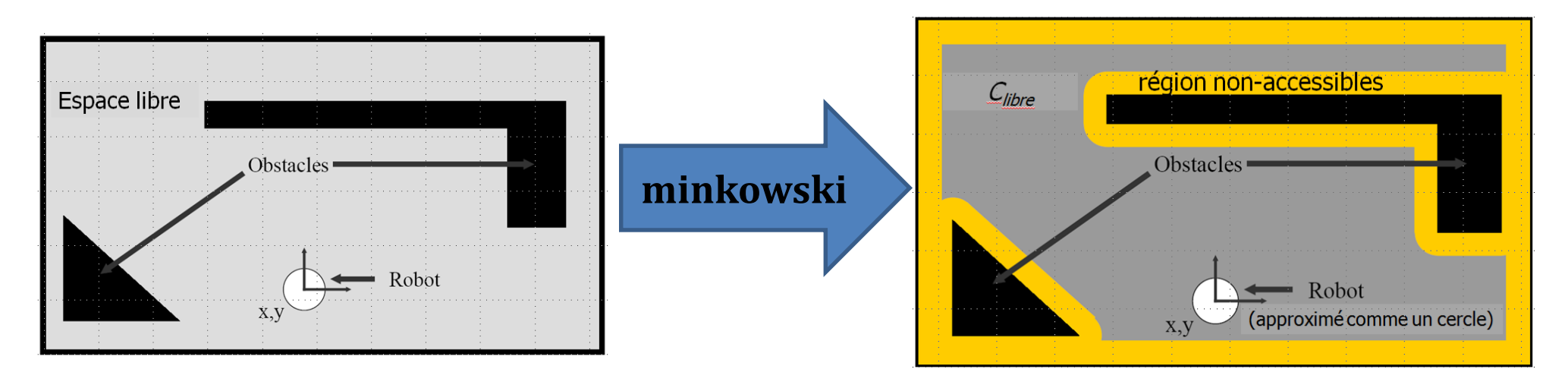
Graphe des visibilités

- Produit nécessairement la trajectoire la plus courte entre q_1 et q_2 ...
- ...mais avec possiblement des trajectoires semilibres...
- …et pour un robot de la taille d'un point.



Somme de Minkowski

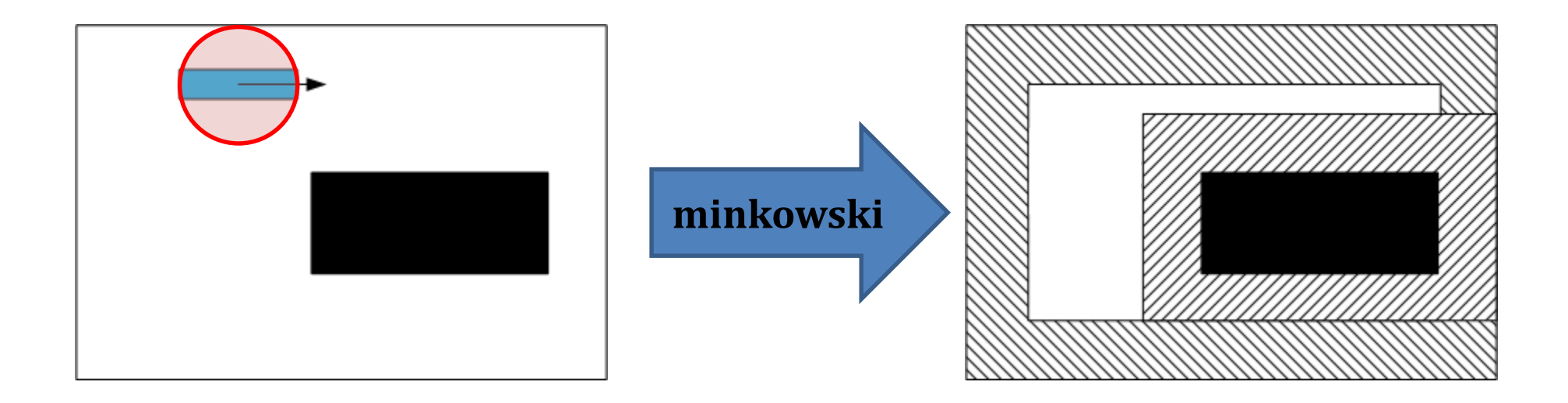
- Somme de Minkowski :
 - « gonfle » les obstacles pour tenir compte taille robot
 - robot redevient un point
- Algo complet seulement si le robot est circulaire





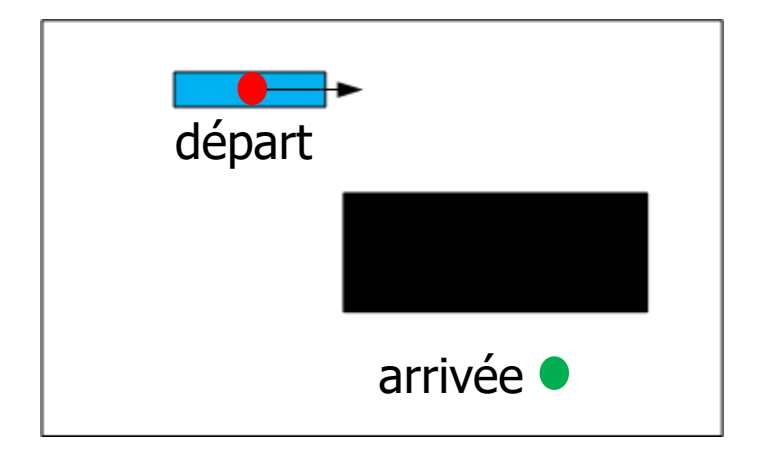
Somme de Minkowski

• Aucune garantie d'être complet si non-circulaire

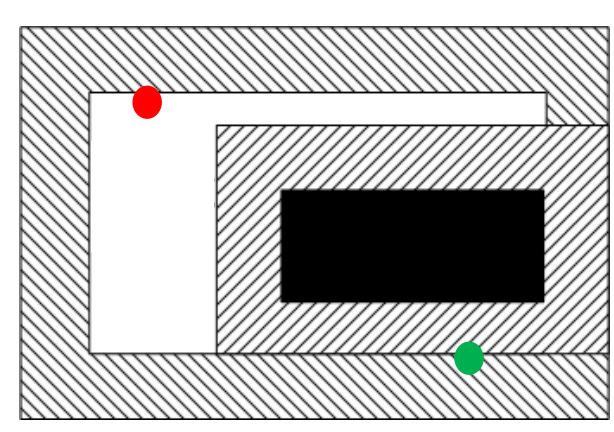




Somme de Minkowski



NON-COMPLET!





Minkowski: pas de solution

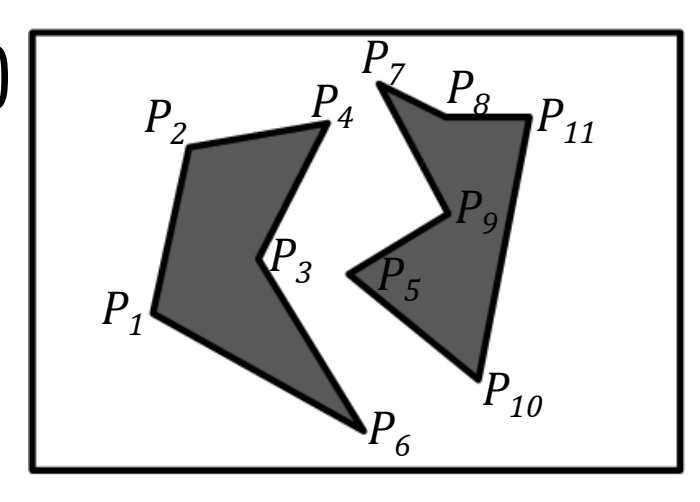
en 3 D: solution possible

Espace de configuration



GLO-4001/7021 Introduction à la robotique mobile

- Décomposer une carte 2D en trapèzes et triangles (éléments convexes),
- Pour chaque sommet P_i des obstacles:
 - étend ligne verticale en haut et en bas, jusqu'à un obstacle
- 4 cas possibles:
 - C1:(haut,bas)
 - C2:(haut),
 - C3:(bas),
 - C4:(aucun)

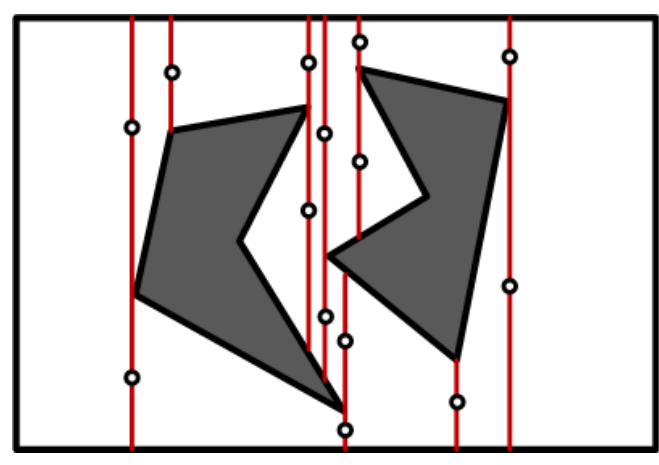


C1

Étape 1

—balayage—►

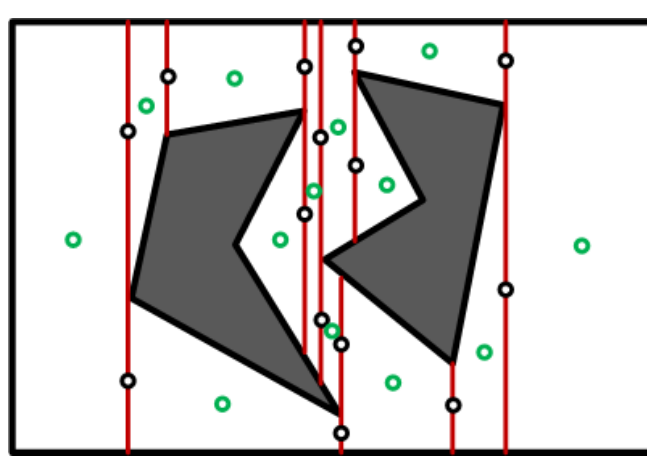




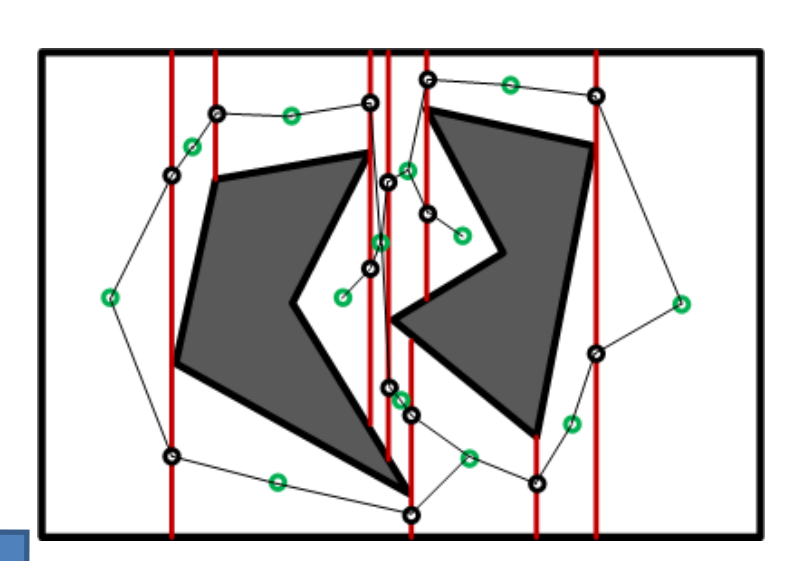
Étape 2: place 1 point au milieu frontière entre cellules

Créer une carte routière





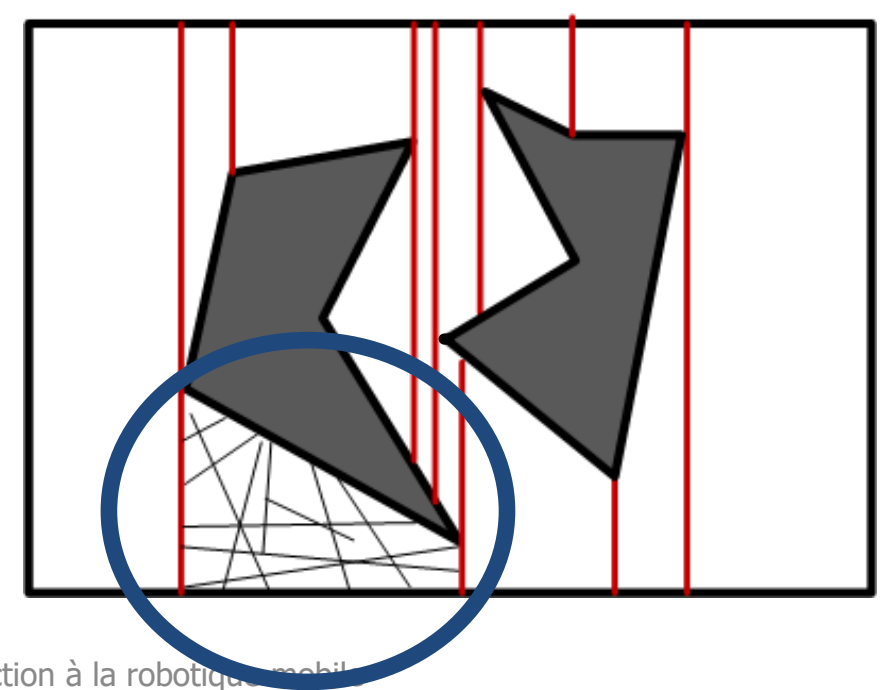
Étape 3: place 1 **point** au milieu de la cellules



Étape 4: relie les **centres** aux points frontières



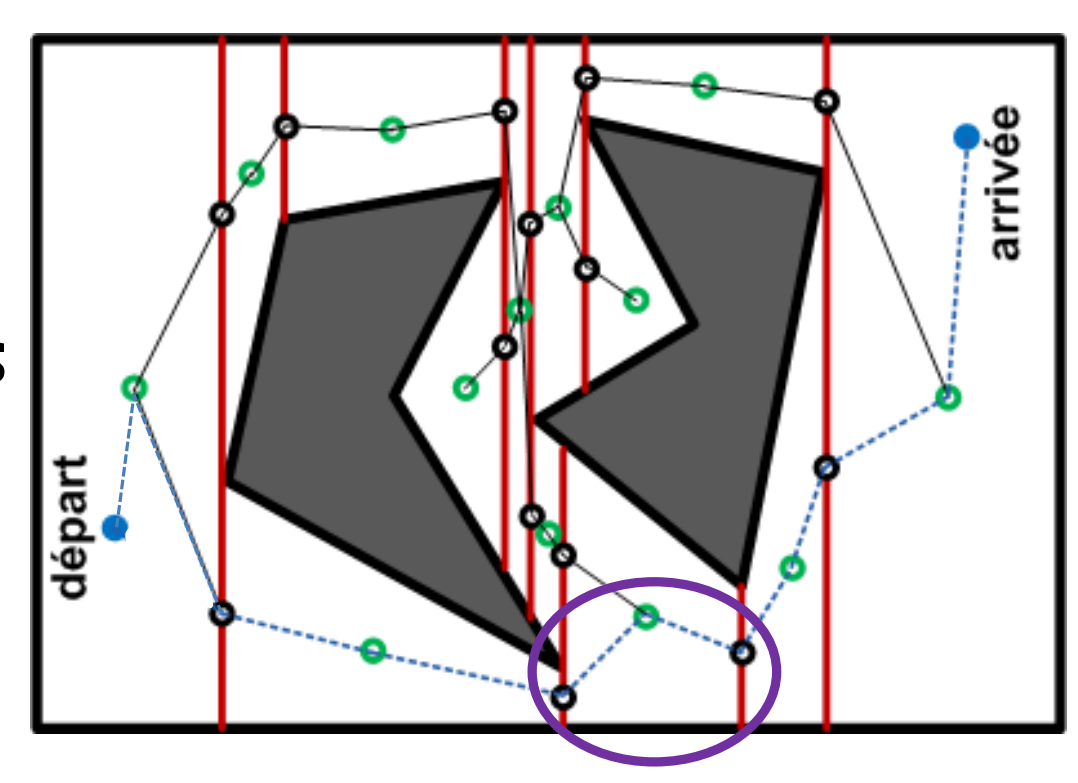
- Chaque cellule est <u>convexe</u>
 - ce qui veut dire que dans une cellule, on peut rejoindre n'importe quel autre point à l'intérieur, en ligne droite.





- Planification:
 recherche du chemin
 le plus court dans le
 graphe
- Donne des trajectoires qui sont en général loin des obstacles
- Création de la carte :
 complexité O(n log n)

approche roadmap



pas optimal en distance



Champs de potentiels

- Imaginez que :
 - robot est une particule +
 - obstacles sont aussi chargés + (répulsion)
 - but est chargé (attraction)

 Trajectoire est le chemin parcouru par la particule (robot) dans le champs de potentiel



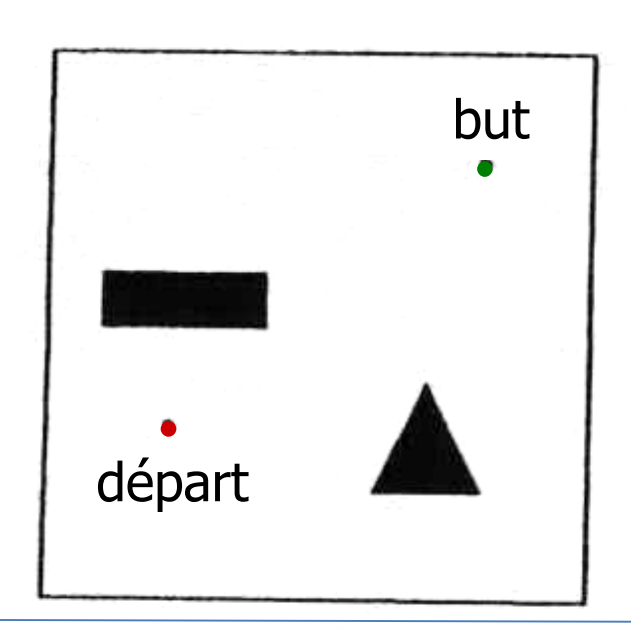
Champs de potentiels

Calcul des forces de répulsions et d'attraction

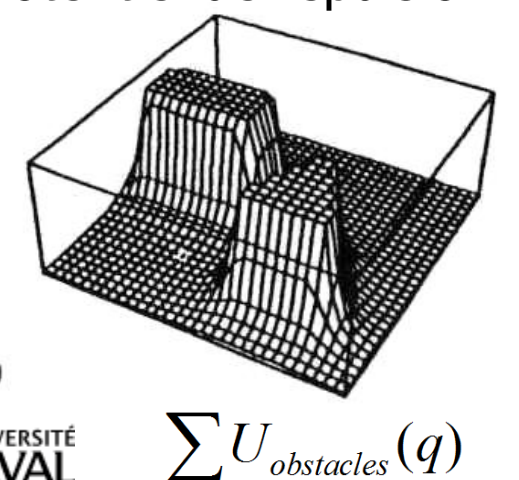
$$U(q) = U_{but}(q) + \sum U_{obstacles}(q)$$

$$F = -\nabla U(q) = \begin{bmatrix} \frac{\partial}{\partial x} U(q) \\ \frac{\partial}{\partial y} U(q) \end{bmatrix}$$

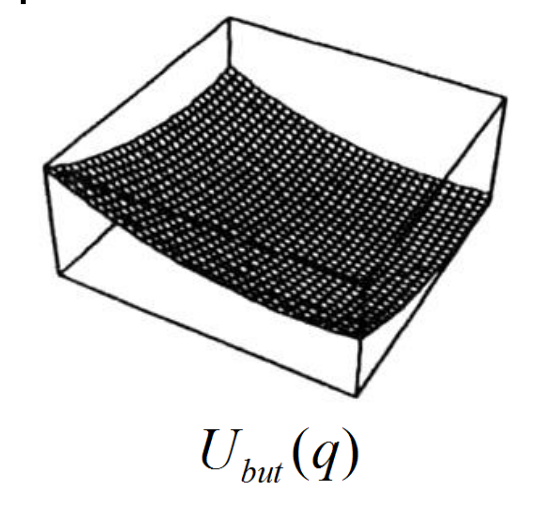
gradient ∇ indique la direction maximale de croissance d'un champ scalaire

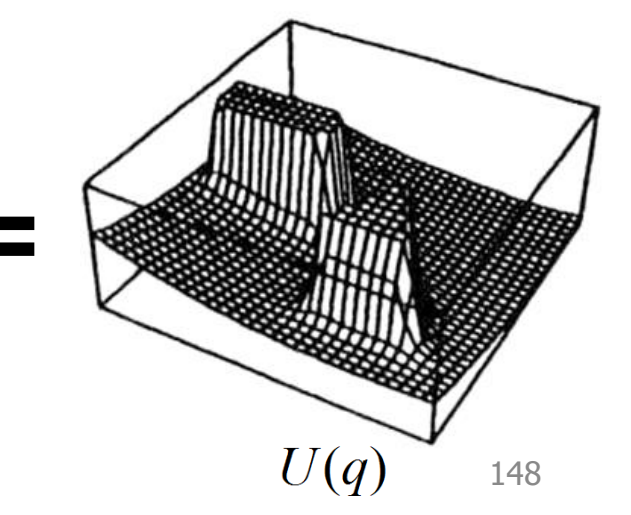






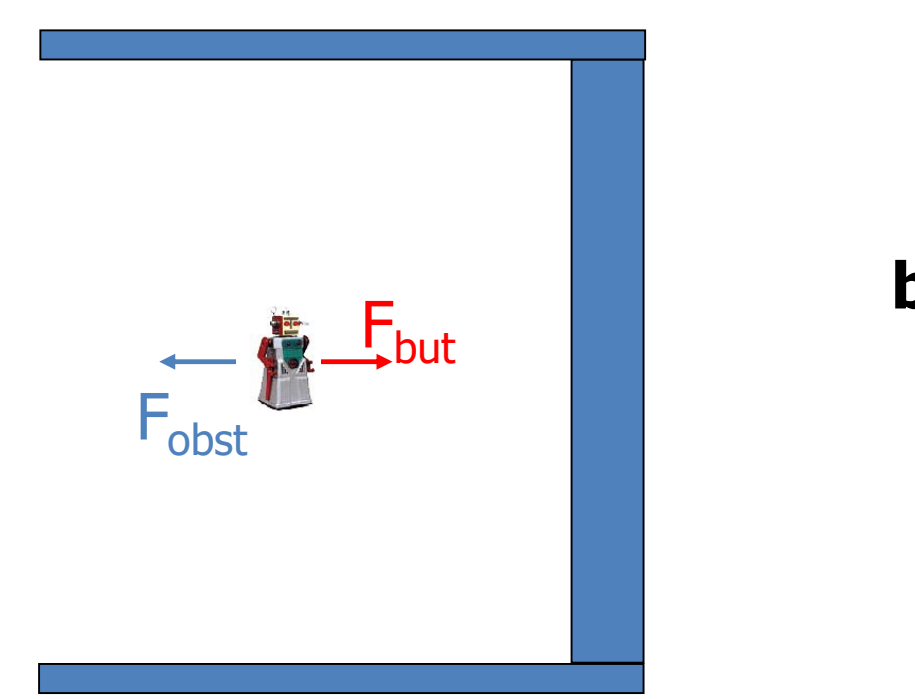
potentiel d'attraction

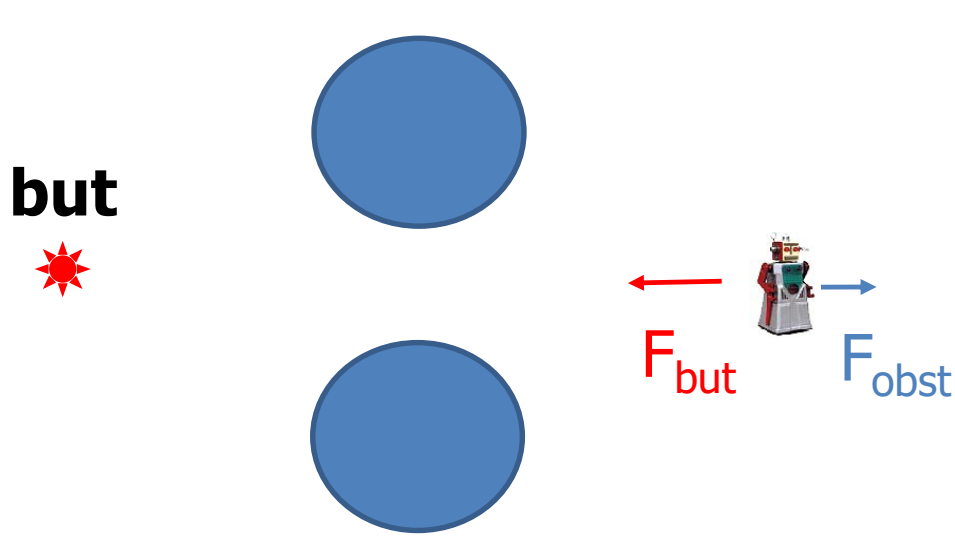




Champs de potentiels

• Tombé en partie en désuétude parce que sensible aux minimum locaux.







- Wavefront planner
- 0: non-visité 1: obstacle 2: indique le départ

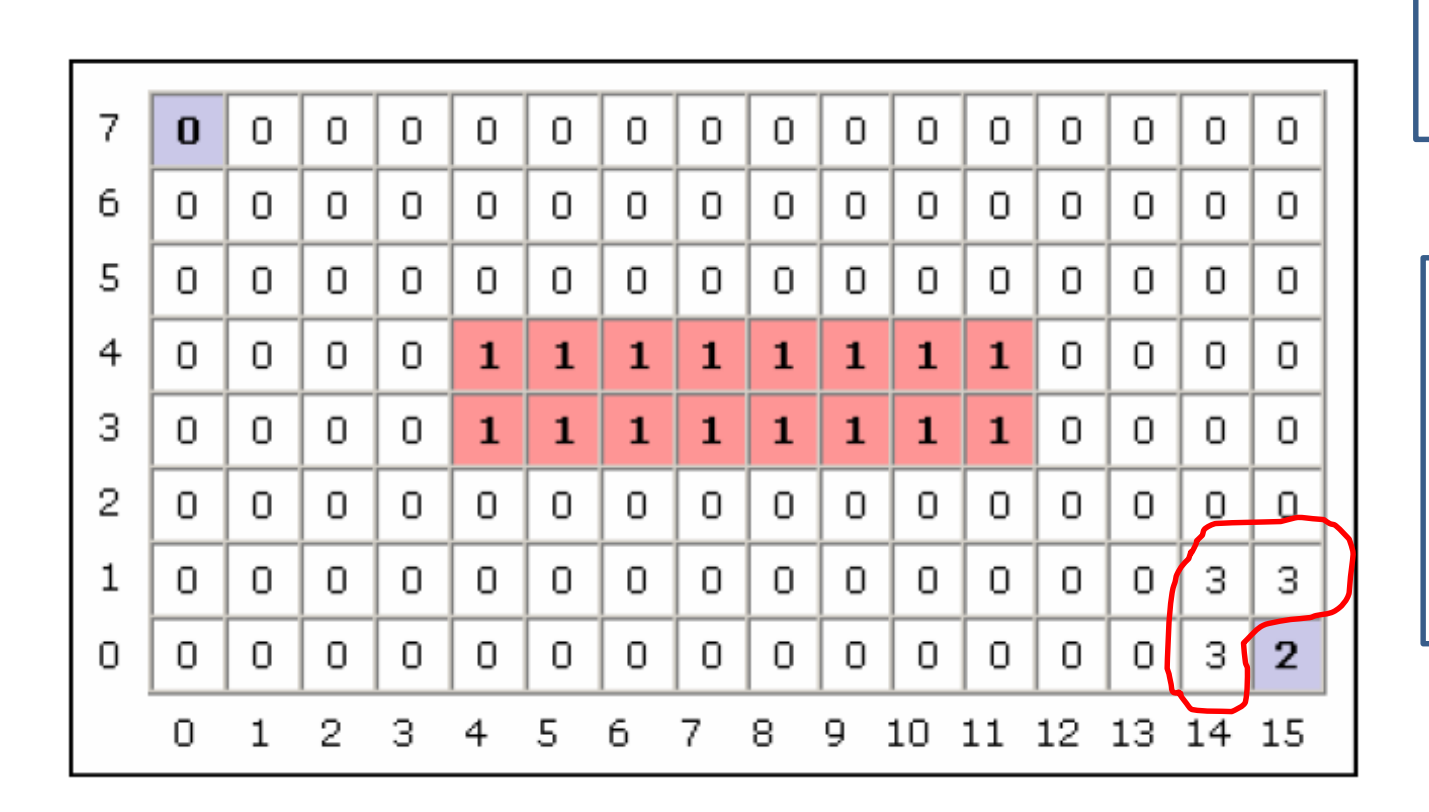
but

7	0	7	0	0	0	0	0	0	0	0	0	0	0	0	0	0	
6		0	0	0	0	0	0	0	0	0	0	0	0	0	0	0	
	-	_									-			-			
5	0	0	0	0	0	0	0	0	0	0	0	0	0	0	0	0	
4	0	0	0	0	1	1	1	1	1	1	1	1	0	0	0	0	
3	0	0	0	0	1	1	1	1	1	1	1	1	0	0	0	0	
2	0	0	0	0	0	0	0	0	0	0	0	0	0	0	0	0	
1	0	0	0	0	0	0	0	0	0	0	0	0	0	0	0		
0	0	0	0	0	0	0	0	0	0	0	0	0	0	0	Q	2	
	0	1	2	3	4	5	6	7	8	9	10	11	12	13	14	15	

départ



- Wavefront planner
- 0: non-visité 1: obstacle 2: indique le départ



connectivité Von Neumann

1

4 C 2

3

connectivité Moore

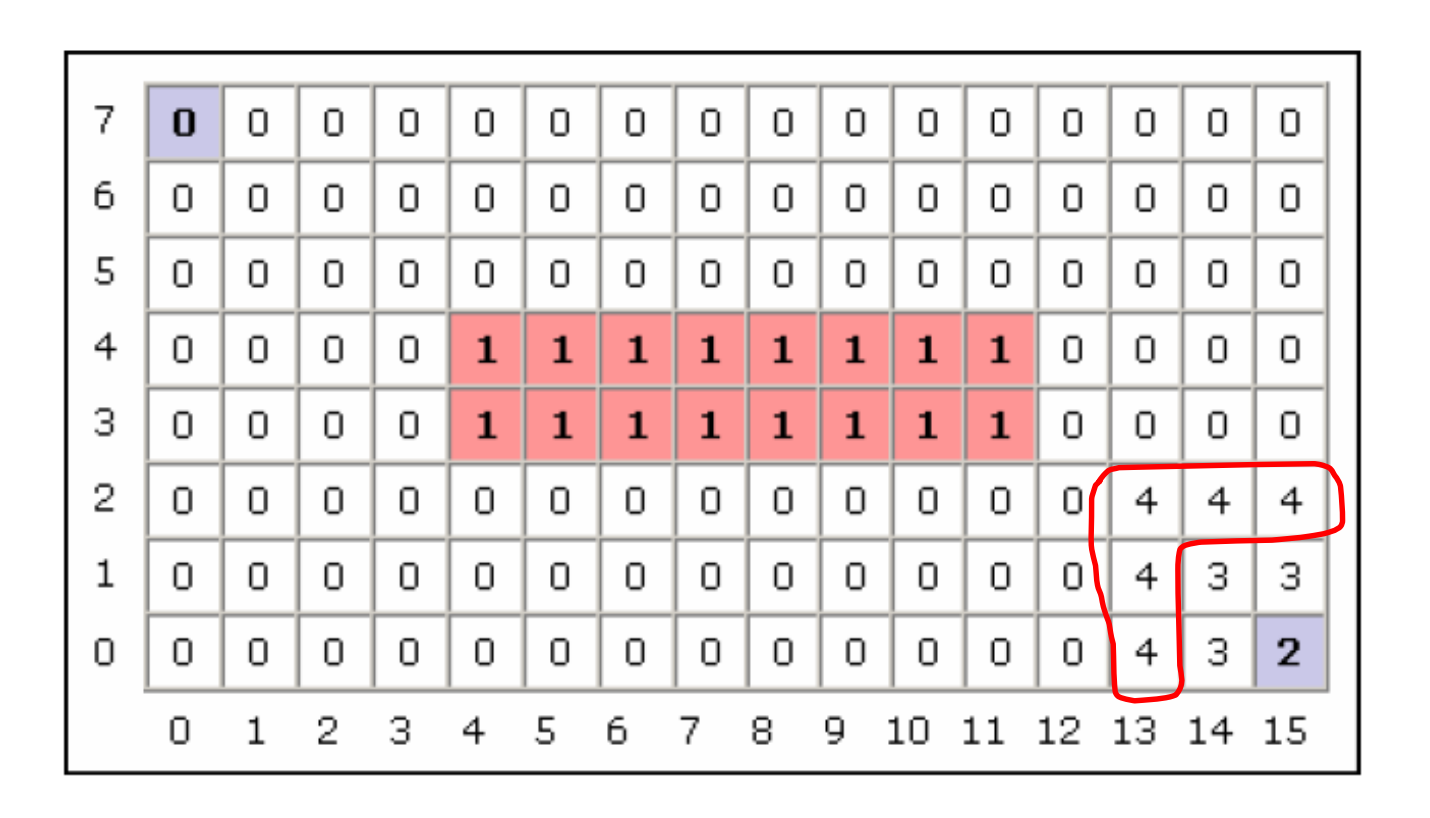
1 2 3

4 C 5

6 7 8

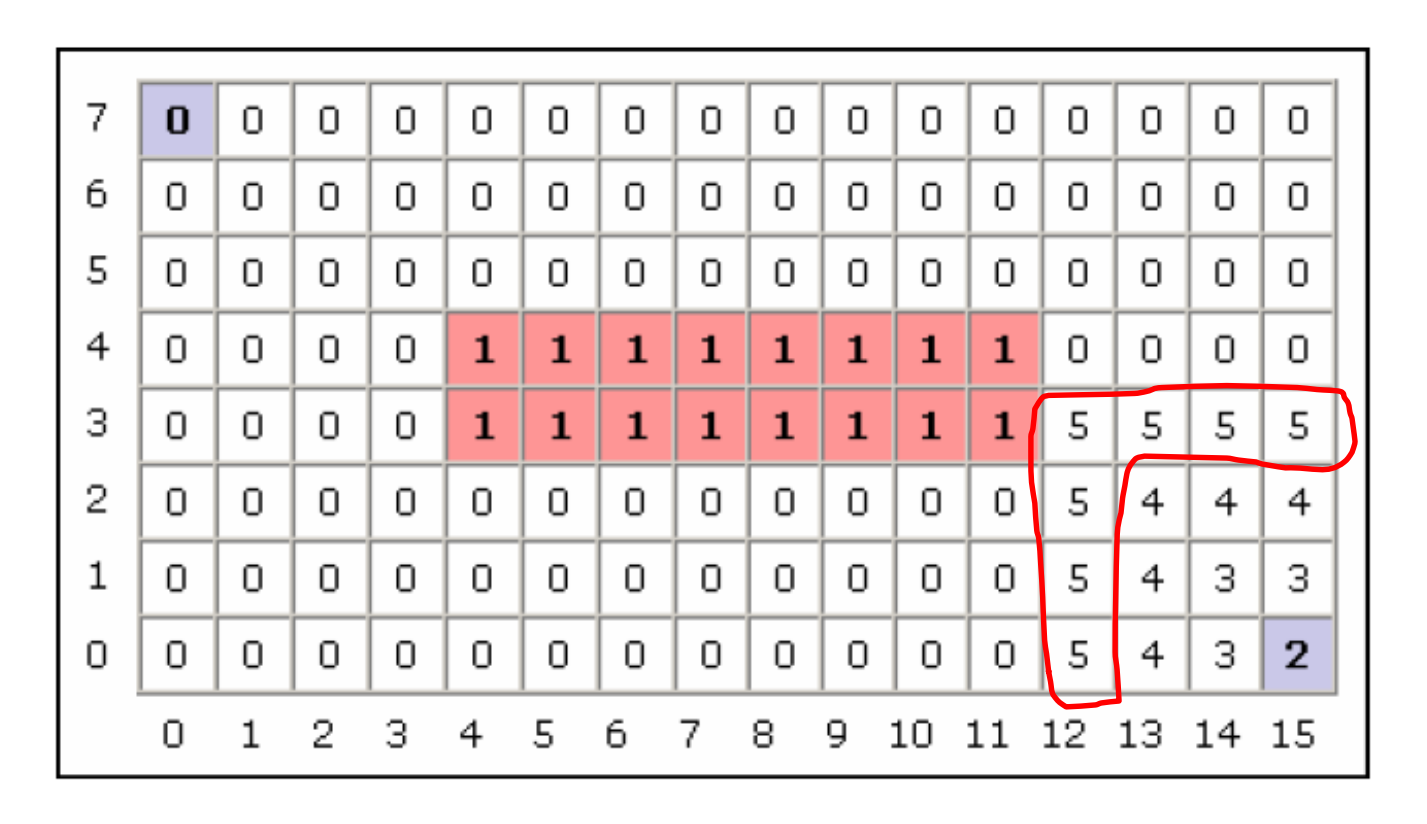


- Wavefront planner
- **0**: non-visité 1: obstacle 2: indique le départ





- Wavefront planner
- 0: non-visité 1: obstacle 2: indique le départ



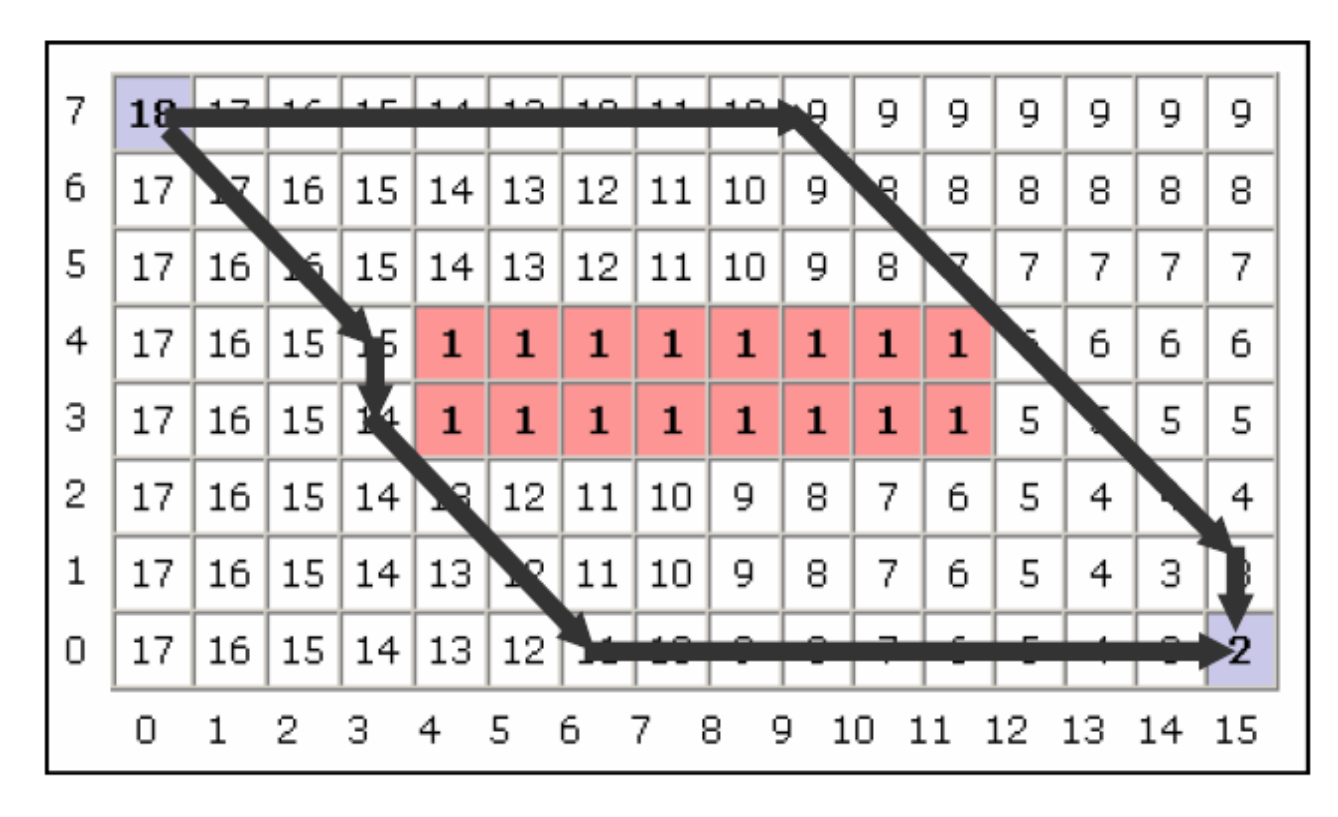


- Rempli jusqu'à plein
 - les 0 indiquent les endroits non-accessibles du point de départ.

																	_
7	18	17	16	15	14	13	12	11	10	9	9	9	9	9	9	9	
6	17	17	16	15	14	13	12	11	10	9	8	8	8	8	8	8	
5	17	16	16	15	14	13	12	11	10	9	8	7	7	7	7	7	
4	17	16	15	15	1	1	1	1	1	1	1	1	6	6	6	6	
3	17	16	15	14	1	1	1	1	1	1	1	1	5	5	5	5	
2	17	16	15	14	13	12	11	10	9	8	7	6	5	4	4	4	
1	17	16	15	14	13	12	11	10	9	8	7	6	5	4	3	3	
0	17	16	15	14	13	12	11	10	9	8	7	6	5	4	3	2	
	0	1	2	3	4	5	6	7 8	3 9	9 1	0 1	.1 1	12	13	14	15	



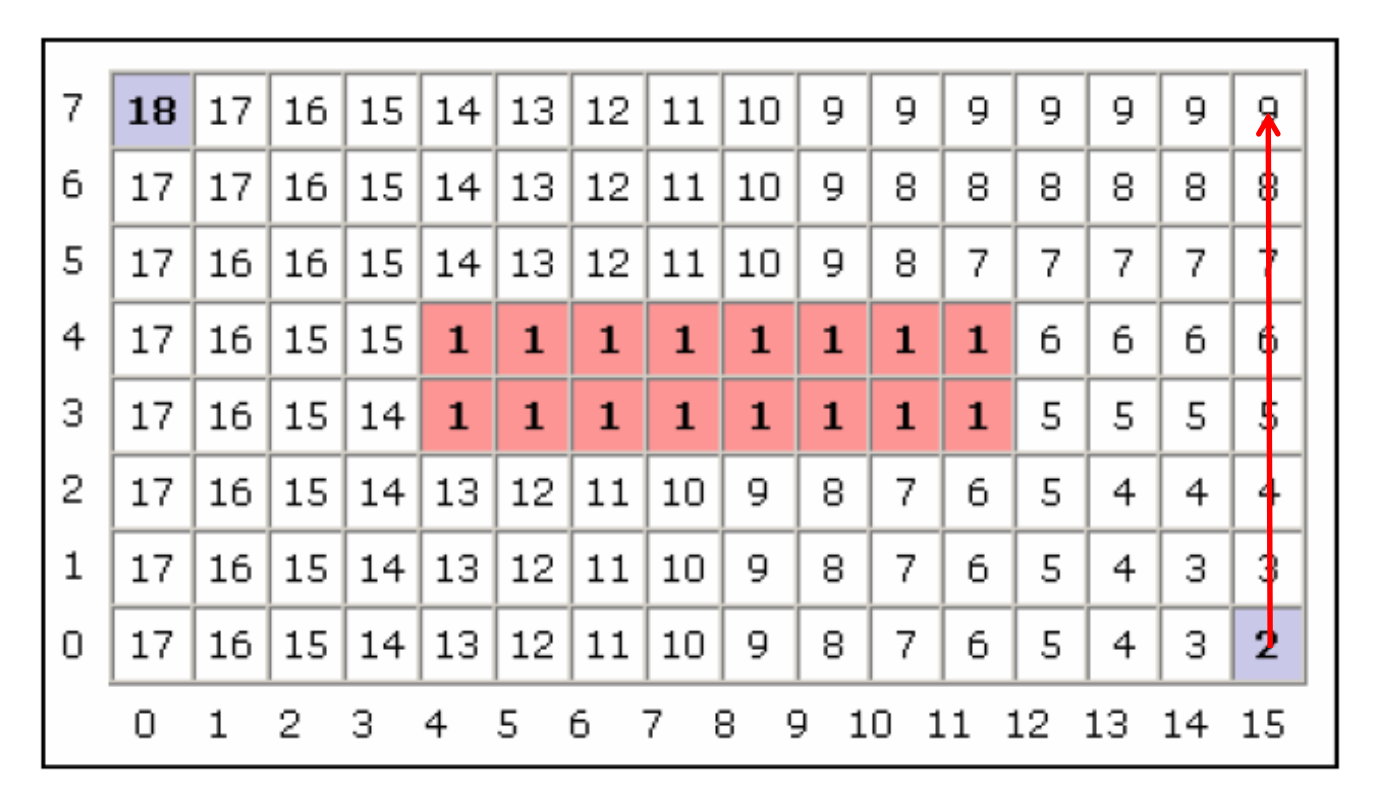
 La trajectoire consiste à partir du but de choisir de façon vorace les cases les plus petites.



2 des nombreuses trajectoires possibles



 Si vous faites le choix vorace des nœuds à partir du départ 8, vous n'aurez pas nécessairement un chemin le plus court



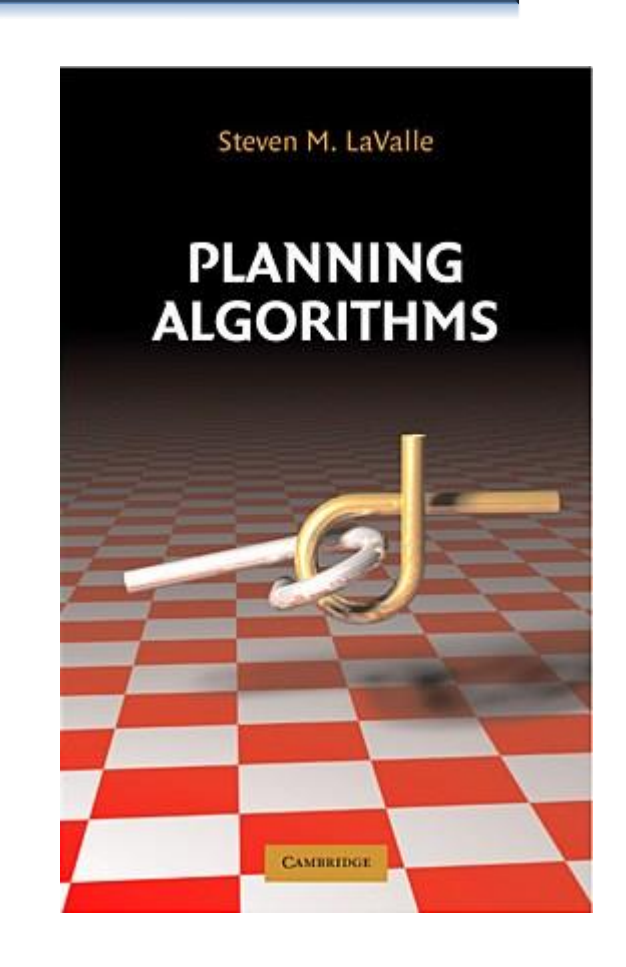


Méthodes probabilistes

- Basée sur l'échantillonnage au hasard de configurations dans C_{libre} .
- Besoin d'une fonction de détection de collision
 - plus besoin de calculer le C_{libre} au complet
 - fonction très optimisée
- Approches
 - Requête simple :RRT-Connect
 - basée sur les Rapidely-exploring Random Trees (RRT)
 - Requête multiple : Probabilistic Road Maps (RPM)



- Pour recherche exploratoire dans des espaces à haute dimensionnalité
- Développé par Steven M. LaValle et James Kuffner
- Construire un arbre de façon incrémentale, pour minimiser la distance entre un point choisis au hasard et l'arbre



http://planning.cs.uiuc.edu/



```
\label{eq:fork} \begin{aligned} & \textbf{for} \ k = 1 \ \textbf{to} \ K \\ & \textbf{q}_{rand} \leftarrow \text{RAND\_CONF()} \\ & \textbf{q}_{near} \leftarrow \text{NEAREST\_VERTEX(}\textbf{q}_{rand}\textbf{,} \ G) \\ & \textbf{q}_{new} \leftarrow \text{NEW\_CONF(}\textbf{q}_{near}\textbf{,} \ \Delta\textbf{q}) \\ & \textbf{G.add\_vertex(}\textbf{q}_{new}\textbf{)} \\ & \textbf{G.add\_edge(}\textbf{q}_{near}\textbf{,} \ \textbf{q}_{new}\textbf{)} \\ & \textbf{end} \end{aligned}
```

K: nombre d'itérations

G : graphe de l'arbre

arbre au départ (1 seul sommet)



```
for k = 1 to K

Q<sub>rand</sub> ← RAND_CONF()
Q<sub>near</sub> ← NEAREST_VERTEX(Q<sub>rand</sub>, G)
Q<sub>new</sub> ← NEW_CONF(Q<sub>near</sub>, Δq)
G.add_vertex(Q<sub>new</sub>)
G.add_edge(Q<sub>near</sub>, Q<sub>new</sub>)
end
```

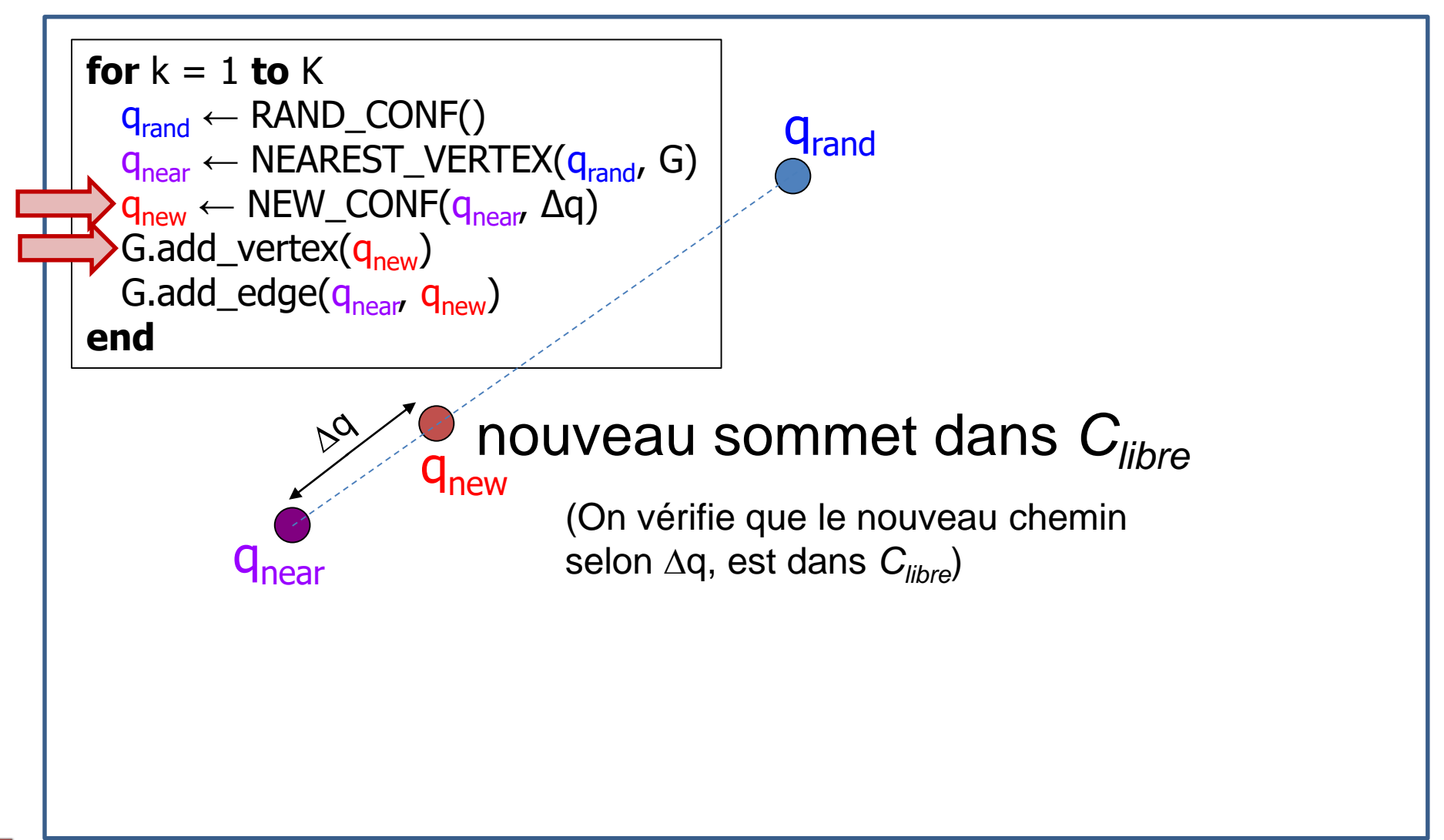
q_{rand}sommet tiré au hasard



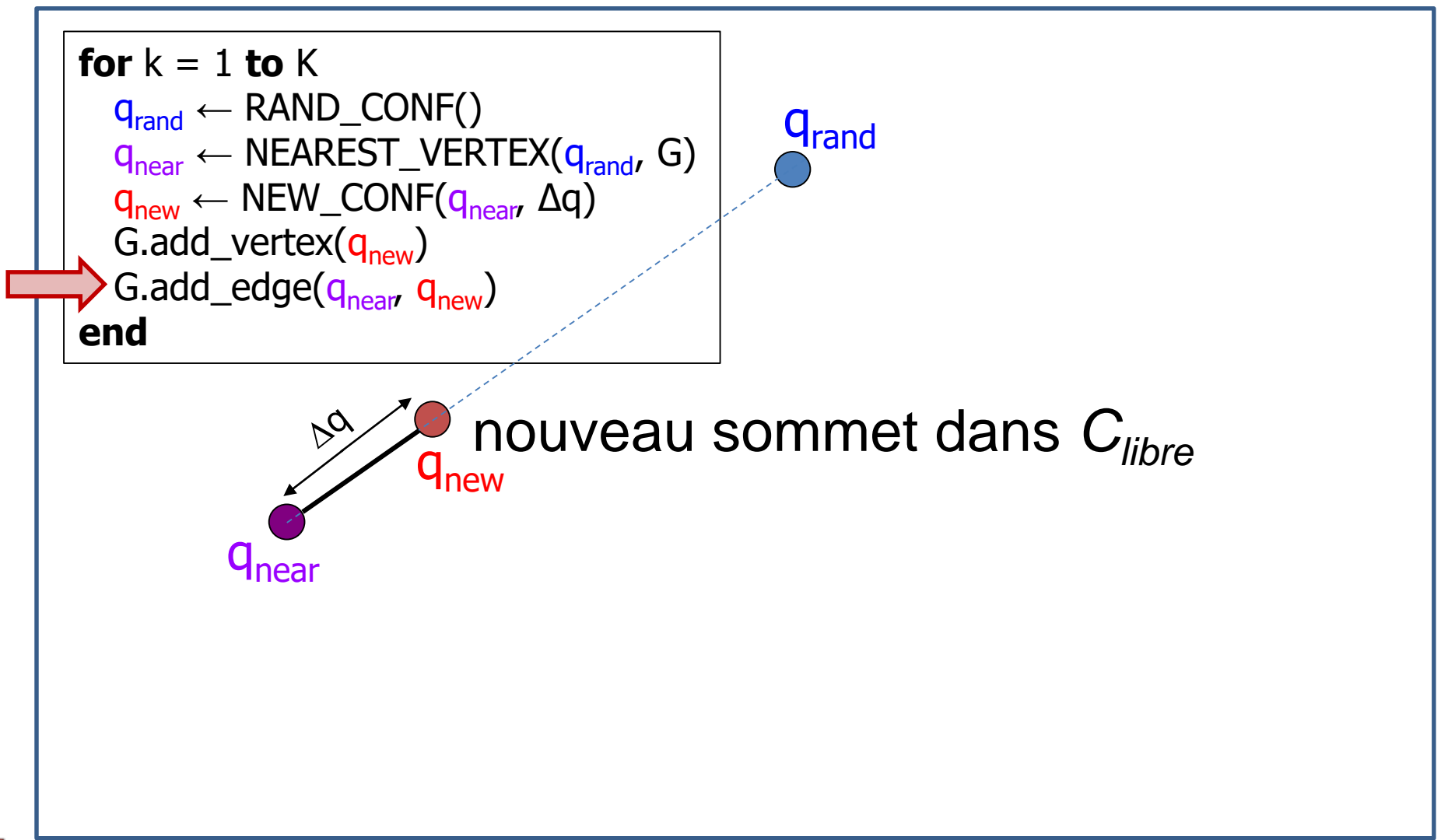
qrand

q_{near} sommet le plus proche de l'arbre G

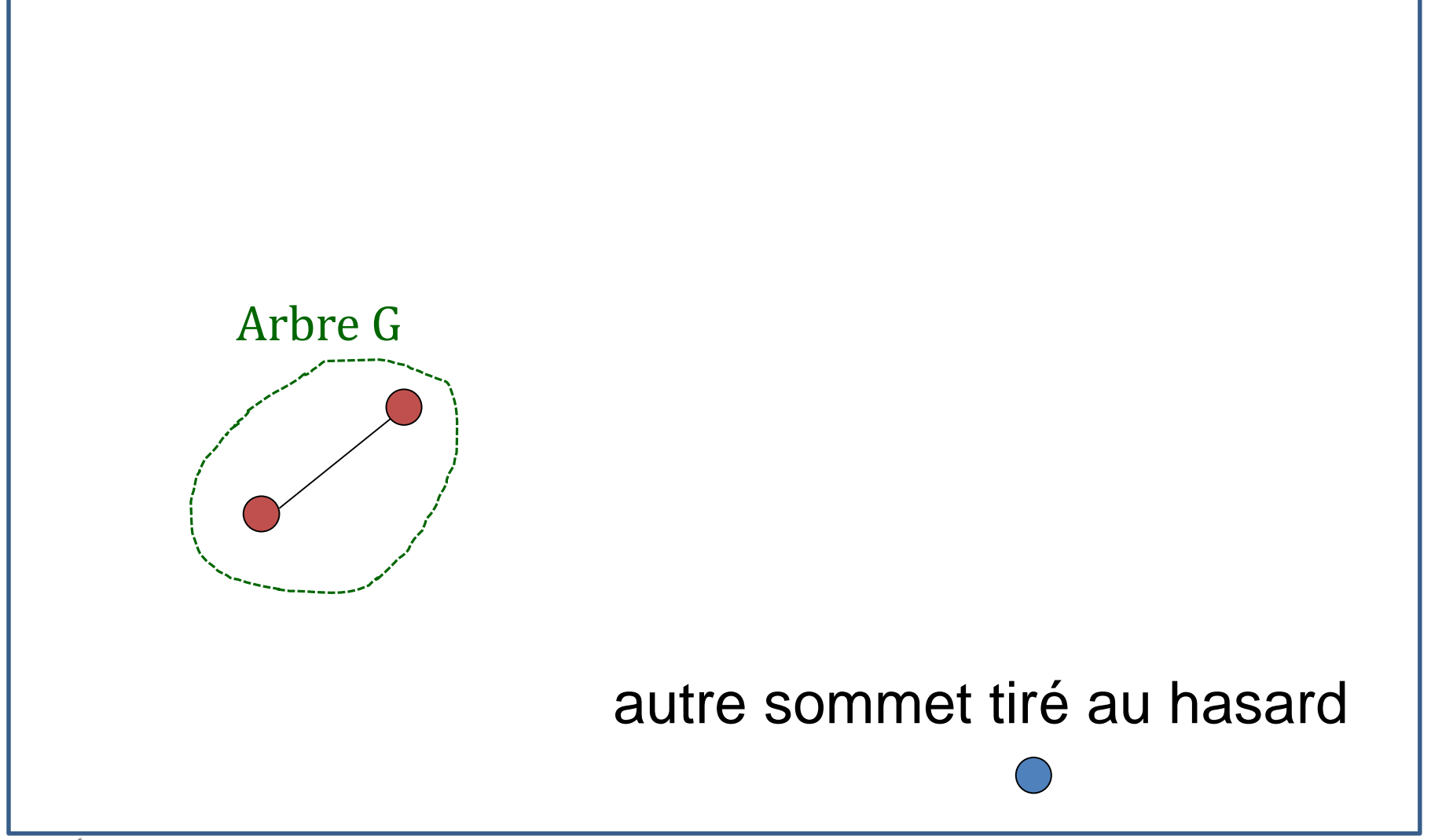




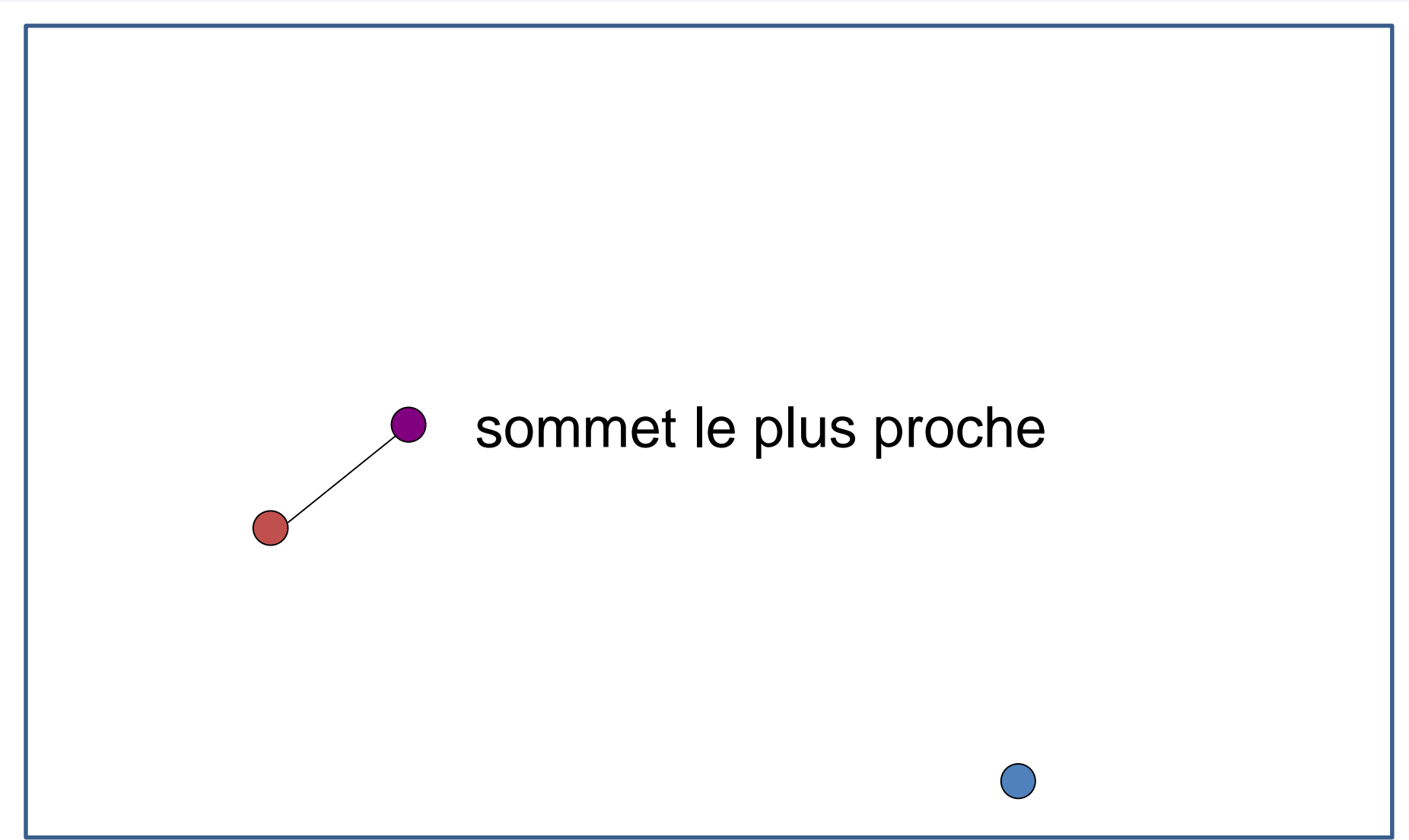




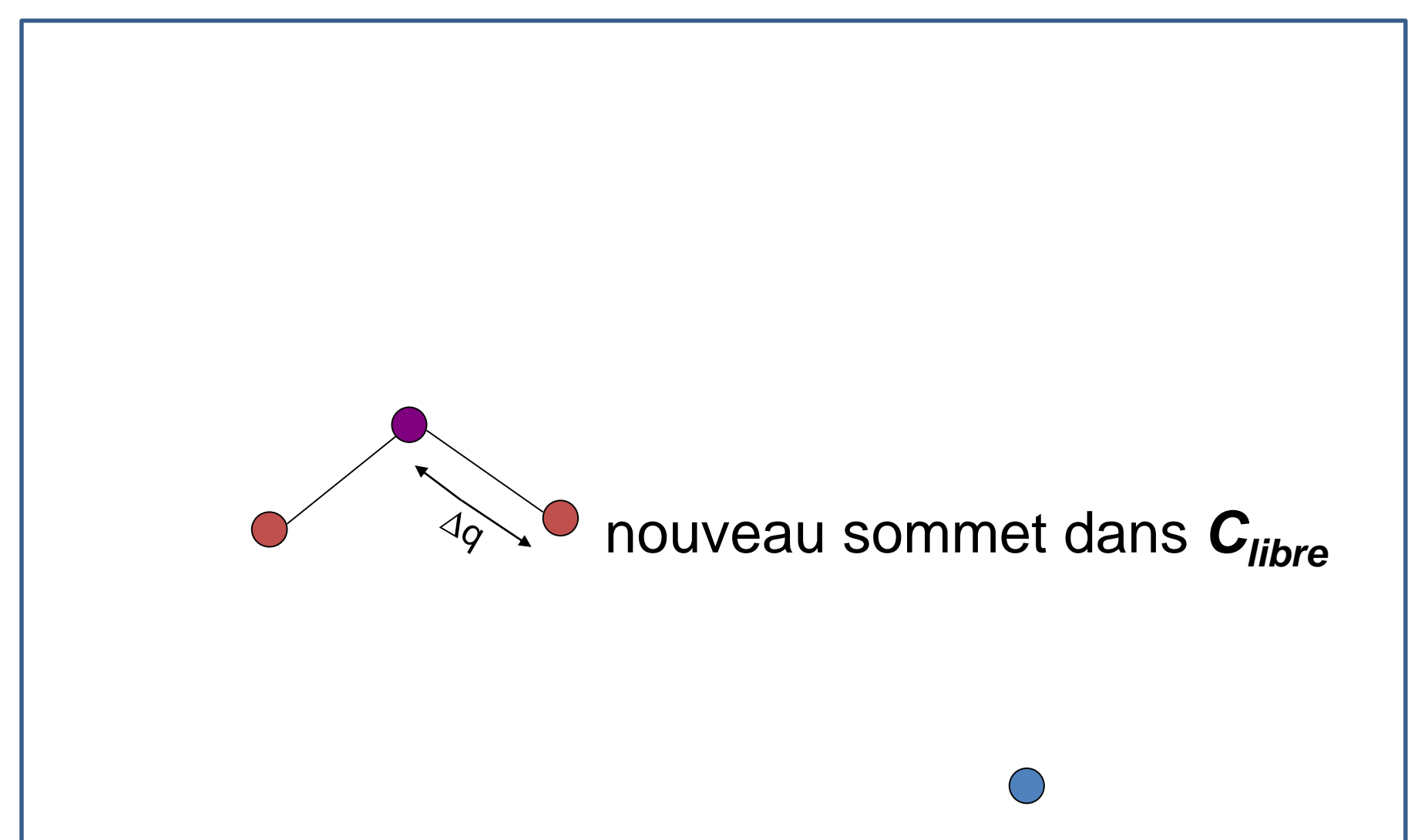




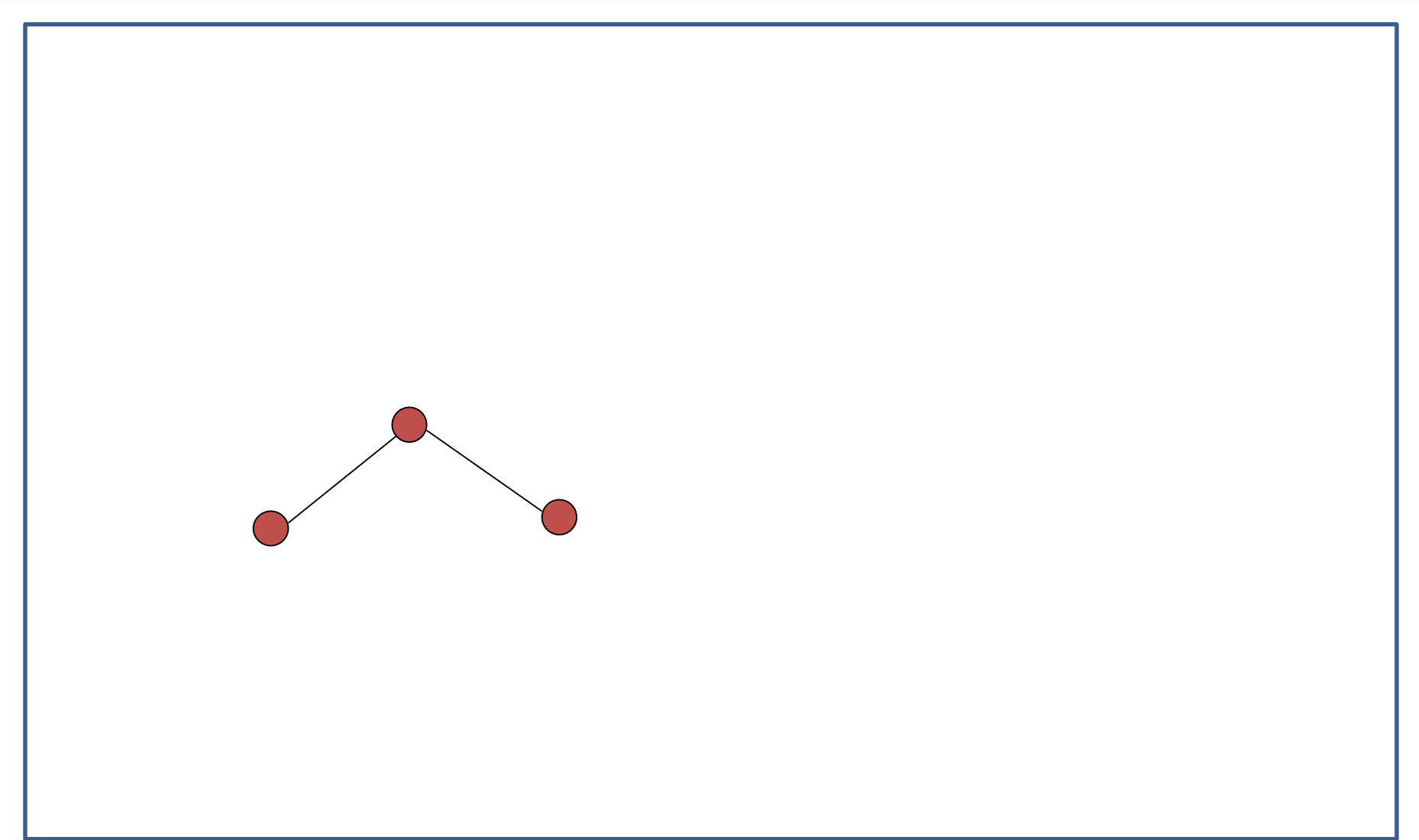




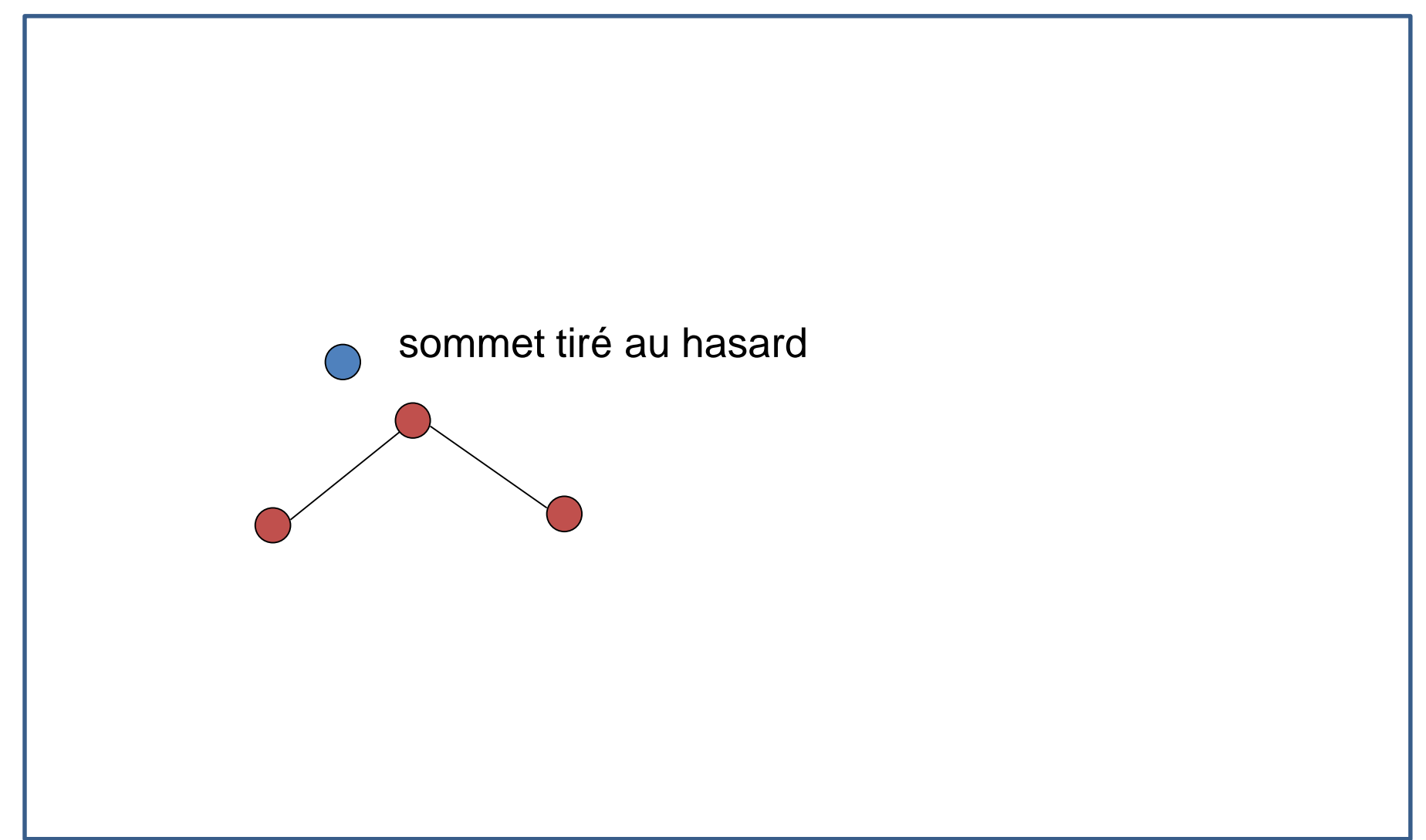




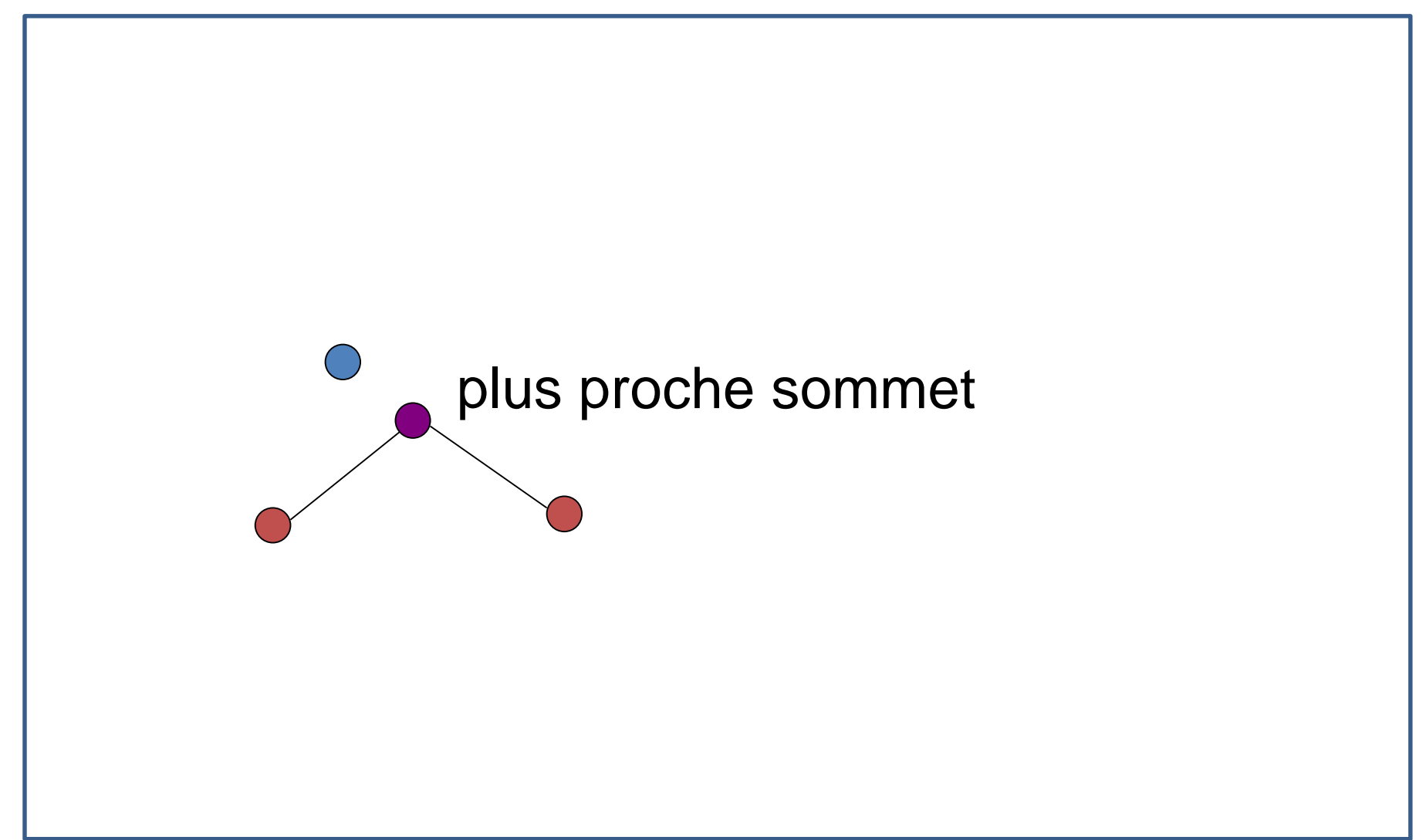




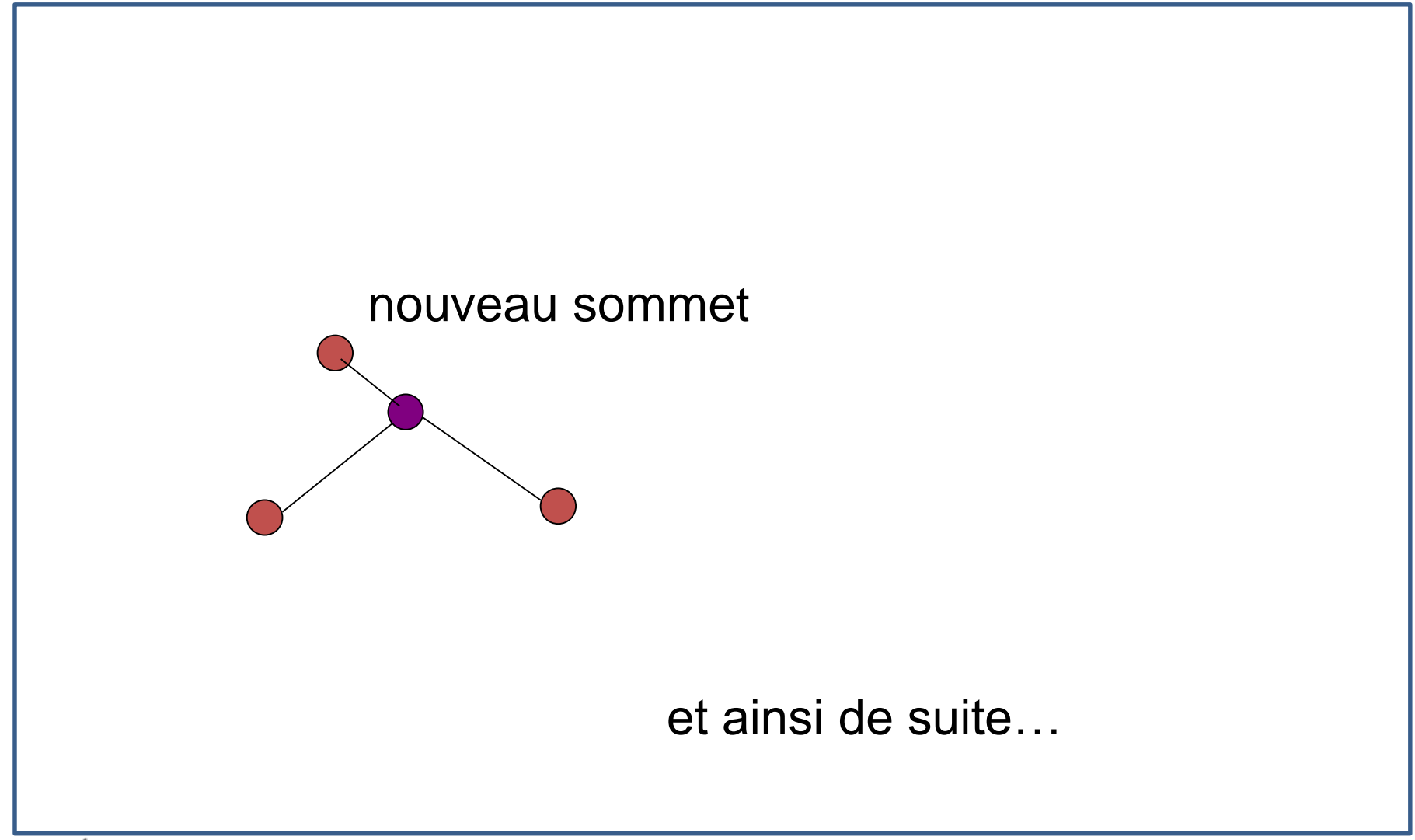






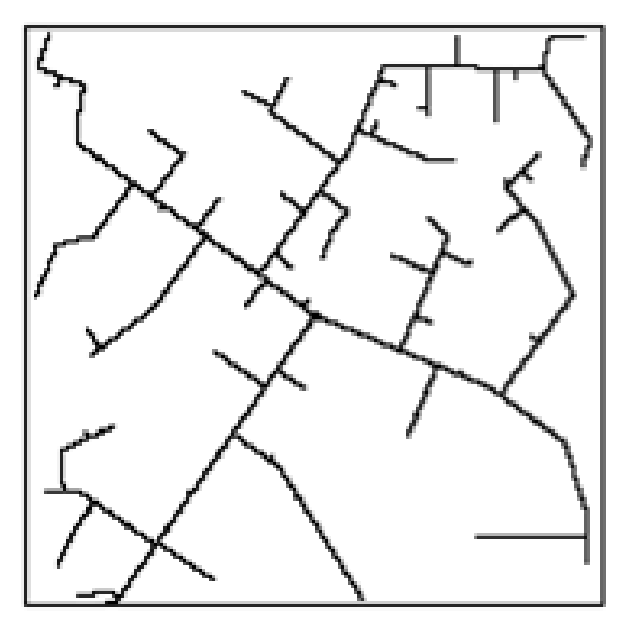




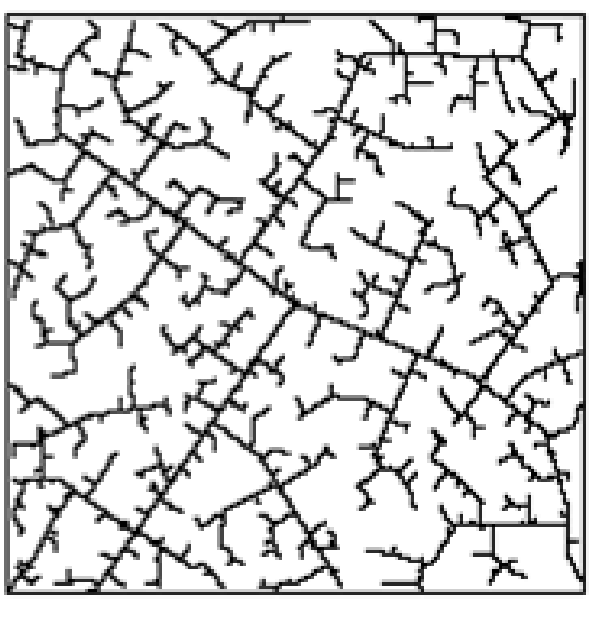




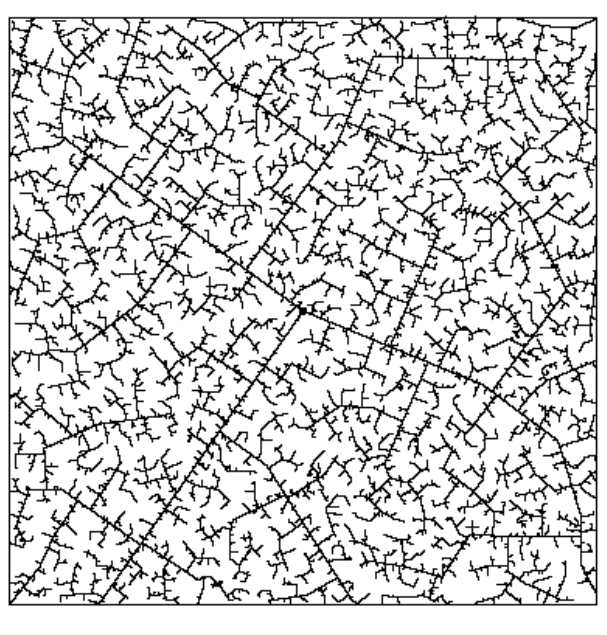
Tend à bien remplir l'espace vide



45 itérations



390 itérations



2345 itérations



RRT-Connect

 Croître deux arbres, l'un partant de la configuration de départ et l'autre d'arrivée

• À chaque tirage, on essaie de connecter un des arbres avec l'autre, de façon vorace



Départ

Phase croissance de l'arbre

Arrivée



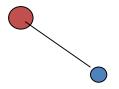
Phase croissance de l'arbre

sommet tiré au hasard





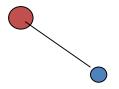






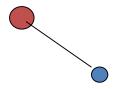
On essaie maintenant de connecter l'arbre du bas vers l'arbre du haut, de façon vorace (greedy)

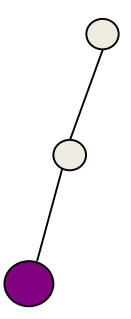




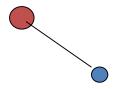


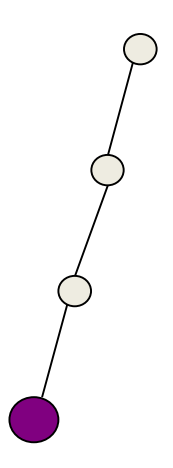




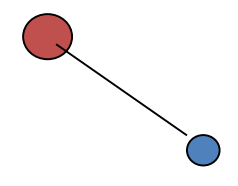






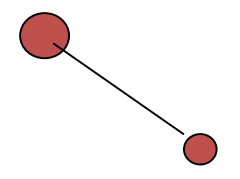


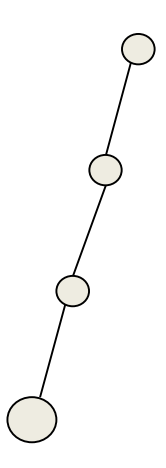




Obstacle trouvé!

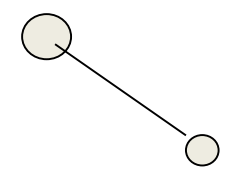


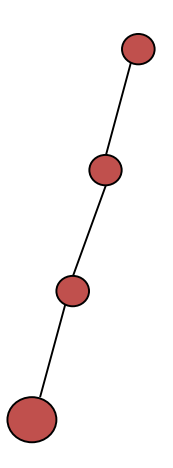




On inverse les rôles!

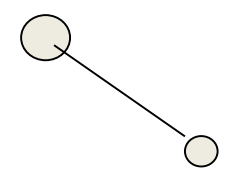


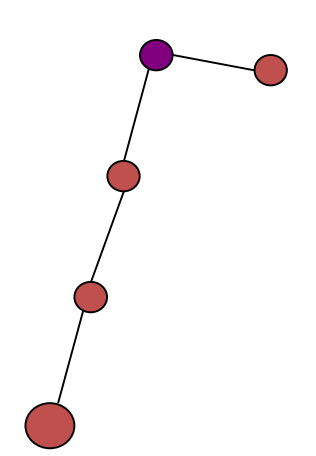




On inverse les rôles!







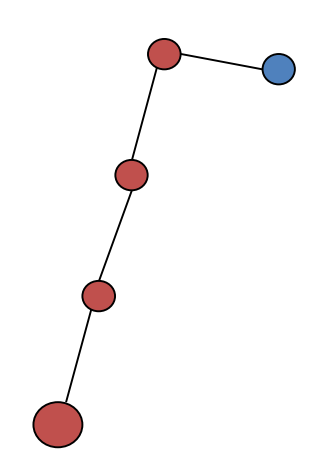


on tire un point au hasard, ajoute un sommet à l'arbre du bas

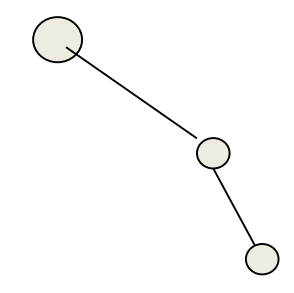


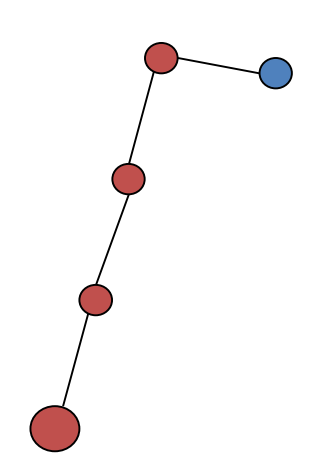


Et de façon vorace on croît l'arbre du haut

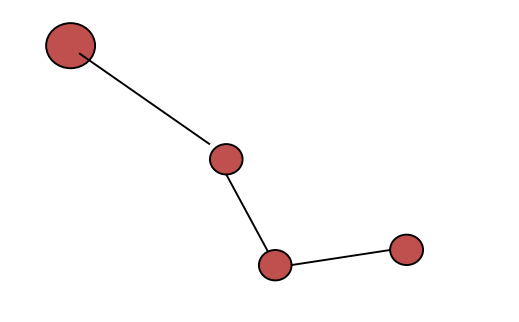




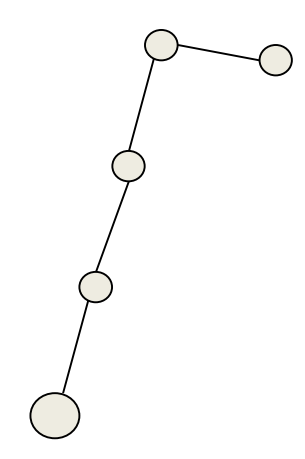




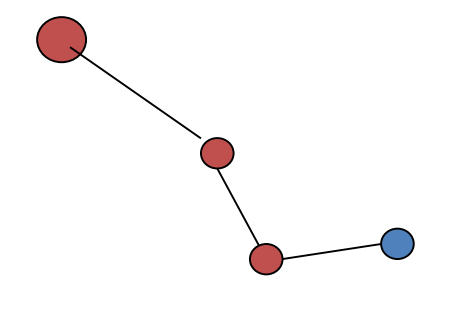


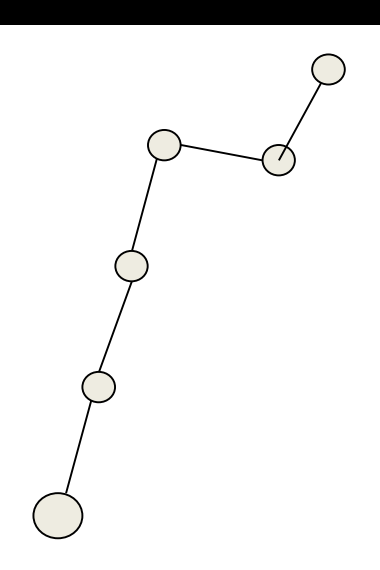




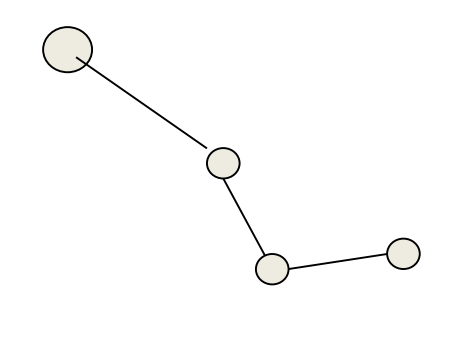


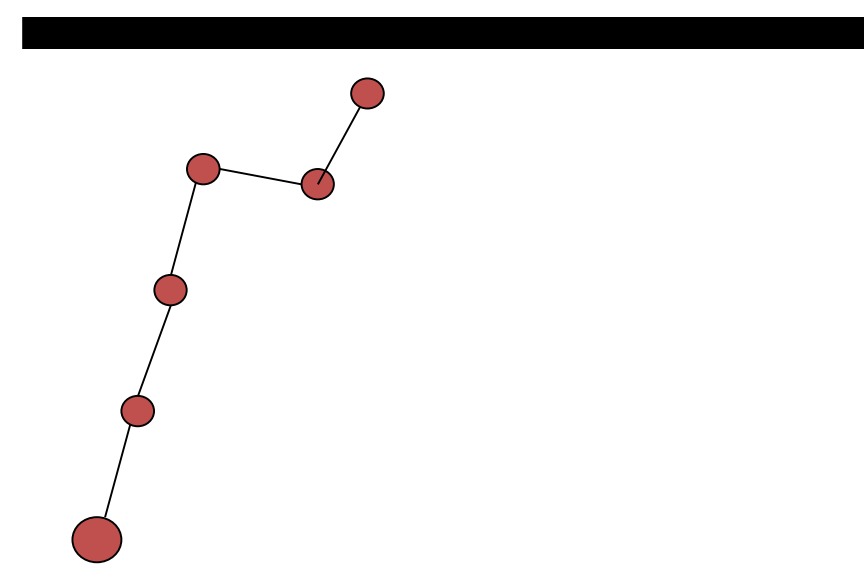




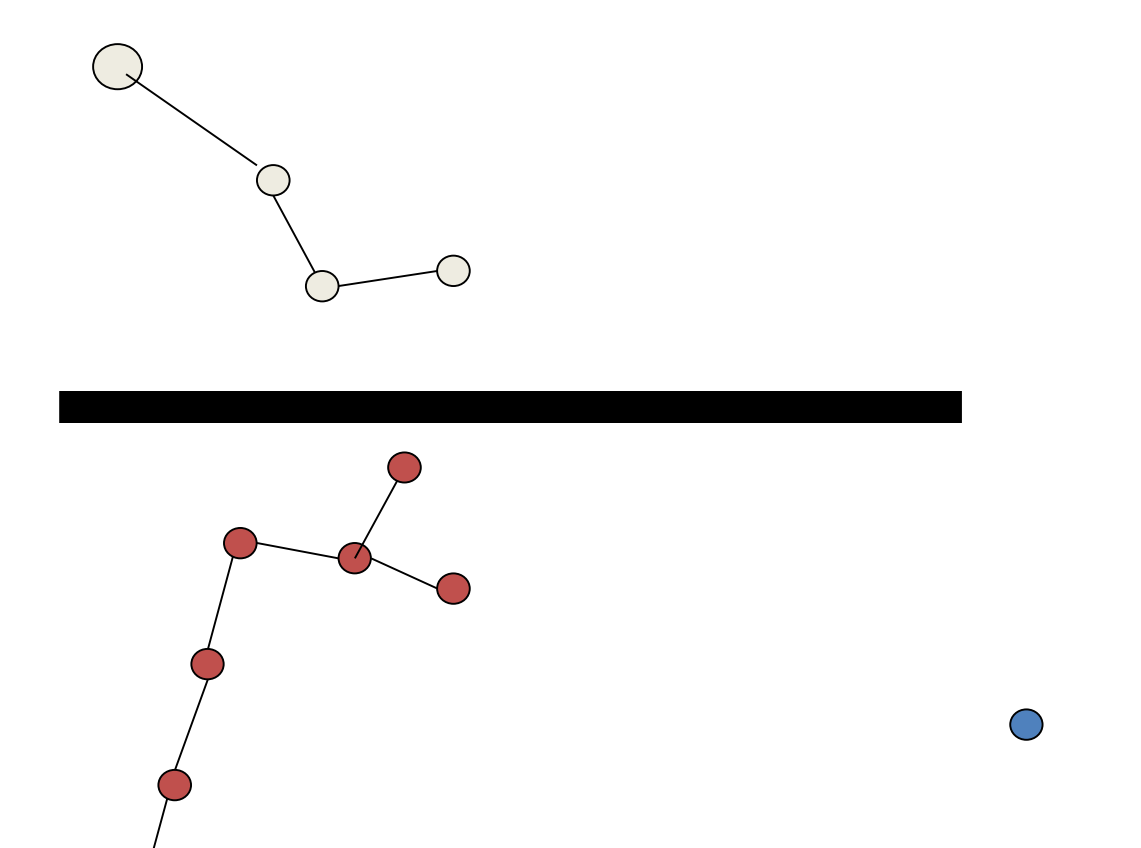




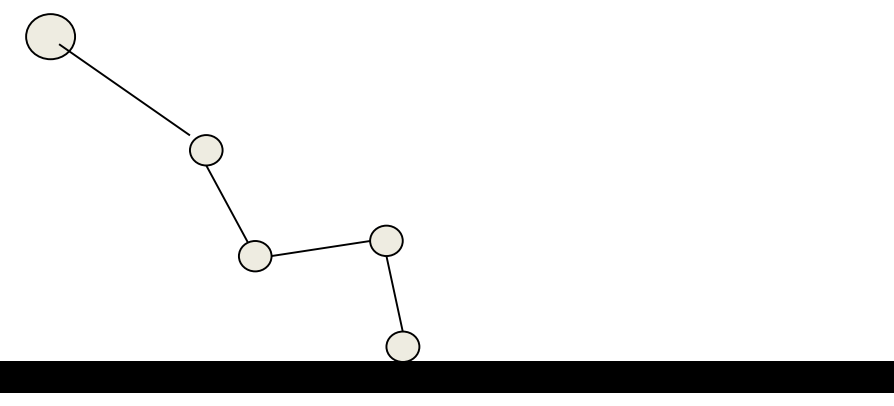


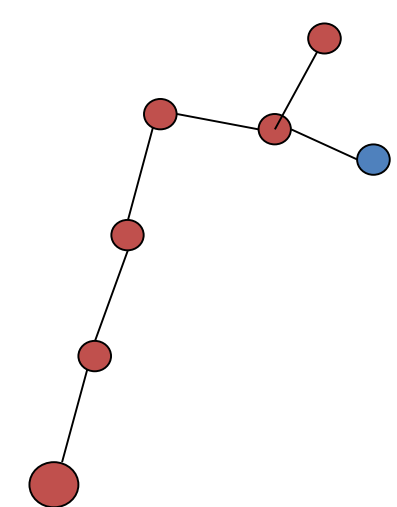




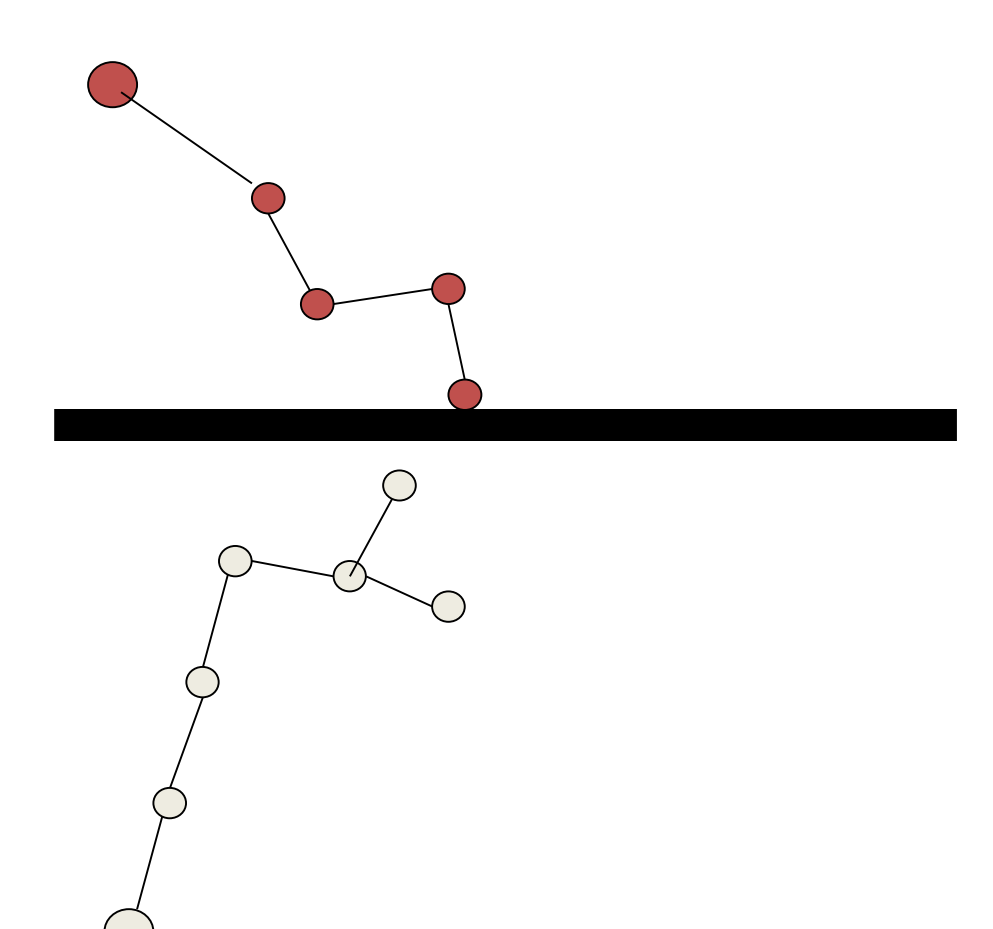




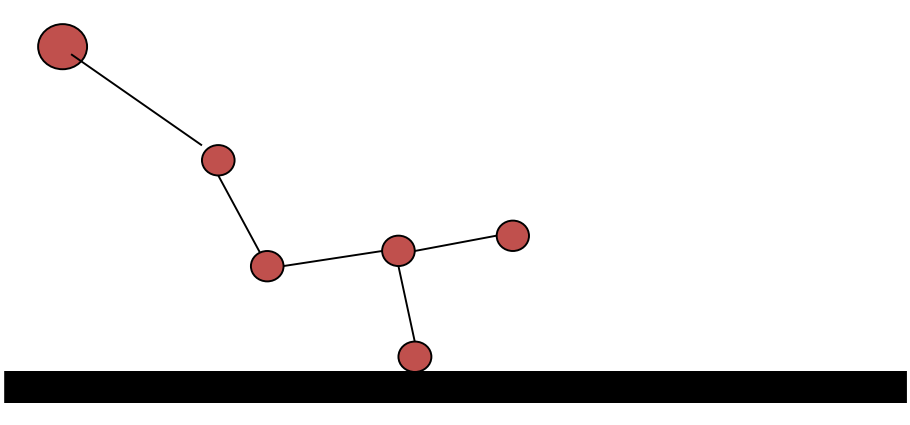


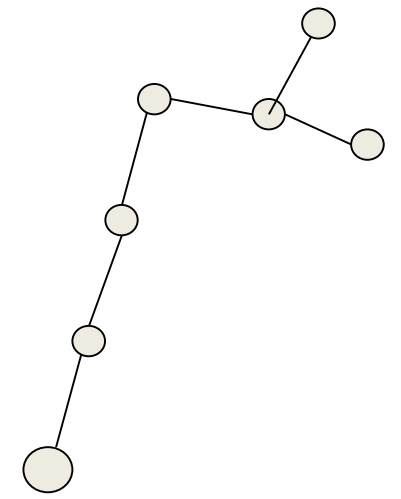






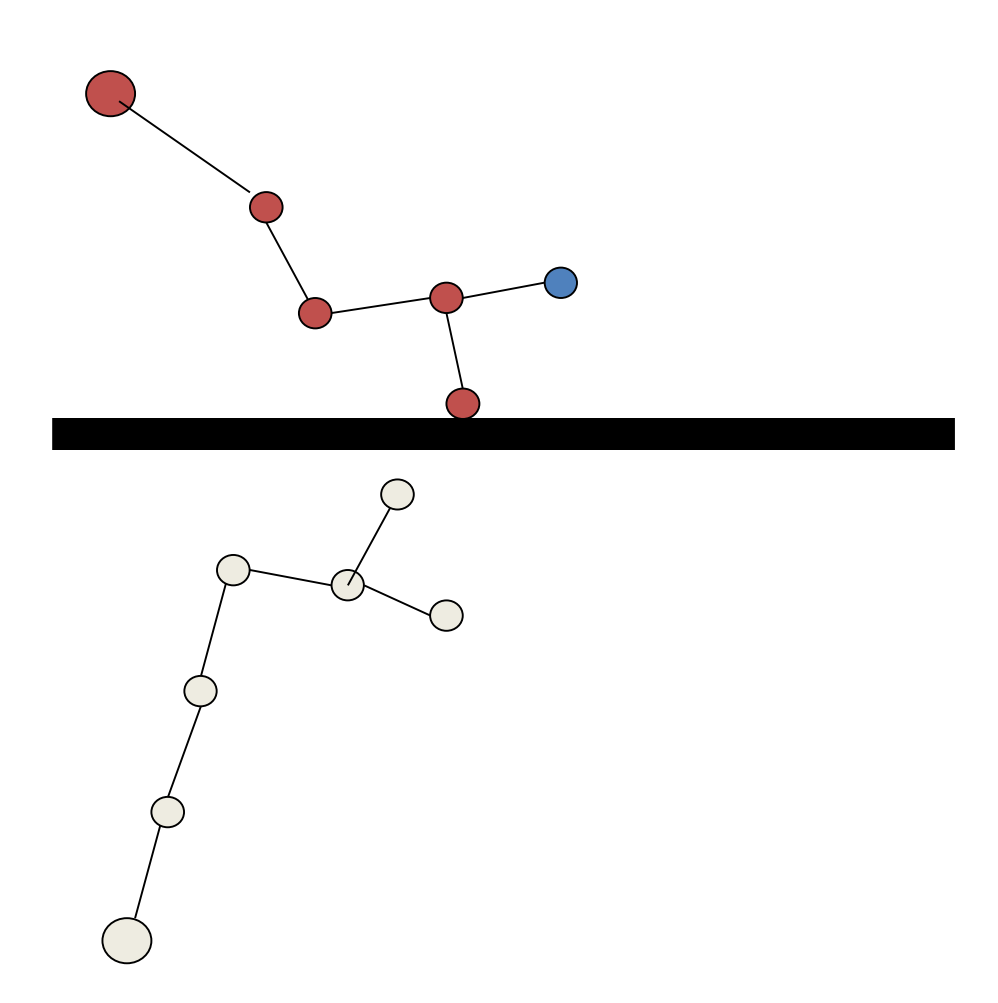




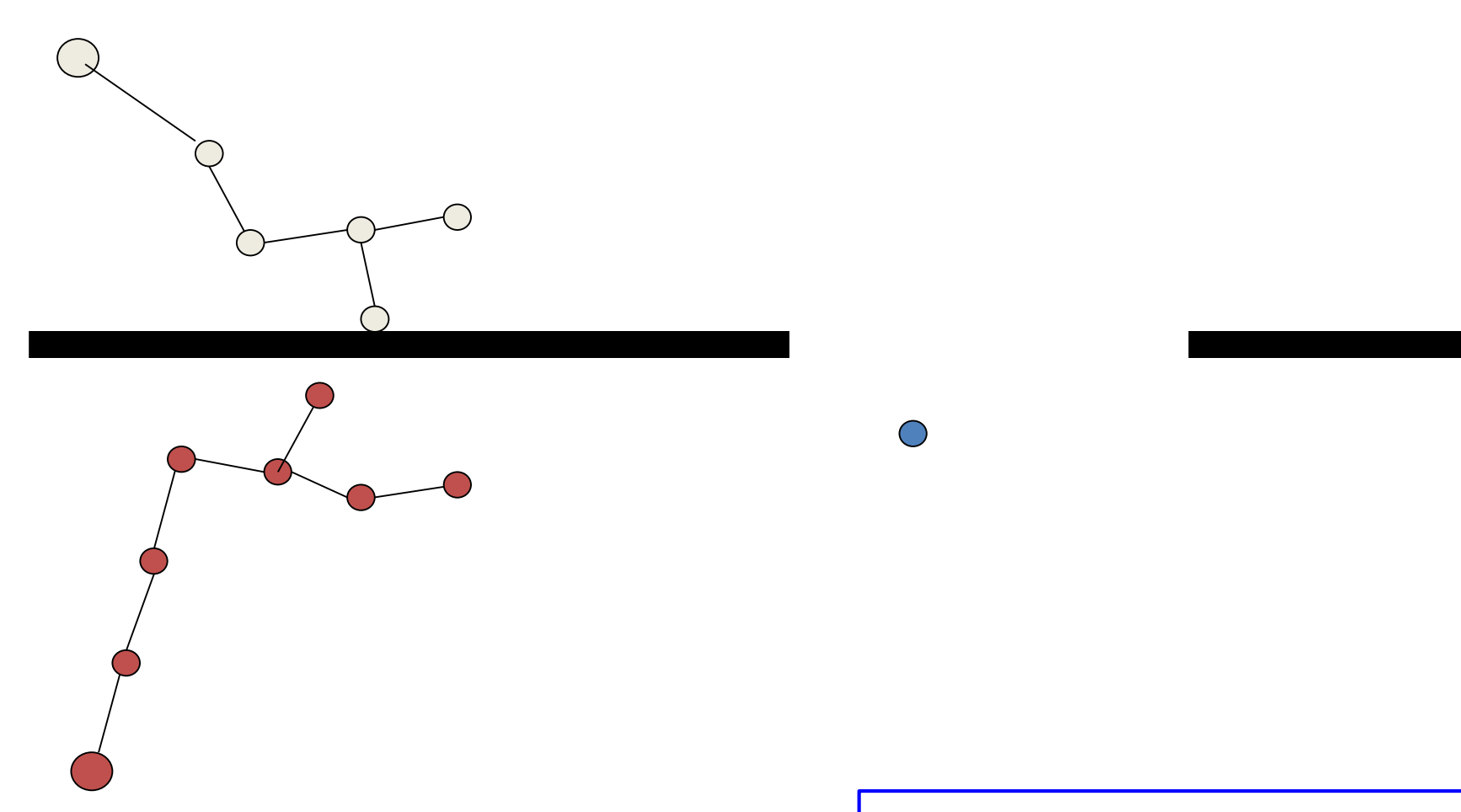




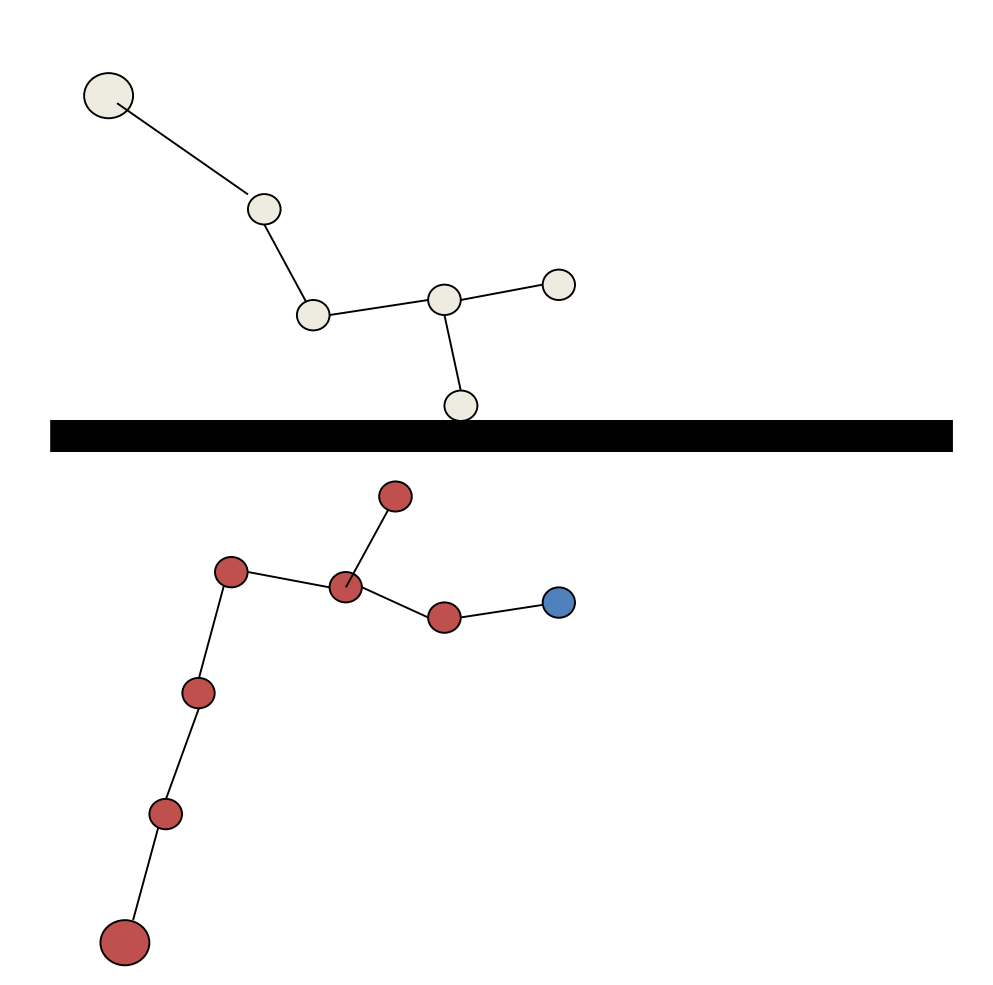




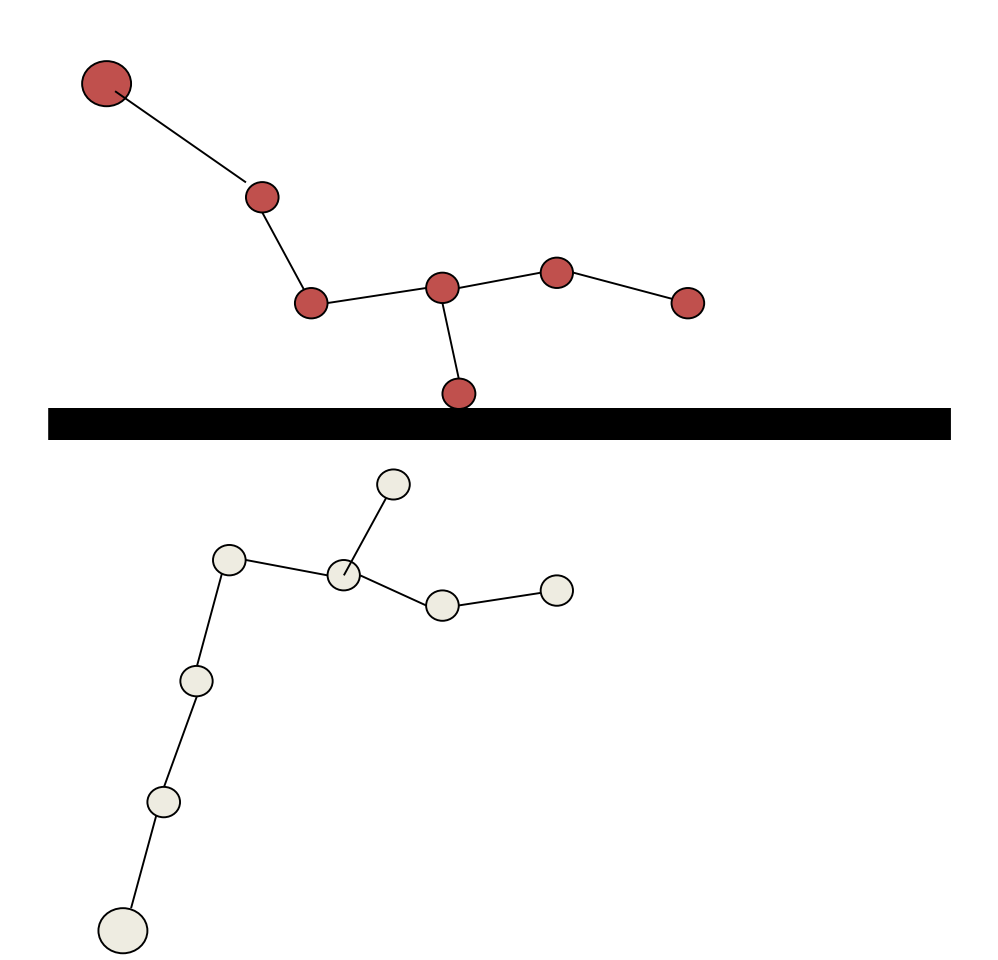




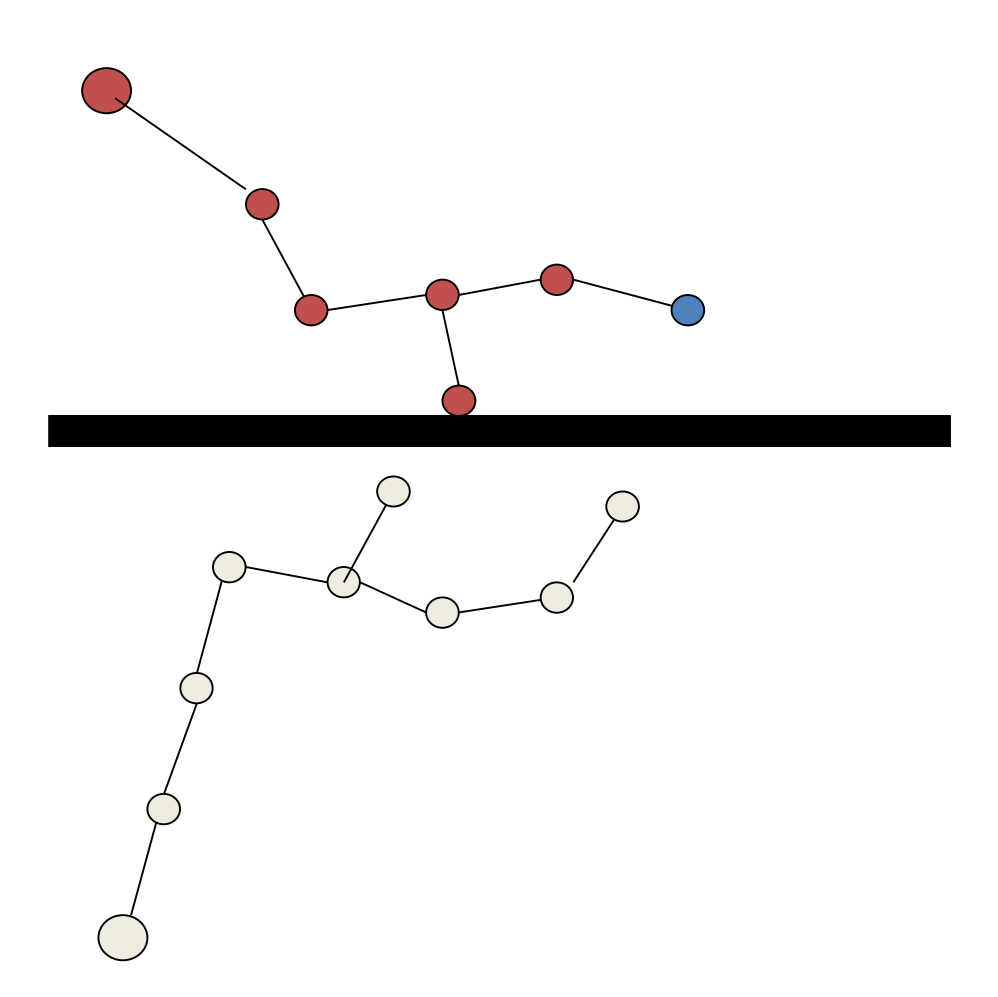




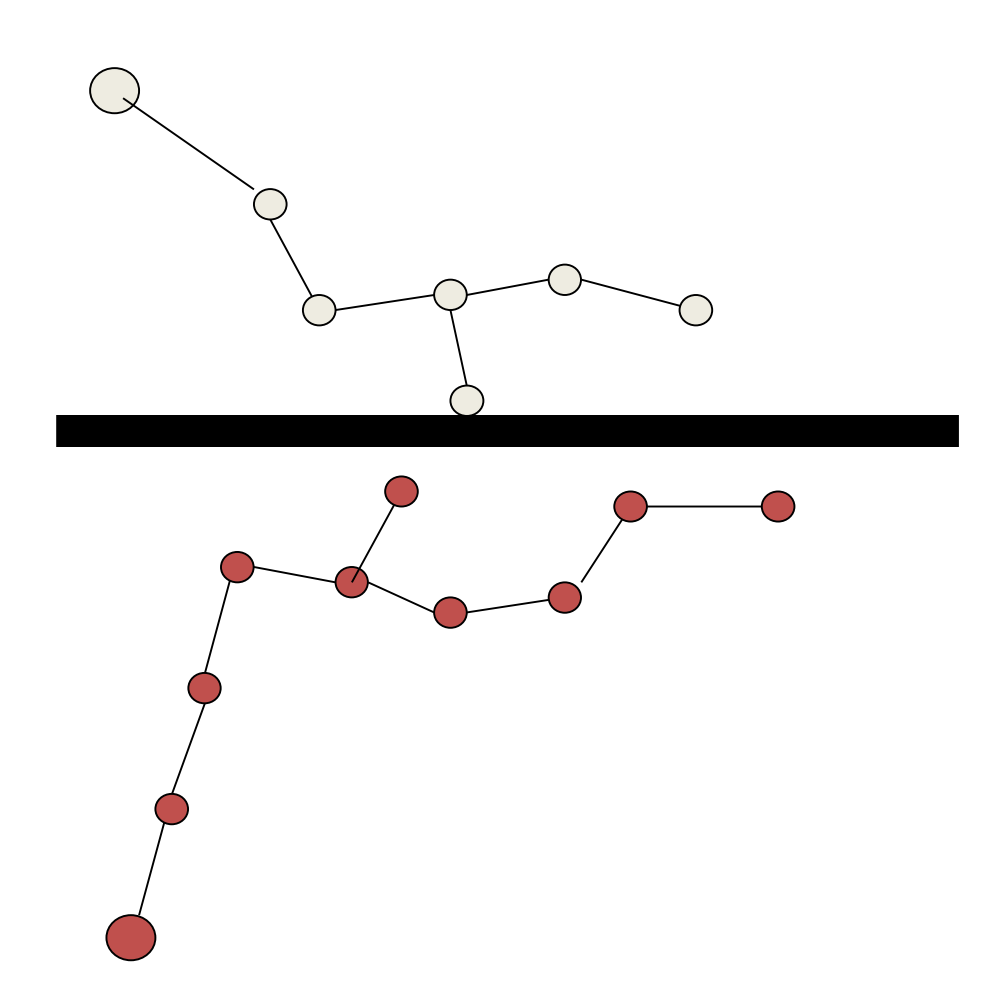






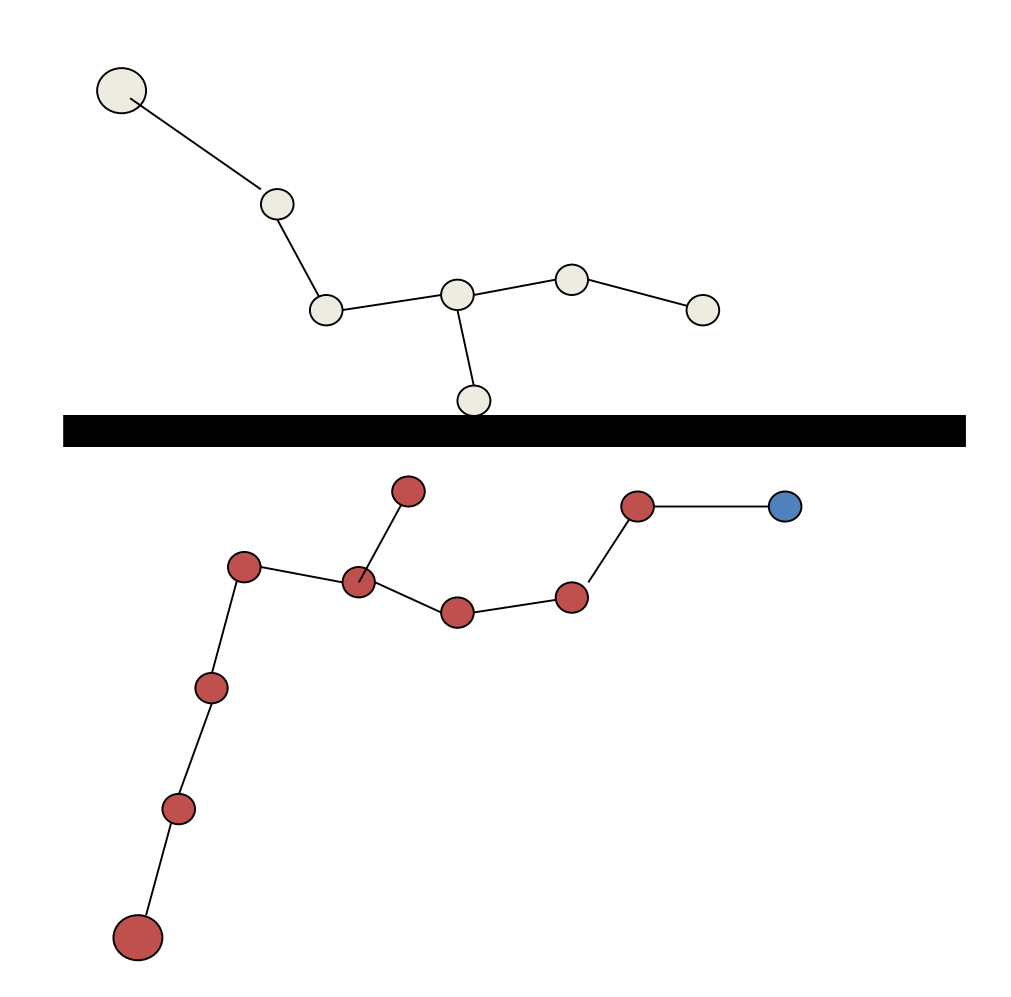




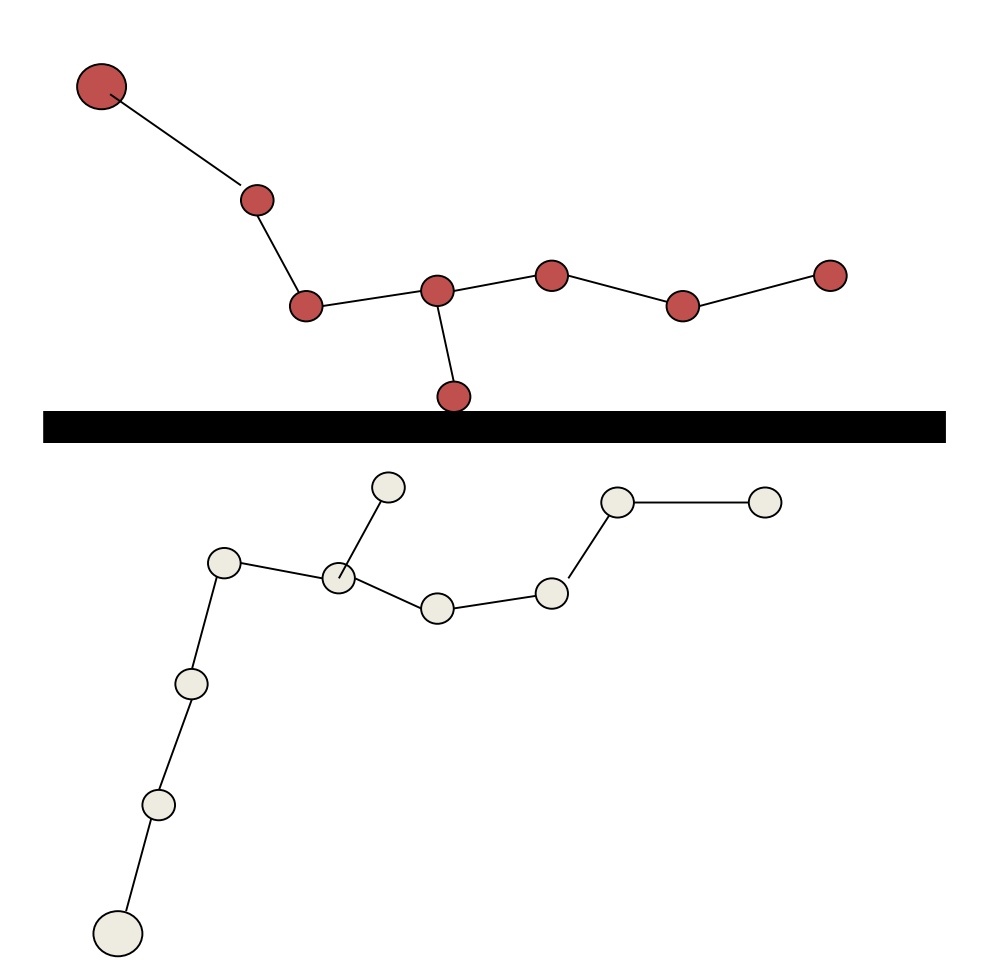






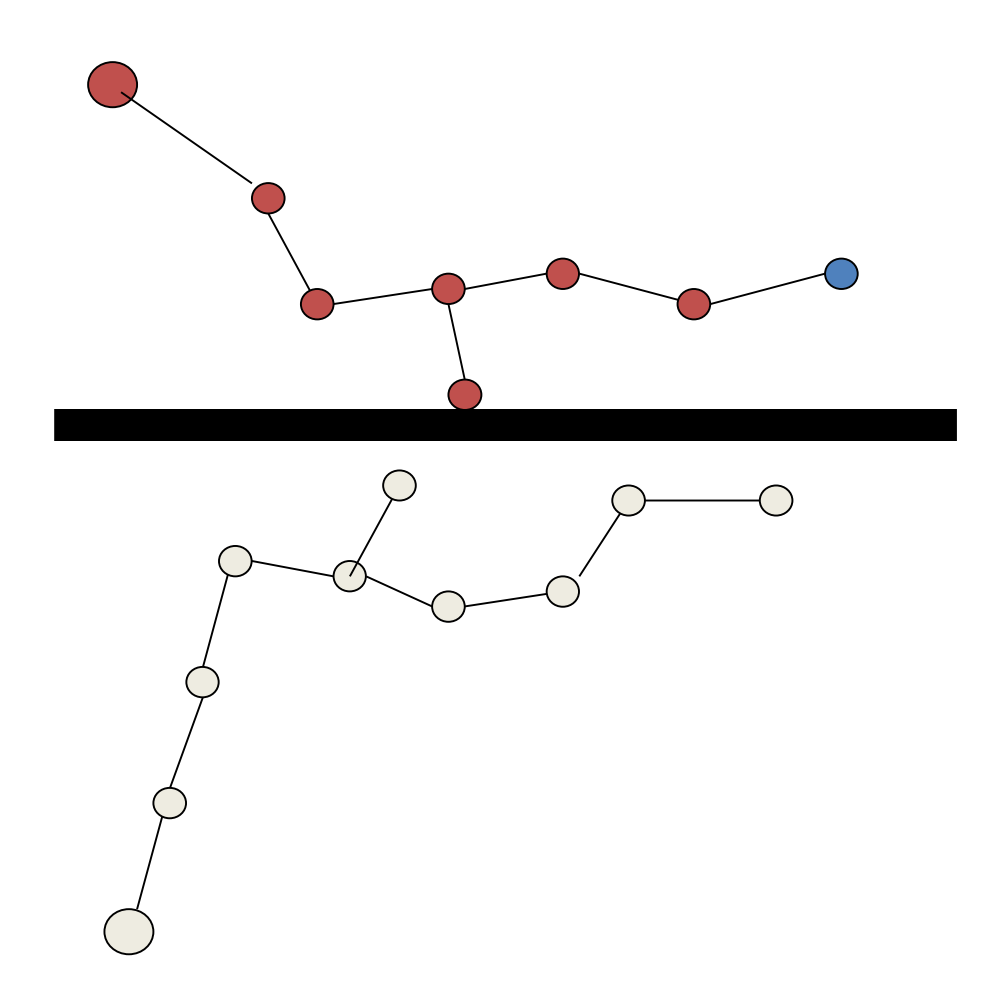




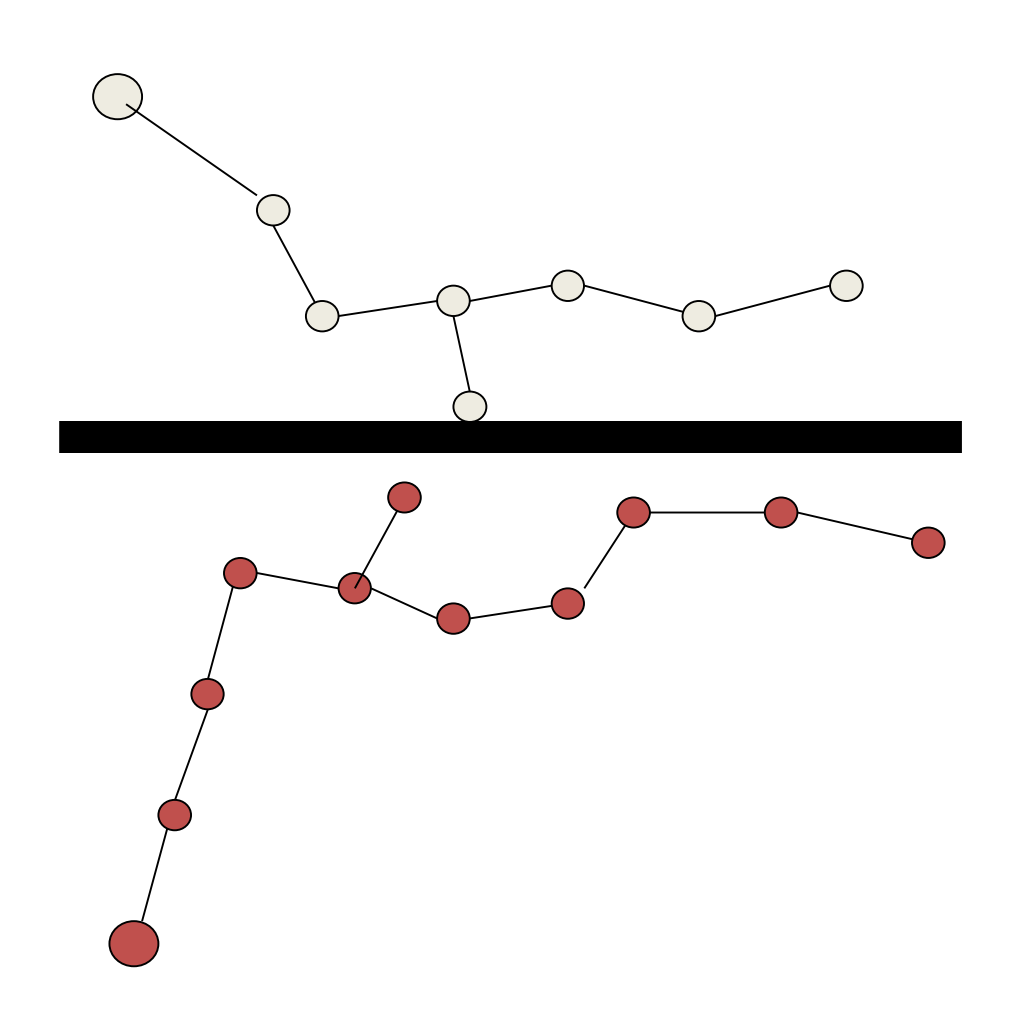






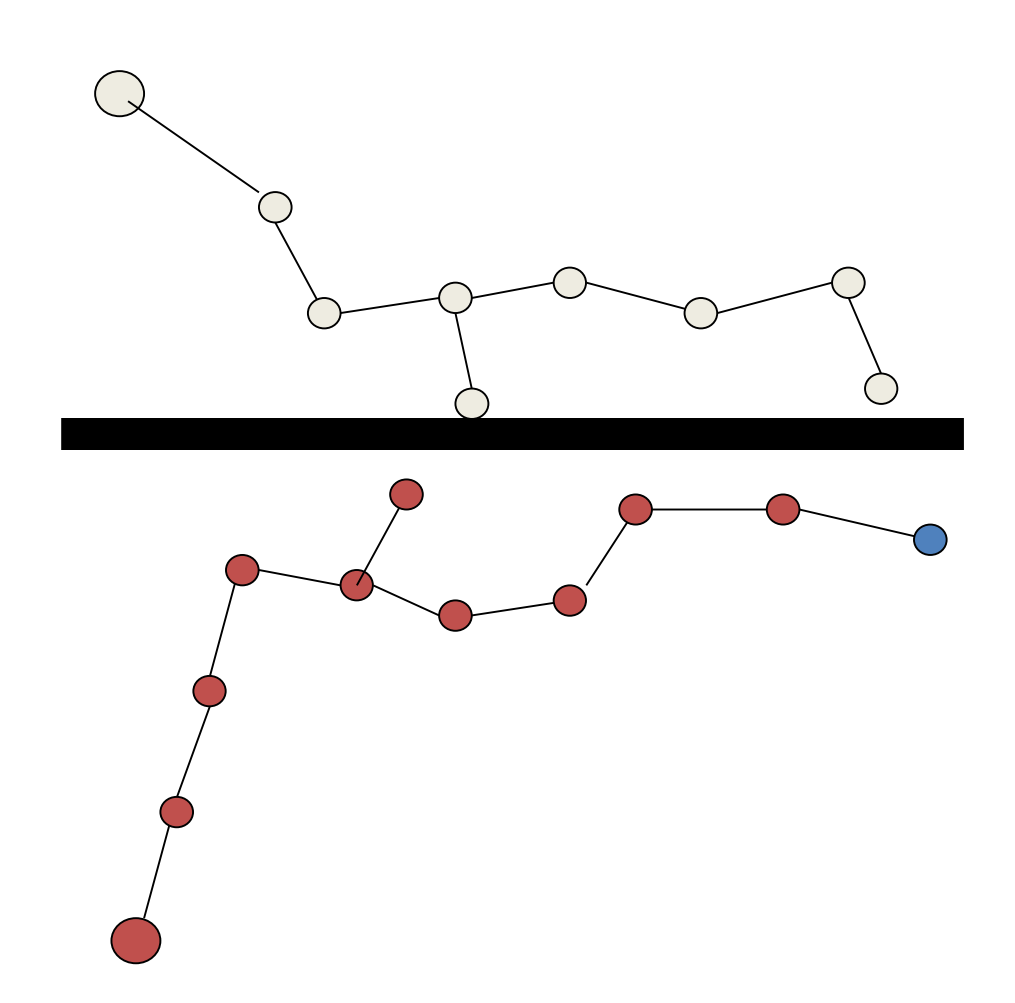




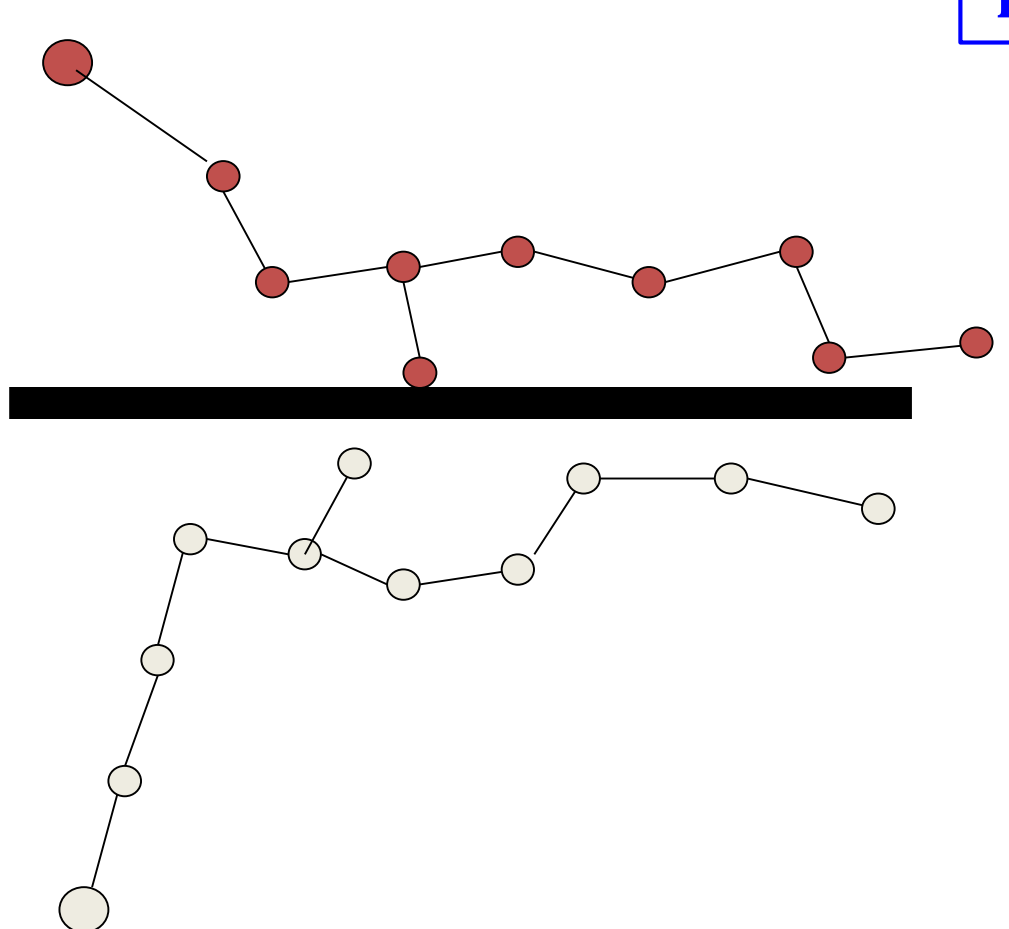




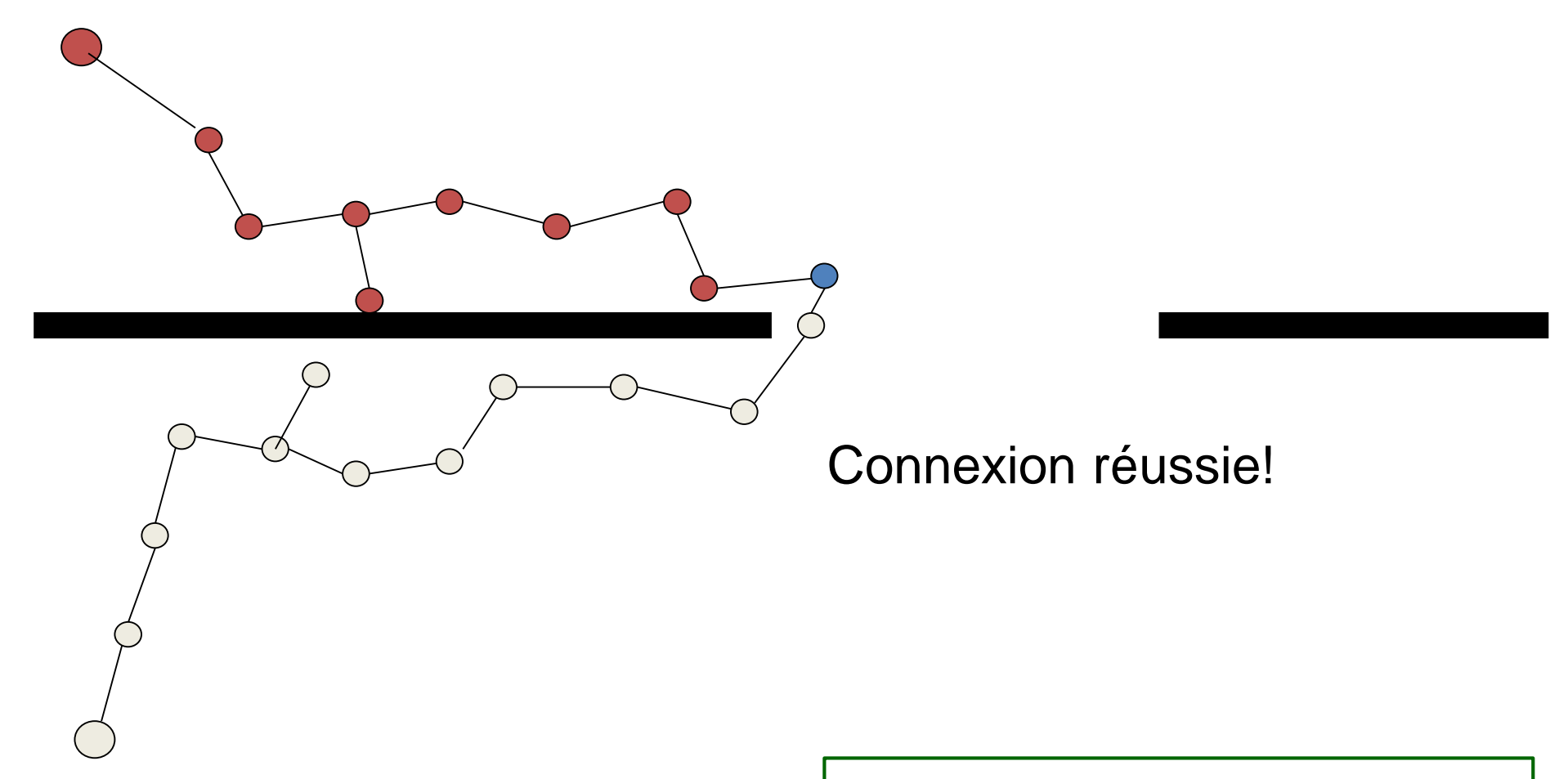




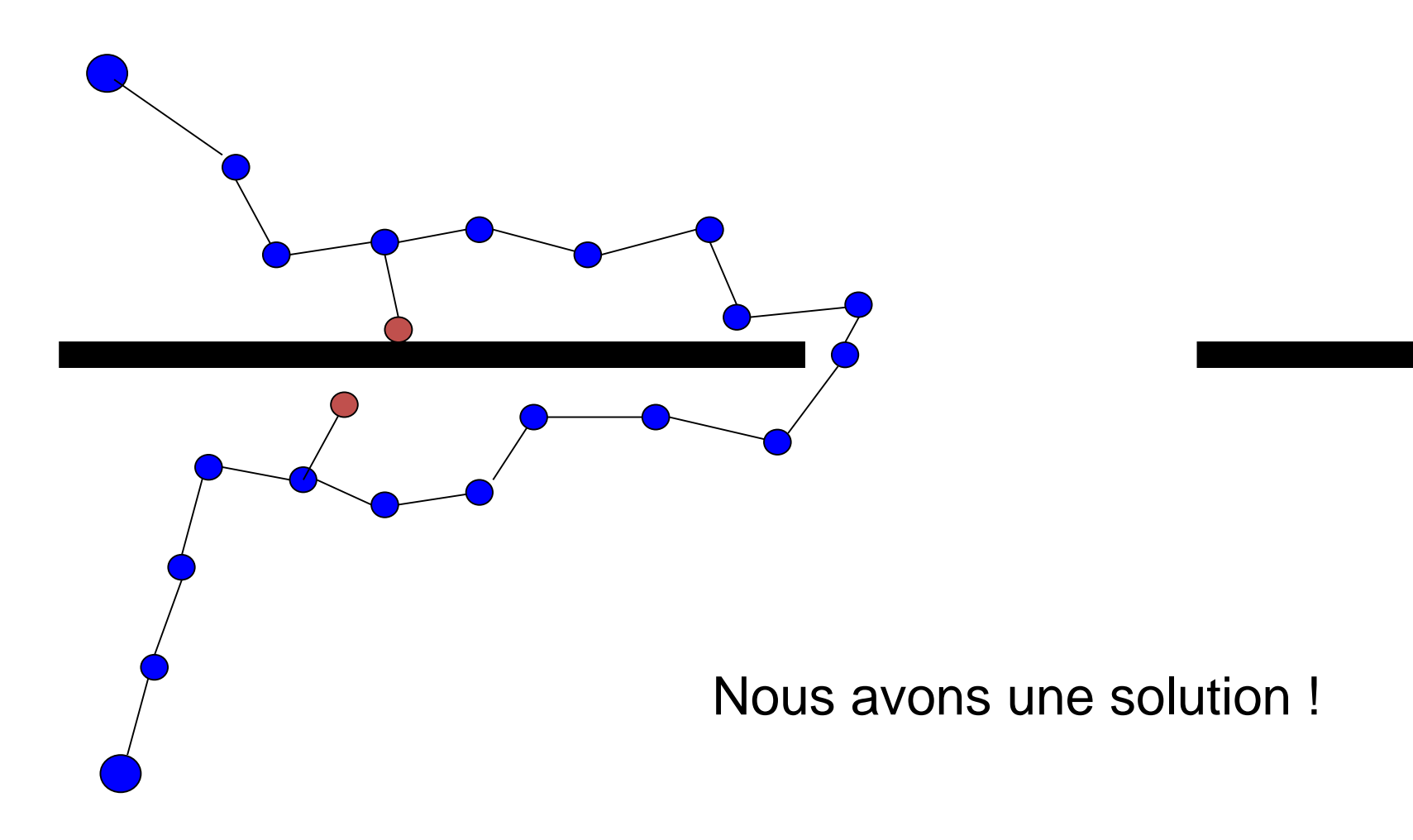




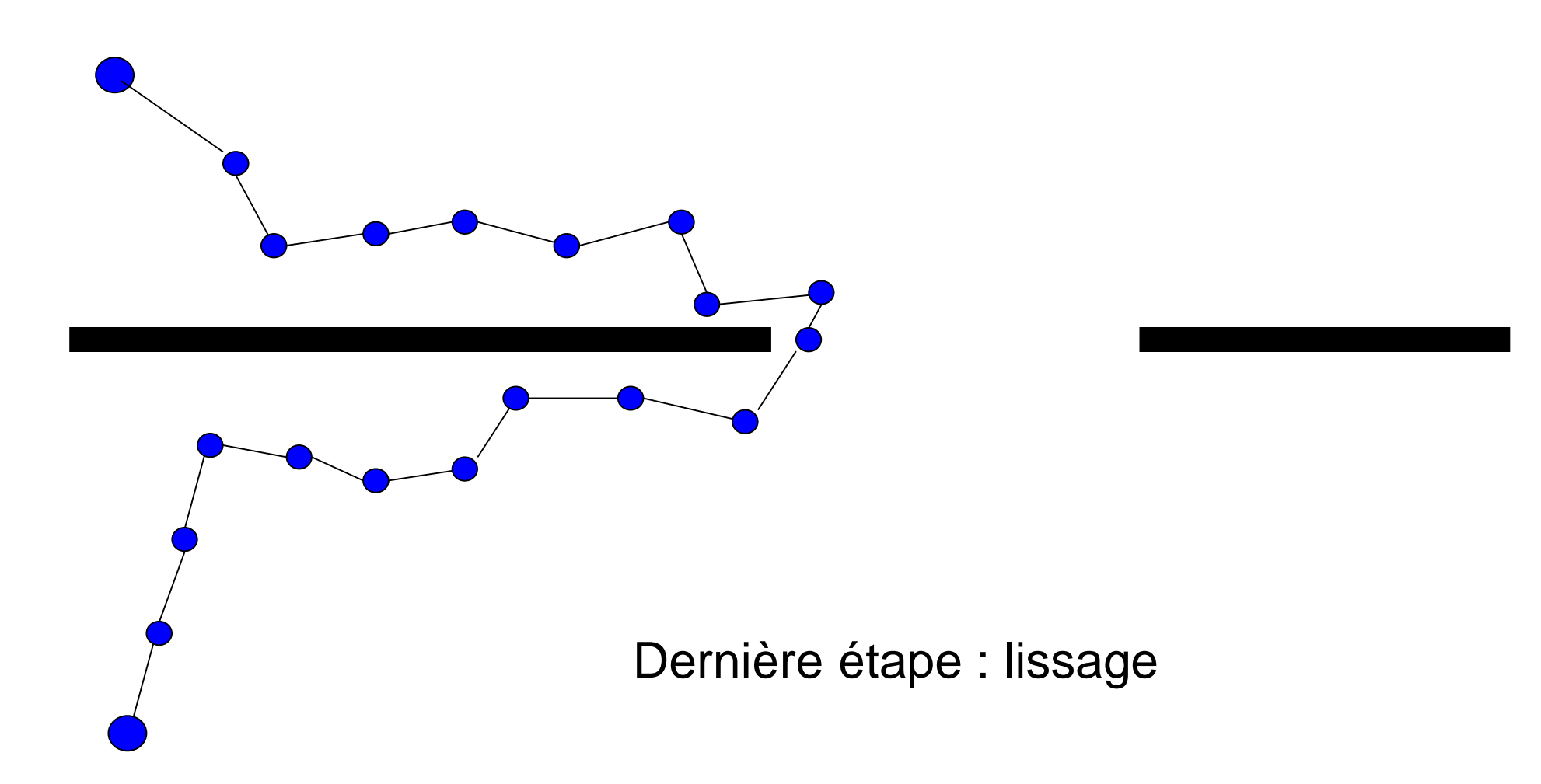




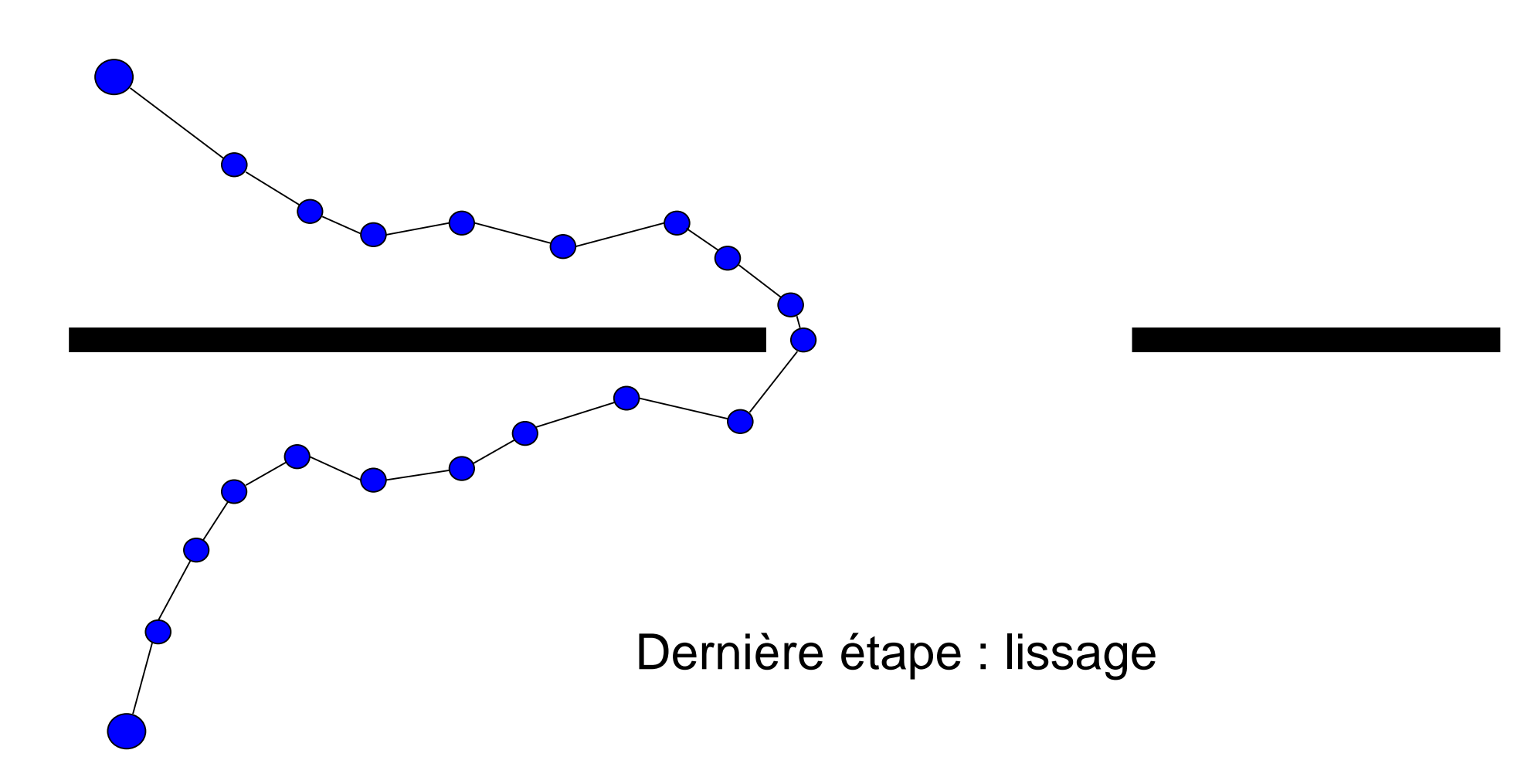








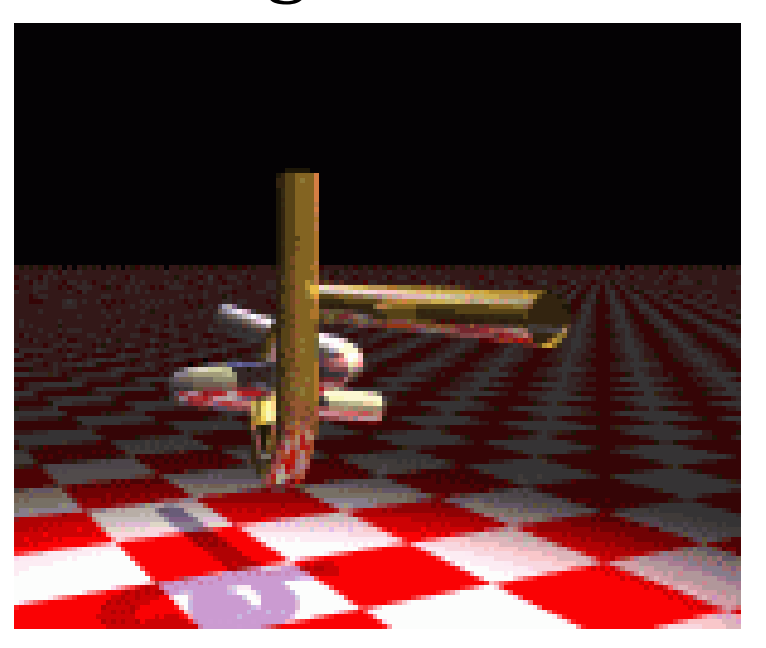






Exemple de problème résolu avec RRT

Extractions de deux tiges courbées



Problème proposé par Boris Yamrom, GE comme exemple de problème difficile. Repris par Nancy Amato, Texas A&M University. Solution en 2001 par James Kuffner et Steve LaValle. Calcul sur un PC de 2003 : quelques minutes.



RRT-Connect si non-holonome

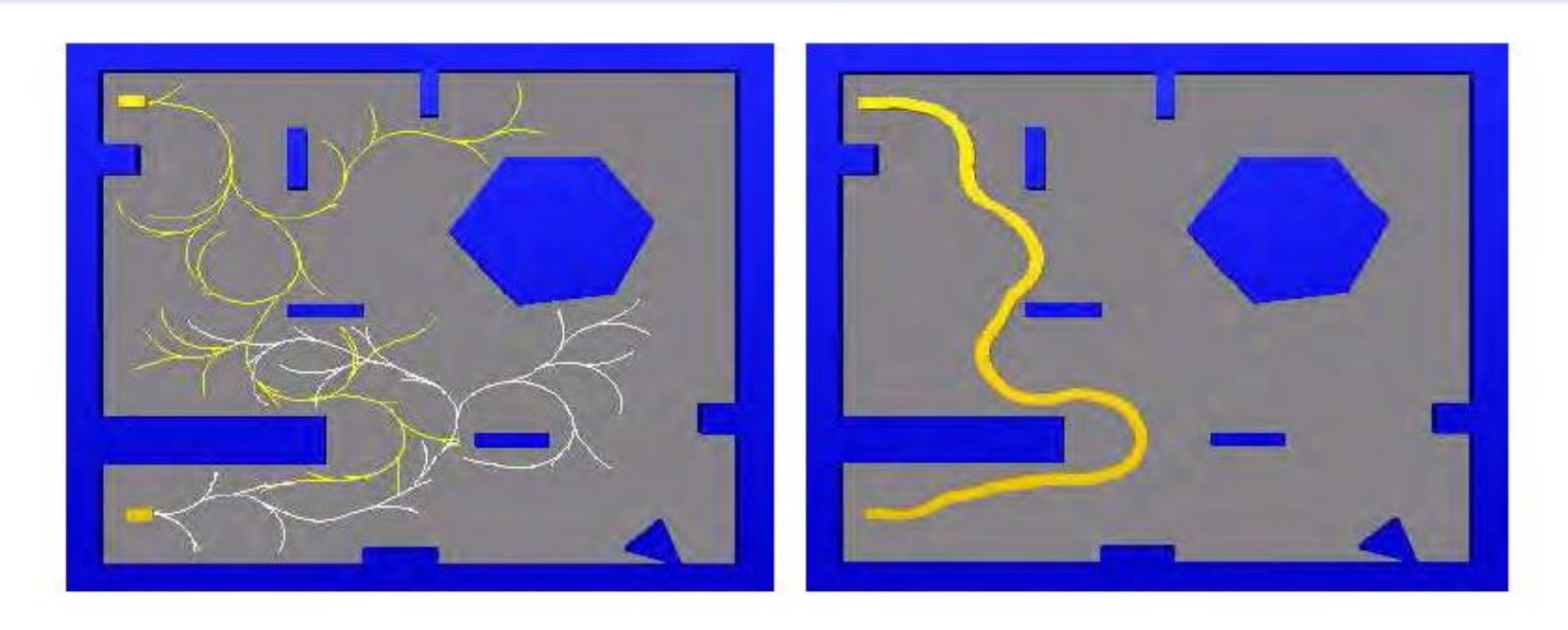


Fig. 4. The RRT obtained with a bidirectional planner (RRT-ExtExt) in 22.583 secs and 1376 nodes.

Exploring unknown environments with RRT-based strategies

Abraham Sánchez L. and René Zapata

